

Министерство геологии СССР
КАМЧАТСКОЕ ТЕРРИТОРИАЛЬНОЕ ГЕОЛОГИЧЕСКОЕ УПРАВЛЕНИЕ

Г О С У Д А Р С Т В Е Н Н А Я
Г Е О Л О Г И Ч Е С К А Я
К А Р Т А С С С Р

масштаба 1:200 000

Серия Корякская

Лист Р-59-ХХV, ХХХI

ОБЪЯСНИТЕЛЬНАЯ ЗАПИСКА

Составил А.А.Коляда
Редактор Т.В.Тарасенко

Утверждено Научно-редакционным советом ВСЕГЕИ
25 декабря 1975 г., протокол № 43

Москва 1980



13409

Содержание

	Стр.
Введение	3
Геологическая изученность	5
Стратиграфия	8
Инtrузивные образования	50
Тектоника	61
Геоморфология	72
Полезные ископаемые	77
Подземные воды	88
Оценка перспектив района	93
Литература	95
Список проявлений полезных ископаемых	98

ВВЕДЕНИЕ

Лист Р-59-ХХУ, ХХI охватывает территорию, расположенную в пределах Олюторского района Камчатской области. Материковая часть имеет площадь 4500 км². ее географические координаты: 60°32'-61°20' с.ш. и 168°-169° в.д.; южная часть скрыта водами Олюторского залива Берингова моря.

Район представляет собой горную местность, глубоко расчлененную водотоками. На юге района располагаются Пылгинские горы. В западной части гор рельеф типичный альпинотипный с резко выраженными чертами прошедшего оледенения: цирками, висячими и троговыми долинами. В центральной и восточной частях горы слаженные, водоразделы широкие и узкие с грядами останцов, цирки встречаются редко. Северо-восточная часть Пылгинской гряды характеризуется присутствием столовых гор с абсолютными высотами от 300 до 950 м.

В центральной части территории, пересекая ее с востока на запад, расположена Пылговаямская впадина. Она представляет собой слегка всхолмленную сильно заболоченную равнину шириной 10-30 км, слабо расчлененную водотоками.

В северной части района расположена горная гряда Ёахинан. Водоразделы здесь узкие слаженные с абсолютными отметками 500-1000 м, долины глубокие корытообразные. На северо-востоке гряда заканчивается столовыми горами с широкими плоскими водоразделами и ступенчатыми склонами.

Морской берег прямолинейный легко проходимый, непропуски встречаются только на западе между мысами Грозный и Крецкий Огнем.

Речная сеть района находится в стадии активного развития. Реки горного типа, долины их слабо разработаны, имеют корытообразную, V-образную и канькообразную формы. Наиболее крупной является р. Пахача, впадающая в Берингово море в 6 км к востоку от рассматриваемого района. Ширина русла реки в пределах изученной территории 150–200 м, скорость течения 1–1,5 м/с, глубина реки от 1,5 до 5 м. Река Пылговаям, правый приток Пахачи, имеет протяженность 80–90 км, долину шириной 0,1–2 км; ширина русла 30–80 м, глубина 1–3 м. Скорость течения 0,5–1 м/с. Остальные реки имеют протяженность от 15 до 50 км, глубину 0,5–2 м. Все водотоки, за исключением рек Пахачи и Пылговаям, легко проходимы вброд на перекатах в сухое время года; во время паводков и продолжительных дождей они представляют собой многоводные потоки с быстрым течением.

Озера в районе имеют преимущественно термокарстовое происхождение. Они сосредоточены главным образом в Пылговаямской впадине, имеют неправильную форму; глубина их от 1 до 5 м, площадь от нескольких квадратных метров до 0,5 км². Наиболее крупным (3 км²) является оз. Намятгитгин, расположенное в приусտевой части Емета и представляющее собой лагуну, отшнурованную от моря узким (70–100 м) баром.

Обнаженность горных пород в районе удовлетворительная. Большинство обнажений наблюдается на западе Пылгинских гор. Хуже обнажены центральная и восточная их части, горы Хайнан. В Пылговаямской впадине обнажения встречаются преимущественно в бортах долины Пылговаям.

Территория листа расположена в зоне субарктического климата, характеризующегося коротким дождливым, туманным летом и длинной холодной зимой с частыми пургами. Ночные заморозки начинаются в августе; первый снег выпадает в середине сентября, иногда в конце августа. Окончательный снежный покров ложится в первой половине октября и сходит в конце июня; отдельные снежники сохраняются до следующей зимы.

Растительность район беден. В горах преобладает лишайниково-моховой покров, в долинах и на низких водоразделах – кустарниковово-мелкотравный. По склонам растет кедровый и ольховый стланик, карликовая береза, в долинах – красная смородина, рябина, жимолость. В долинах Пахачи и Пылговаям участками произрастают тополь, ольха, ива, чозения, частично пригодные для строительства. На южных склонах местами встречается береза.

Животный мир разнообразен. Представителями хищников являются бурые медведи, росомахи, лисы, горностаи; из парнокопытных встречаются бараны; из грызунов – зайцы, белки, тарбаганы, суслики, полевки. Мир крупных птиц представлен куропатками, кедровками, куликами, совами, ястребами; летом озера и реки заселяются водоплавающей птицей. Водотоки бассейна Пылговаям богаты хариусом. В июле на нерест заходят лососевые: чавыча, кета, горбуша, в сентябре – голец.

Населенных пунктов в районе почти нет. Отмеченные на карте рыбозаводы № 2, 4, 5 и 6 в настоящее время заброшены. Единственным населенным пунктом на территории листа является пос. Средняя Пахача, находящийся у восточной границы района, брошенный в пятидесятых годах, а сейчас заново отстраиваемый под базу Пахачинского совхоза. Коренное население совхоза – коряки и ламуты, занимающиеся оленеводством, рыбной ловлей и охотой на пушного зверя. Из-за отсутствия путей сообщения единственным средством передвижения внутри района является вычный транспорт. Зимой возможна транспортировка грузов на тракторах. Пути сообщения с районом морские. Морские косы вблизи устьев Емета и Пахачи пригодны для посадки самолетов типа АН-2.

ГЕОЛОГИЧЕСКАЯ ИЗУЧЕНИОСТЬ

Начало геологическому изучению района положил Б.Ф. Дьяков в 1939 г., пролетавший маршрутом вдоль берега Олюторского залива [15]. Геологические образования им были расчленены на толщи: пылгинскую (ора – мел?), бухты Лаврова и олюторскую (верхний мел), вывинскую (палеоген – нижний миоцен), песчано-сланцевую (средний и верхний миоцен) и мыса Крещеного Огнем (плиоцен). В 1955 г. Б.Ф. Дьяков предложил расчленить песчано-сланцевую толщу на две – тиличинскую (морскую) и корфовскую (континентальную). Последнее название впоследствии вошло в геологическую литературу. Из полезных ископаемых Б.Ф. Дьяковым отмечается наличие нефтяных битумов в породах пылгинской толщи, бурые угли, стройматериалы.

В 1952 г. рассматриваемая территория была покрыта геологической съемкой масштаба 1:1 000 000 группой партий Камчатского геологического управления под руководством В.А. Ярмолюка [33]. Этими исследователями были выделены толщи: верхнемеловые – корякская и олюторская, верхнеолигоцен-нижнемиоценовая – вывинская, миоценовая – пахачинская, плиоценовая – мыса Крещеного Огнем.

Из полезных ископаемых описаны стройматериалы, в шлихах установлены киноварь и золото.

В 1954 г. на кте рассматриваемой территории Г.С.Басиладзе проводил геологическую съемку м-ба I:100 000 [11] и в районе бухты Сомнения обнаружил антимонит-киновареносное рудное тело.

В 1958 г. И.Ф.Мороз проводил геологическую съемку м-ба I:500 000 на севере и востоке района [25]. Он выделил здесь ватинскую (верхний мел - эоцен), ильпинскую (олигоцен), пахачинскую (миоцен) и алукскую (плиоцен - плейстоцен) свиты. Из полезных ископаемых были обнаружены весовые содержания киновари в шлиховых пробах в верховых Янгылхаваяма и Атальвайма и единичные знаки киновари и золота по всему району, проявления свинца, цинка, барита, бурого угля.

В 1959 г. В.М.Чередниченко и Е.М.Колтовской при поисково-разведочных работах м-ба I:25 000 [32] выявили ряд шлиховых орелов рассеяния киновари в бассейне Емета и руч.Хайнамята.

В 1959 г. северная часть, а в 1963 г. - остальная часть рассматриваемой территории Л.А.Майковым и И.В.Беляевым была покрыта аэромагнитной и аэрорадиометрической съемкой м-ба I:200 000 [23,12].

В 1962 г. Т.В.Тарасенко выполнил маршрутное пересечение Косянского нагорья от ртутного месторождения Янганай до верхнего течения Имки. В Пылгоямской впадине им было установлено наличие древнечетвертичных отложений, в бассейне верхнего течения руч.Бол.Атальвайма описан разрез корфовской свиты, в основании которого залегают пепловые туфы, содержащие плиоценовой спорово-пыльцевой комплекс. В 1961-1963 гг. А.А.Колядой совместно с Т.В.Тарасенко были изучены разрезы ильгинской, воччинской, говенской и ильпинской свит, описаны фаунистические замещения ильпинской и говенской свит, прослежен Импукский взбросо-налив.

В 1963 г. Б.Х.Егиазаров и В.П.Ли провели тематические исследования в юго-восточной части площади листа [16]. Новых данных по геологическому строению изученной территории получено не было.

В 1964 г. Г.П.Декин провел пяти миллиграммальную гравиметрическую съемку м-ба I:1 000 000 [14].

В 1972 г. Г.К.Личугиной, Б.В.Ермаковым и О.К.Баженовой в процессе тематических исследований на территории, примыкающей к Олюторскому заливу между р.Пахачей и бухтой Сомнения, и на основании ревизии палеонтологических коллекций прошлых лет и оп-

ределения фораминифер была предложена принципиально новая схема стратиграфии изученного района [6]. На площади листа ими были выделены пылгинская (дат - палеоцен), лавровская (эоцен), говенская (эоцен - олигоцен), алугинская (нижний миоцен), пахачинская (средний и верхний миоцен) свиты и алукская серия (верхний плиоцен).

В 1961-1964 гг. А.А.Коляда провел геологическую съемку м-ба I:200 000, результаты которой положены в основу составления геологической карты листа Р-59-ХХ,XXXI и объяснительной записки к ней [20]. При проведении полевых исследований были использованы аэрофотоснимки м-ба I:70 000 и частично I:33 000. Степень их геологической дешифрируемости неудовлетворительная. В 1964 г. автор листа провел контрольно-увязочные маршруты в юго-западной части района, в бассейне Емета и верхнего течения Импуки, с целью уточнения геологического строения данного участка и возраста вочвинской, говенской и ильпинской свит. Были произведены дополнительные сборы фауны из отложений ильпинской свиты в верховых Емета, детальное изучение разрезов с послойным отбором проб на различные виды анализов. К сожалению, микрофаунистический и спорово-пыльцевой анализ проб не принесли положительных результатов.

В 1973 г. А.А.Коляда провел тематические исследования в северо-западной части территории листа, в горах Хахинан, с детальным изучением разрезов развитых здесь отложений, послойным отбором проб на микрофаунистический, палинологический и диатомологический анализ, определение физических свойств горных пород [21]. Наиболее результативным по определению возраста образований оказался микрофаунистический метод.

Определение фаунистических остатков производилось во ВНИГРИ (Л.В.Криктофович), в Северо-Восточном территориальном геологическом управлении (А.Д.Левтилова и В.И.Богданова) и Биологического институте ДВНЦ АН СССР (Т.Г.Калишевич). Палинологический анализ проб четвертичных отложений выполнен в Северо-Восточном территориальном геологическом управлении (Р.А.Баскович, Г.П.Казакова, Т.И.Капранова, А.Н.Бычкова), проб палеогеновых пород - в Камчатском территориальном геологическом управлении (В.П.Соломоновская). Определение фораминифер произведено в Геологическом институте АН СССР (М.Я.Серова) и Камчатском территориальном геологическом управлении (Л.А.Данилеско, Н.И.Петрина). Диатомовый анализ выполнен в Палеоботанической лаборатории НИГИ (Ленинград)

Е.М.Вишневской и Р.К.Джиноридзе.

Абсолютный возраст горных пород определен в лабораториях абсолютного возраста СВ КНИИ (Л.В.Фирсов, И.А.Загрузина), Дальневосточного территориального геологического управления (Т.К.Ковалчук) и Геохронологической лаборатории МГУ (В.И.Волобуева). В Центральной химической лаборатории Северо-Восточного территориального геологического управления были выполнены химические и пробирные анализы рудных проб (Л.И.Ткач, Г.И.Гоняева, В.А.Кондратина, А.Д.Аникина, К.И.Попова), анализ проб углей (И.А.Рябова), водных проб (Л.А.Фомина и С.И.Варынина), ломинесцентно-битуминологический анализ проб горных пород (А.Е.Мохов).

В связи с получением данных о плиоценовом возрасте покровных эффузивов и нижнечетвертичном возрасте и генезисе рыхлых (озерных) отложений, выполняющих Быковаямскую впадину, отмечается различная трактовка стратиграфического положения этих образований по сравнению с данными, приводимыми автором смежного листа Р-59-ХХVI [31]. В бассейне Амгчинайвама в поле отложений, выделяемых Н.В.Устиковым как вочвинская свита олигоценового (?) возраста, собраны палеонтологические остатки, определяющие возраст отложений нижнемиоценовым, что предопределило неувязку геологических границ листов на данном участке.

Сведения о полезных ископаемых даны на карте по состоянию на I января 1975 г.

С Т Р А Т И Г Р А Ф И Я

На рассматриваемой территории распространены вулканогенные, вулканогенно-кремнистые и терригенные образования верхнего мела, палеогена и неогена, вулканогенные породы неогена и рыхлые четвертичные отложения.

МЕЛОВАЯ СИСТЕМА

Верхний отдел
Маастрихтский-датский (?) ярус

Инетиваямская свита (K_2^{in})

Свита объединяет верхнемеловые образования, имеющие незначительное развитие в северо-западной части района, в бассейне верхнего течения руч. Тавинаяма (рис. I). Она сложена туфами основного

С Т Р А Т И Г Р А Ф И Ч Е С К А Я КОЛОНКА

СИСТЕМА	ПАЛЕОГЕНОВАЯ	НЕОГЕНОВАЯ	ЯРУС	ИНДЕКС	Мощность в м	Характеристика пород	
						ПЛИОЦЕН	ОТДЕЛ
МЕЛОВАЯ	ВЕРХНИЙ МАКСИМУМ -ДАТСКИЙ?	Nat	P - N	620	Верхний миоцен- плиоцен. Корровская свита. Андезиты, андезито-базальты, базальты, туфобрекции, туфы, лавобрекции		
				500	Ильинская серия. Алевролиты, песчаники, туфы среднего состава с <i>Parvamussium</i> sp. indet., <i>Aci-la</i> sp. indet.		
		P ₁ z		600	Верхний палеоцен. Иночвильская свита. Алевролиты, песчаники туфы, конкреции мергелий с <i>Nucula</i> cf. <i>postangulata</i> Clark, <i>Neptulaea</i> sp. indet.		
		P ₂ z		750	Нижний палеоцен. Интыгинская свита. Туфы, туфобрекции среднего состава, туфокремнистые породы, кремнистые алевролиты, глинисто-кремнистые сланцы, андезиты, базальты с <i>Lima</i> sp., <i>Margarites</i> sp.		
		K ₂ in		380	Инетиваямская свита. Туфы, кремнистые сланцы, базальты с <i>Ostrea</i> sp. indet., <i>Lima</i> sp. indet.		

Рис. I. Стратиграфическая колонка северо-западного участка территории

и среднего состава, туфо- и конгломерато-брекциями, туфокремнистыми породами, кремнистыми сланцами, андезитами, базальтами. Подстилающие свиту отложения в районе не установлены, выше лежащие породы палеогена перекрывают ее согласно. Наиболее полный видимый разрез свиты изучен в районе верхнего течения руч. Тавинаяма (снизу вверх) в м:

I. Туфы андезитов мелкообломочные	6
2. Переслаивание (I-20 см) кремнистых сланцев и туфов андезитов мелкообломочных...	30
3. Кремнистые сланцы темно-серые полосчатые	10
4. Андезиты темно-серые или зеленоватые	15
5. Туфы пироксеновых андезитов крупнообломочные с пачкой (6 м) тонкополосчатых кремнистых сланцев в верхней части, с <i>Textularia?</i> sp. <i>indet.</i> , неопределенными ядрами фораминифер	25
6. Базальты темно-серые со слабо выраженной подушечной отдельностью	15
7. Туфокремнистые породы тонкополосчатые зеленовато-серого цвета с <i>Bathysiphon alexanderi</i> Cushman, <i>B. brosgei</i> Tappan, <i>Psammosphaera laevigata</i> (White), <i>Bogdanovicziella complanata</i> (Franke), <i>Haplophragmoides kirki</i> Wickenden, <i>H. sp.</i> , <i>Recurvoides</i> sp., <i>Reticulophragmium?</i> sp. <i>indet.</i> , <i>Ammomarginulina?</i> sp., <i>Ammoscalaria inculta</i> (Ehremeeva), <i>A. sp. indet.</i> , <i>Spiroplectammina Closto</i> (Grzyb.), <i>S. cf. navarroana</i> Cushman, <i>S. sp.</i> , <i>Textularia baudouiniana</i> Orbigny; <i>T. cf. variaspera</i> Kisselman, <i>Gaudryina</i> sp., <i>Clavulina clavata</i> Cushman, <i>Dorothyia hokkaidoana</i> Takayanagi, <i>Karreriella cf. danica</i> (Franke) и др.	12
8. Кремнистые сланцы тонкополосчатые зеленовато-серые с редкими пропластками (до 10 см) туфов среднего состава мелкообломочных	8
9. Базальты темно-серые с редкими гнездами полосчатых кремнистых сланцев	7
10. Кремнистые сланцы зеленовато-серые полосчатые с <i>Ammoscalaria</i> sp.	6
II. Туфокремнистые породы серо-зеленые массивные	30
12. Базальты темно-зеленые с подушечной отдельностью	6
13. Туфы андезитов крупнообломочные ...	8

I4. Кремнистые сланцы тонкополосчатые темно-серые	12
I5. Туфокремнистые породы полосчатые зеленовато-серые	50
I6. Туфы андезитового состава крупнообломочные скорлуповатые с редкими маломощными (до 3 м) пачками туфокремнистых полосчатых пород	85
I7. Базальты с подушечной отдельностью	5
I8. Туфы пироксеновых андезитов мелко-крупнообломочные	10
I9. Базальты с подушечной отдельностью	12
20. Туфокремнистые полосчатые породы с редкими маломощными (до 15 см) прослоями кремнистых пород темно-серого цвета	25
Общая видимая мощность образований по разрезу 380 м.	

На левобережье руч. Тавычаяма в районе высоты с отметкой 1028 м в средней и верхней частях свиты отмечаются быстро выклинивающиеся покровы андезитов мощностью до 60 м, обладающие хорошо выраженной подушечной отдельностью.

В нижней части свиты по левому притоку руч. Тавычаяма собраны отпечатки раковин *Ostrea* sp. *indet.*, *Lima* sp. *indet.*, *Bivalvia* gen. *indet.*, выщелоченные гнезда от одиночных кораллов, не противоречащие, по заключению В.И. Волобуевой и Г.П. Тереховой, ни верхнемеловому, ни палеогеновому возрасту.

В породах свиты, несмотря на детальное изучение, лишь в единичных случаях установлено присутствие фораминифер. В приведенном разрезе фораминиферами охарактеризована только нижняя часть свиты. Представлены они бентосными агглютинирующими формами плохой сохранности, среди которых доминирующими видами являются *Bathysiphon brosgei* Tappan, *Psammosphaera laevigata* (White), *Recurvoides?* sp., *Reticulophragmium* sp. *indet.*, *Ammomarginulina?* sp., *Ammoscalaria inculta* (Ehremeeva), *Spiroplectammina closto* (Grzyb.), *S. cf. navarroana* Cushman, *Textularia baudouiniana* Orbigny, *T. cf. variaspera* Kisselman, *Gaudryina* sp., *Dorothyia hokkaidoana* Takayanagi. В единичных экземплярах присутствуют *Bathysiphon alexanderi* Cushman, *Bogdanovicziella complanata* (Franke), *Haplophragmoides kirki* Wickenden, *H. sp.*, *Cyclammina cf. flexuosa* Podobina, *C. sp.*,

Ammoscalarria sp., *Karreriella* cf. *danica* (Franke), *Valvulineria?* sp. indet., *Flabellammina?* sp.

В верхней части свиты фораминиферы обнаружены в двух разрозненных обнажениях, расположенных в истоках левого притока руч. Тавычайма восточнее высоты с отметкой 1028 м. Здесь также преобладают бентосные аггломерирующие формы: *Silicobathysiphon* cf. *dubia* *dubia* (White), *Reticulophragmium* sp., *Ammoscalarria inculta* (Ehrenmeeva). *Spiroplectammina lata* (Zaspelova), *Textularia baudouiniana* Orbigny, *Gaudryina ellisora* Cushman, *Dorothyia bulletta* (Carsey), *D. pupoides* (Orbigny), *Polytmorphina* cf. *mendezen-sis* White. В подчиненном отношении (как в видовом, так и в количественном) присутствуют секреционные бентосные виды: *Robulus* cf. *rumoensis* Tak., *Polytmorphina* cf. *mendezen-sis* White, *Gyromorphina* sp., *Gyroidina* *Sglobosa* (no Cushman), *Globorotalites* cf. *conicus* (Carsey), *Cibicidoides* sp., *Pullenia* cf. *minuta* Cushman, *Chilostomelloides* sp. В некоторых образцах встречены иглы морских ежей, радиолярии плохой сохранности.

По заключению Н.М.Петриной, все перечисленные виды известны в верхнемеловых и реже нижнепалеогеновых отложениях Калифорнии, Аляски, Тринидада, Японии и Западной Сибири, на основании чего она склонна считать возраст свиты маастрихтским.

Инетиваямская свита согласно перекрывает палеоценовыми отложениями ивтыгинской свиты, а на непосредственно прилегающей с запада территории, в 3-5 км от рассматриваемого района, она согласно залегает на фаунистически охарактеризованных маастрихтских отложениях хакинской свиты [24]. На основании стратиграфического положения и палеонтологических находок возраст свиты определяется маастрихт-датским (?).

ПАЛЕОГЕНОВАЯ СИСТЕМА

Отложения палеогенного возраста наиболее широко развиты в северо-западной части рассматриваемой территории в горах Хакинан, меньшим развитием пользуются в центральной части района - в Пылгинских горах. Представлены они кремнисто-вулканогенными, вулканогенно-осадочными и терригенными образованиями, по литологическому составу и палеонтологической характеристике расчленены на три свиты - ивтыгинскую, иночиваюмскую и воччансскую.

Палеоцен, нижний палеоцен

Ивтыгинская свита ($P_{I\ IV}$)

Образования свиты развиты в северо-западной части территории листа, в горах Хакинан. Свита сложена в основном туфами среднего и основного состава мелко- крупнообломочными, менее - туфобрекчиями, кремнистыми алевролитами, глинисто-кремнистыми сланцами, туфокремнистыми породами, кварцитами, базальтами, андезитами.

В целом свита характеризуется чередованием пачек (8-100 м) разнозернистых туфов, туфобрекчий, туфокремнистых пород и глинисто-кремнистых сланцев. В основании свиты залегает мощная пачка (более 100 м) грубообломочных туфов среднего состава, местами переходящих в туфобрекчию.

Образования свиты согласно залегают на отложениях инетиваямской свиты и согласно перекрываются породами иночиваюмской свиты.

Наиболее полный разрез свиты описан в верховых левого притока руч. Иночиваюма, где непосредственно на образованиях инетиваямской свиты залегают (снизу вверх) в м:

1. Туфы андезитов и базальтов с редкими пачками (1-5 м) туфокремнистых пород и туфобрекчий с <i>Rhabdammina</i> (?) sp. indet., <i>Sili-coigmoilina</i> (?)	110
2. Базальты темно-серого цвета	15
3. Туфы андезитов мелко- крупнообломочные серо-зеленые скоруповатые	8
4. Туфокремнистые породы полосчатые. Полосчатость обусловлена чередованием полос (3-10 см) серо-зеленого цвета различных оттенков	10
5. Туфы широксенитовых андезитов крупнообломочные серо-зеленого цвета скоруповатые с гнеездообразными включениями светло-серых кварцитов	110
6. Базальты	6
7. Кварциты светло-серые полосчатые ...	10
8. Туфокремнистые породы зеленовато-серые тонкополосчатые	10
9. Туфобрекции андезитов и их порфиритов	6

I0. Туфы андезитов крупнообломочные зеленовато-серые	13
II. Туфокремнистые породы темно-серые с прослоями глинисто-кремнистых сланцев (0,2 м) в верхней части	30
I2. Туфобрекции андезитов, переходящие вверх по разрезу в туфы крупнообломочные скорлуповатые	68
I3. Глинисто-кремнистые сланцы зеленовато-серые полосчатые с <i>Rzebakina epigona</i> (Rzebak.)	26
I4. Туфы пироксеновых андезитов крупнообломочные темно-серые с редкими пачками (1-2 м) туфокремнистых пород, с <i>Silicosigmoilina perplexa</i> Iar., <i>epigona Rzebakina</i> (Rzebak.), <i>Bolivinopsis grzybowskii</i> Frizzell, <i>Silicobathysiphon gerochi</i> Mjatl., <i>Bogdanoviella complanata</i> Franke и др...	25
I5. Кремнисто-глинистые сланцы полосчатые с редкими пластами (до 3 м) туфов среднего состава. Фораминиферы: <i>Silicosigmocilina perplexa</i> Iar., <i>S.californica</i> Sushm., <i>S.elegans</i> Serova, <i>Rzebakina epigona</i> (Rzebak.), <i>R.epigona lata</i> Cushman, <i>R.fissistomata</i> (Grzyb.), <i>Asanospira nonionoides</i> Serova sp.nov., <i>A.evoluta</i> Serova sp.nov., <i>Bolivinopsis grzybowskii</i> Frizzell, <i>Silicobathysiphon gerochi</i> Mjatl., <i>Ammodiscus pennyi</i> Cushman, et Jarv., <i>Grzybowskiella glabrata</i> (Cushman, et Jarv.) и др.	42
I6. Кремнистые алевролиты с многочисленными тонкими (2-5 см) пропластками туфов мелкообломочных, с <i>Silicosigmoilina compacta</i> Serova, <i>Rzebakina epigona lata</i> Cushman et Jarv., <i>Plectofrondicularia(?)sp. indet.</i> , <i>Asanospira nonionoides</i> Serova sp. nov.	20
I7. Туфы андезитов мелкообломочные, переслаивающиеся (5-20 см) с кремнистыми алевролитами, с <i>Rzebakina epigona lata</i> Cushman et Jarv.	22
I8. Глинисто-кремнистые породы темно-серые тонкополосчатые с <i>Rzebakina epigona lata</i> Cushman et Jarv.	16

I9. Туфы андезитов крупнообломочные зеленовато-серые с редкими пачками (4-5 м) кремнисто-глинистых сланцев с <i>Rzebakina epigona lata</i> Cushman, et Jarvis	85
20. Туфы широксеновых андезитов, переслаивающиеся (1-3 м) с кремнистыми алевролитами	20
21. Кремнистые алевролиты зеленовато-серые скорлуповатые с <i>Rzebakina epigona lata</i> Cushman, et Jarvis	28
22. Туфы андезитов крупнообломочные зеленовато-серые	60
23. Переслаивание (0,4-1,5 м) кремнистых пород и кремнистых алевролитов с <i>Rzebakina epigona lata</i> Cushman, et Jarvis ...	8
Мощность свиты по разрезу 750 м.	
Нижняя часть свиты изучалась также в верховых левого притока руч.Лыгунынайпиваяма северо-восточнее высоты с отметкой 1028 м, по левым притокам руч.Тавывалма, на правобережье руч.Лыгунынайпиваяма. Наиболее полно охарактеризована микрофаунистически нижняя часть свиты на правобережье руч. Лыгунынайпиваяма, где вскрывается (снизу вверх) в м:	
I. Туфобрекции андезитового состава с пачкой (5 м) туфокремнистых полосчатых пород	97
2. Туфы андезитов крупнообломочные и туфоалевролиты, переслаивающиеся (2-4 см) между собой, с <i>Nuregatina cylindrica</i> cylindrica (Glaessn.), <i>H.cylindrica crassa</i> Mjatl., <i>Rzebakina inclusa</i> (Grzyb.) <i>Lenticulina laimingi</i> Iar., <i>Dentalina cf. catenula</i> Reuss, <i>Guttulina subsphaerica</i> Berthelin, <i>Gyroidina guayabensis</i> Cole, <i>G.orbicularis</i> planata Cushman., <i>G. soldanii</i> octocamerata Cushman.	3
3. Туфы андезитов мелкообломочные	4
4. Туфы андезитов мелкообломочные и туфоалевролиты, переслаивающиеся (1-3 см) между собой. Фораминиферы: <i>Lenticulina laimingi</i> Iar., <i>Valvularia cf. hildsi</i>	

(Martin), V. cf. acrobiculata Schwager Osangularia cf. culfer (Parker et Jones) var. midwayana (Cushm. et Todd.) Nodosaria sp. indet.	5
5. Туфобрекции андезитов с прослойками (до 1 м) туфаалевролитов в нижней части ...	90
6. Туфокремнистые породы полосчатые с <i>Dentalina</i> cf. <i>catenula</i> Reuss, D. sp. indet., <i>Nodosaria</i> sp. indet.	28
7. Туфы андезитов крупнообломочные ... Мощность по разрезу 250 м.	20-25
Средняя и верхняя части свиты, наиболее полно охарактеризо- ванные микрофаунистическими остатками, кроме того, были изучены также в верховых руч.Лыгунынайпиваяма, по правым притокам руч. Иночиваюма у северной границы площади листа. Так, в верховых руч.Лыгунынайпиваяма вскрывается (снизу вверх) в м:	
1. Туфобрекции андезитов зеленовато- серые с <i>Silicosigmoilina californica</i> Cushm., <i>S. elegans</i> Serova	20
2. Туфы андезитов крупнообломочные зе- леновато-серого цвета с редкими пропластка- ми (до 10 см) алевролитов; микрофауна: <i>Silicosigmoilina elegans</i> Serova	40
3. Туфобрекции зеленовато-серые несор- тированные с линзообразными включениями мел- кообломочных туфов андезитов	55
4. Туфы андезитов мелкообломочные темно- серые с <i>Silicosigmoilina postfutabaensis</i> Se- rova sp. nov., <i>S. longa</i> Serova sp. nov., <i>Bolivinopsis grzybowskii</i> (Frizzell) и др....	8
5. Глинисто-кремнистые сланцы зеленова- то-серого цвета тонкополосчатые с мощностями наслоев 2-5 см, с редкими маломощными (5-10 см) прослойки туфов мелкообломочных; фораминыферы: <i>Silicosigmoilina longa</i> Serova sp. nov., <i>S.ele- gans</i> Serova	20

6. Туфы андезитов мелко-крупнообло-
мочные зеленовато-серые с редкими маломощ-
ными (до 1 м) пачками полосчатых глинисто-
кремнистых сланцев; фораминыферы: *Silicosig-
moilina elegans* Serova, *Silicobathysiphon
gerochi* Mjatl., *S. longoloculus* Mjatl.,
Eponides cf. *fortunatus* Martin 37
7. Неравномерное чередование (1-4 м)
туфов андезитов мелко-крупнообломочных и
полосчатых кремнисто-глинистых сланцев; по
всей пачке присутствуют *Silicosigmoilina
postfutabaensis* Serowa sp. nov., *Silicoba-
thysiphon gerochi* Mjatl., *Cystaminella pseu-
dopauciloculata* Mjatl.. *Hyperammina cylind-
rica crassa* Mjatl., *Haplophragmoides aff.
kirkii* Whick 19
8. Туфобрекции андезитов с пачкой
(4 м) тонкого чередования (3-40 см) туфов
мелкообломочных и кремнистых алевролитов в
средней части; фораминыферы: *Bolivinopsis
grzybowskii* (Frizzell), *Silicobathysiphon
longoloculus* Mjatl., *Saccammina scabrosa*
Mjatl. 31
9. Кремнистые алевролиты темно-серые
с зеленоватым оттенком с *Bolivinopsis
grzybowskii* (Frizzell), *Chilostomella* (?)
indet. 6
10. Туфобрекции андезитов с единичными
пачками (3 м) кремнисто-глинистых сланцев и
туфов крупнообломочных, с *Silicosigmoilina
postfutabaensis* Serova, *Silicobathysiphon
longoloculus* Mjatl., *Bolivinopsis grzybowskii*
(Frizzell) и др..... 26
- II. Туфы андезитов крупнообломочные
склеруповатые; фораминыферы: *Silicosigmoilina
postfutabaensis* Serova, *Bolivinopsis grzybow-
skii* (Frizzell) и др..... 10
- Мощность свиты по разрезу 272 м.



13409

На правобережье среднего течения руч.Лыгуны Иночвиваяма в составе свиты отмечаются покровы андезитов, мощностью до 60 м.

В породах свиты обнаружены многочисленные фораминиферы, представленные в основном бентосными агглютинирующими формами удовлетворительной и плохой сохранности, меньшим развитием пользуется секреционный бентос. Анализ вертикального распространения микрофaуны по приведенным в тексте и другим разрезам свиты, описанной в различных частях площади ее развития, позволил М.Я.Серовой выделить четыре комплекса фораминифер, последовательно сменяющих друг друга.

К нижней части свиты приурочен комплекс с *Rzehakina inclusa* и *Hyperammina cylindrica*, крайне бедный по видовому составу и состоящий из *Rzehakina inclusa* (Rzehak.), *Hyperammina cylindrica cylindrica* (Glaessner) и *H. cylindrica crassa* Mjatl.

Второй комплекс секреционных фораминифер сменяет по разрезу предыдущий и состоит из *Lenticulina laimingi* Isaacs, *Dentalina cf. catenula* Reuss, *Guttulina subsphaerica* Berthelin, *Gyroidina guayabalensis* Cole, *G. orbicularis planata* Cushman., *G. soldanii octocamerata* Cushman., *Valvularia cf. hildsi* (Martin), *V. cf. scrobiculata* Schwager, *Osangularia cf. culfer* (Parker et Jones) var. *midwayana* (Cushman et Todd), *Silicosigmoilina californica* Cushman., *S. elegans* Serova, *Nodosaria* sp. indet.

Средняя часть свиты охарактеризована комплексом с *Rzehakina epigona* и *Bolivinopsis grzybowskii*, в котором, кроме определяющих видов *Rzehakina epigona* (Rzehak.) и *Bolivinopsis grzybowskii* (Frizzell), присутствуют *Rzehakina fissistomata* (Grzyb.), *Hyperammina cylindrica cylindrica* (Glaessn.), *H. cylindrica crassa* Mjatl., *Silicosigmoilina californica* Cushman., *S. elegans* Serova, *S. longa* Serova sp. nov., *S. perplexa* Isr., *Asanospira nonionoides* Serova sp. nov., *Cyclammina cf. akkeshiensis* (Yosh.), *C. elegans* Serova, *Silicobathysiphon dubia longolculus* Mjatl., *Eponides cf. subumbonatus* Mjatl., *Glamospira corona* (Cushman. et Jarb.).

По мнению М.Я.Серовой, отложения, охарактеризованные тремя вышеупомянутыми комплексами фораминифер, соответствуют зоне *Rzehakina epigona* и относятся к палеоцену.

В отложениях верхней части свиты четко выделяется комплекс с *Silicosigmoilina postfutabaensis* и *Bolivinopsis grzybowskii*, в котором, кроме определяющих комплекс видов, присутствуют также *Silicogasmigmoilina longa* Serova sp. nov., *S. elegans* Serova, *Silicobathysiphon dubia longolculus* Mjatl., *S. gerochi* Mjatl., *Cys-*

taminella pseudopauciloculata Mjatl., *Hyperammina cylindrica crassa* Mjatl., *Haplophragmoides aff. kirki* Wach., *Asanospira nonionoides* Serova sp. nov., *Sacammina scabrosa* Mjatl., *Eponides cf. floralis* White и др. Как считает М.Я.Серова, возрастное положение этого комплекса требует уточнения.

Л.А.Данилеско изучала фораминиферы из средней и верхней частей вышеупомянутого опорного разреза свиты, описанного по левому притоку руч.Иночвиваяма. В средней части свиты ею было установлено присутствие единичных фораминифер *Habdammmina* sp. indet., *Silicosigmoilina* sp. indet., в верхней – однообразных агглютинирующих форм *Rzehakina epigona lata* Cushman et Jarvis и *Silicosigmoilina* sp., характеризующих, по ее мнению, зону *Rzehakina epigona*, возраст которой она вслед за М.Я.Серовой [8] определяет палеоценовым.

Абсолютный возраст проб андезитов из покровов (пробы I, 7) и из обломка туфобрекчий (проба 6), отобранных в различных частях района, варьирует в пределах 65–69 млн. лет (табл. I).

Ивтыгинская свита согласно залегает на маастрихт-датских (?) отложениях Иночвиваямской свиты и согласно перекрывает породами Иночвиваямской свиты верхнепалеоценового возраста. На основании палеонтологической характеристики и стратиграфического положения возраст свиты определяется нижнепалеоценовым.

Верхний палеоцен

Иночвиваямская свита ($P_{I in}$)

Образования свиты развиты в бассейне верхнего течения руч. Иночвиваяма, в северо-западном углу района. Свиту слагают темно-серые склерупозные алевролиты, иногда слегка окремненные, с обилием конкреций мергелей и редкими маломощными (1–8 м) пластами мелкозернистых песчаников и мелкообломочных туфов среднего сослага.

Свита согласно налегает на ивтыгинскую свиту и согласно перекрывает горизонтом флишоидного чередования туфопесчаников и алевролитов ильинской серии.

Наиболее полно нижняя часть свиты была изучена в истоках руч.Иночвиваяма и на северных склонах хр.Ивтыгин.

В истоках руч.Иночвиваяма вскрывается (снизу вверх) в м:

Таблица I

Номер просы на карте	Место взятия пробы	Порода	Свита	A_{Ar}^{40}	
				Абсолют- ный воз- раст, млн. лет	$K, 10^{-9} \text{ } \mu$
I	руч. Иночи- вани	Анделезит	Интигимская	65	0,88
6	руч. Утыханов анапсай	-"	То же	68	0,52
7	то же	-"	-"	69	1,07
16	руч. Утыханов	Силилит	Боччинская	30	2,46
18	руч. Емет	-"	То же	32	2,84
18	то же	-"	-"	27	3,26
14	-"	-"	-"	26	2,26
13	руч. Утыханов	-"	-"	31	1,43
15	то же	-"	-"	35	1,10
19	руч. Емет	Диабаз	-"	14	1,94
17	р. Иштука	Анделезит	-"	20	2,46
II	р. Пахача	-"	Корфовая	16	2,66
					2,47
					0,00093

I. Алевролиты темно-серые и зеленовато-серые слабо окремненные скоруповатые или полосчатые с прослоями (1-3 м) туфов андезитов мелкообломочных. В верхней части пачки присутствуют *Ammodiscus cf. glabratus* Cushman et Jarvis, *Spiroplectammina* sp. indet., *Haplophragmoides* sp. indet., *Cibicides* sp. indet., *Saccammina* sp. indet., *Bulimina* (?) sp., *Hyperrammina? elongata* Brady

104

2. Туфы андезитов мелкообломочные скоруповатые

8

3. Алевролиты темно-серые скоруповатые

4. Алевролиты, переслаивающиеся (0,2-0,5 м) со слабо окремненными алевролитами ...

9

5. Алевролиты темно-серые скоруповатые, на отдельных участках тонкополосчатые, с прослоями (2-9 м) туфов андезитов мелкообломочных. Фораминиферы: *Ammodiscus* sp. indet., *Bathysiphia* sp. indet., *Silicosigmoilina* sp. indet.

75

6. Алевролиты темно-серые скоруповатые с редкими конкрециями пелитоморфных известняков. Пачка на всю мощность охарактеризована планктонными фораминиферами, среди которых преобладают *Globigerina nana* Chalieov, *G. baculana* Chalil., *G. velaocoensis* Sushm., *Subbotina varianta* Subbotina, реже встречаются *Subbotina cf. ecceca*(Terquen), *Globigerina triangularis* White, *G. quadririloculicoides* Chalilov, *Acarinina acarinata* Subbotina, *A. crassaformis* (Galloway et Wissler), *Globorotalia elongata* (Glaessner).

В подчиненном количестве присутствует *Silicosigmoilina cf. californica* Cushman., *S. cf. elegantissima* Serova, *Planorotalia fringa* (Subbotina), *Asterigerina cf. trumpy*(Nuttall), *Eponides subumbonatus* Mjatl., *Karreriella cf. coniformis* (Grzyb.), *Asanospira cf. walteri* (Grzyb.), *Marginulina ex gr. mexicana* Cushman., *Trochammina globigeriniformis* Mjatl. и др.

125

Мощность по разрезу 330 м.

Более верхние горизонты свиты были изучены на левобережье верхнего течения руч. Иночиваляма. Здесь вскрываются темно-серые склеруповатые алевролиты с конкрециями пелитоморфных известняков, единичным прослойем (5 м) туфов андезитов. Мощность этой части свиты 80-120 м. Породы на полную мощность охарактеризованы фораминиферами глобигеринового комплекса: *Globigerina nana* Chalilov, *G. bacuana* Chalilov, *G. velascoensis* Cushm., *G. kushuensis* Asano, *Silicosigmoilina postfutabaensis* Serova sp. nov., *Grzybowskia angusta* (Friedb.), *Aterigerina cf. trümpy* (Nuttall), *Silicobathysiphon longoloculus* Mjatl., *Silicosigmoilina gracilis* Serova sp. nov., *S. postfutabaensis* Serova sp. nov., *Saccammina scabrosa* Mjatl., *Robulus alatalimbatus* Gümbel, *Gloespira corona* Cushm. et Jarv.

Верхняя часть свиты мощностью 110-120 м представлена темно-серыми склеруповатыми аргиллитами с редкими прослойями (до 0,4 м) песчаников мелкозернистых и многочисленными конкрециями пелитоморфных известняков, нередко группирующимися в прослои. Наиболее полные разрезы этой части свиты изучались на правобережье верхнего течения руч. Иночиваляма (кожные склоны высоты с отметкой 686 м), по левым притокам руч. Иночиваляма в северо-западном углу района.

Отложения охарактеризованы фораминиферами, среди которых наиболее характерны *Silicosigmoilina postfutabaensis* Serova, *Cyclammina aff. placenta* Reuss, *Rhabdammina eocenica* Cushm. et G.D.Hanna, *Bathysiphon eoceneus* Cushm. - et G.D.Hanna, *Silicosigmoilina gracilis* Serova sp. nov., *Ammodiscus pennyi* Cushm. et Jarv., *Haplophragmoides flagrei trinitatis* Cushm. et Renz. Мощность свиты 550-600 м.

В отложениях верхней части свиты собраны *Nucula cf. postangulata* Clark, *Neptunea* sp. indet., срезы отворок брюхоногих моллюсков, многочисленные скопления отпечатков чешуи рыб, ядра и отпечатки мелких позвонков рыб, ходы илослов. По заключению В.И.Волобуевой и Т.Г.Калининич, по этим ископаемым остаткам трудно судить о возрасте вмещающих пород.

Породы свиты содержат многочисленные микрофаунистические остатки, изучение которых производилось М.Я.Серовой и Л.А.Данилеско. Анализ вертикального распространения микрофлоры по многочисленным, хотя и фрагментарным, разрезам свиты, изученным на всей площади ее развития, позволил М.Я.Серовой в породах свиты выделить два комплекса фораминифер. Нижняя и средняя части сви-

ты охарактеризованы глобигериновым комплексом, состоящим преимущественно из секреционных планктонных и бентосных фораминифер. Планктонные фораминиферы: *Globigerina nana* Chalil., *G. bacuana* Chalil., *G. velascoensis* Cushm., *G. kushuensis* Asano. В составе секреционного бентоса присутствуют *Robulus alatalimbatus* Сюмбел, *Dentalina delicatula* Cushm., *D. consobrina* d'Orb., *Bulimina guayabalensis* Cole. Вместе с планктоном присутствуют бентосные аггломерирующие *Silicosigmoilina postfutabaensis* Serova, *S. postfutabaensis* Serova sp. nov., *S. gracilis* Serova sp. nov., *S. longa* Serova sp. nov., *Silicobathysiphon longoloculus* Mjatl., *Dendrophrya maxima* (Friedb.) и др. По мнению М.Я.Серовой, комплекс фораминифер с *Globigerina nana* занимает в разрезе палеогеновых отложений строго определенное стратиграфическое положение и характеризует верхнюю часть верхнепалеоценовых отложений Восточной Камчатки и Корякского нагорья [7,8].

Верхняя часть иночивалямской свиты охарактеризована фораминиферами комплекса с *Silicosigmoilina postfutabaensis* и *Cyclammina aff. placenta*. Кроме характерного для комплекса вида *Silicosigmoilina postfutabaensis* Serova в сочетании с видом *Cyclammina aff. placenta* Reuss, присутствуют *Rhabdammina eocenica* Cushm. et G.D. Hanna, *Bathysiphon eoceneus* Cushm. et G.D. Hanna, *Silicosigmoilina gracilis* Serova sp. nov., *Ammodiscus pennyi* Cushm. et Jarv., *Cyclammina aff. intermedia* Mjatl., *Haplophragmoides flagreitirritatensis* Cushm. et Renz; в верхней части появляется вид *Cyclammina ezoensis* Asano, который наиболее обильно представлен в комплексе вышележащей ильинской серии. Возраст этого комплекса М.Я.Серова считает палеоценовым.

Л.А.Данилеско, производившая изучение микрофаунистических остатков по опорному разрезу нижней и средней частей свиты в истоках руч. Иночиваляма, выделяет три комплекса фораминифер. В нижнем комплексе, приуроченном к нижней части свиты (0-210 м), преобладают аггломерирующие фораминиферы: *Nucammina cf. elongata* Brady, *Bathysiphon* sp. indet., *Ammodiscus glaberatus* Cushman et Jarvis, *Haplophragmoides* sp. indet., *Silicosigmoilina* sp. indet.. *Asanospira* sp. По мнению микропалеонтолога, возраст отложений, содержащих этот комплекс микрофлоры, условно определяется датой палеоценовым.

Средний комплекс наиболее богатый и разнообразный. Доминирующее значение в нем имеют планктонные фораминиферы, среди ко-

торых массового числа особей достигают *Globigerina cf. nana* Chalilov, *Subbotina varianta* (*Subbotina*). В меньшем количестве присутствуют *Subbotina cf. eocenica* (Terquem), *Globigerina triangularis* White, *G. quadrirriloculinoides* Chalilov, *Acarinina acarinata* Subbotina, *A. crassaformis* (Galloway et Wissler), *A. cf. triplex* Subbotina, *Globorotalia elongata* (Glaessner),

Planorotalia cf. fringa и др. Как указывает Л.А.Данилеско, указанные виды характерны для отложений качинского яруса (верхний палеоцен Северного Кавказа, Крыма и Средней Азии). *Globigerina nana* имеет существенное значение в бахчисарайском ярусе нижнего эоцена, совместное нахождение *Acarinina acarinata* и *Globigerina nana* установлено в нижнем зоне Северного Кавказа. Богатый комплекс планктонных фораминифер с характерными видами *Globigerina nana*, *G. quadrirriloculinoides* встречен в средней части иночивалямской свиты в районе выделения ее стратотипа - в хр.Майни Каийнэ (северо-западнее изученной территории), где возраст ее датируется верхнепалеоценовым [8].

Из бентосных известковых и агглютинирующих фораминифер в комплексе присутствуют *Bathysiphon nodosariaformis* Subbotina, *Silicobathysiphon dubia longolculus* Mjatliuk, *Ammodiscus incertus* (Orbigny), *Asterigerina trümpfii* (Nuttal), *Pullenia eocenica* Cushman, *Eponides cf. subumbonatus* Mjatliuk и др.

В верхних горизонтах средней части свиты фауна значительно сокращается, исчезает планктон и известковый бентос. Фораминиферы представлены агглютинирующими формами плохой сохранности: *Asaphospira cf. waltery* (Grzyb.), *Karreriella cf. coniformis* (Grzyb.), *Spiroplectammina* sp. indet., *Recurvoidea* sp., *Silicosigmoilina cf. californica* Cushman., характерными, по мнению Л.А.Данилеско, для палеоценовых и эоценовых отложений.

Учитывая согласное залегание иночивалямской свиты на нижнепалеоценовых отложениях и результаты определения фораминифер, возраст свиты определяется верхнепалеоценовым.

Вочвинская свита ($F_I?$ vc)

Поля распространения вочвинской свиты приурочены к центральной части района, к Пылгинскому антиклиниорию, к ядрам антиклинальных структур. В сложении свиты основная роль принадлежит спилитам с подушечной отдельностью. Подчиненную роль играют ан-

дезитовые порфириты, андезиты, туфы среднего состава, кремнистые алевролиты, ямы.

Взаимоотношения свиты с подстилающими образованиями не выяснены ввиду их пространственной разобщенности, с перекрывающими фаунистически охарактеризованными отложениями ильинской серии и говенской свиты согласные, в ряде случаев тектонические.

Наиболее полные разрезы свиты описаны в верхнем течении Импуки, Яяпильхаваяма, Емета.

В междуречье Утыханява-Импуки свита имеет следующее строение (снизу вверх) в м:

1. Спилиты серо-зеленые с крупноподушечной текатурой, кремнистым материалом в треугольниках	50
2. Спилиты бурые, часто миндалекаменные, с редкими пачками (до 10 м) кремнистых алевролитов	740-750
3. Переслаивание (3-12 м) туфов андезитовых порфиритов и кремнистых алевролитов	60-70
4. Спилиты миндалекаменные	270
5. Кремнистые алевролиты	65
6. Переслаивание (1-2 м) кремнистых алевролитов и туфов андезитов мелко- и крупнообломочных	I40-I50
7. Чередование (4-18 м) андезитов и туфов андезитов крупнообломочных	35
8. Спилиты темно-бурые с кремнистым материалом и в треугольниках, с линзами (8-10 м) туфов андезитов крупнообломочных	I50-I70
9. Туфы андезитовых порфиритов крупнообломочные	20
10. Спилиты миндалекаменные	12

Общая мощность по разрезу 1550-1600 м.

В северо-западном направлении в составе свиты увеличивается роль ям и кремнистых алевролитов.

Состав пород свиты следующий. Спилиты - темно-зеленые, бурые породы порфировой и афировой структуры с интерсертальной, пилотакситовой, вариолитовой структурами основной массы; текутура, как правило, миндалекаменная. Вкрашенники представлены плагиоклазом, авгитом. Основная масса состоит из микролитов

альбита, мелких зерен пироксенов и сильно хлоритизированного стекла. Для пород характерна шаровая отдельность. Промежутки между шарами выполнены разноокрашенными яшмами, кремнистыми алевролитами.

Лиабазы - зеленовато-серые породы ойтовой структуры, состоящие из лейст плагиоклаза, промежутки между которыми заполнены авгитом и обычной роговой обманкой.

Анdezиты, андезитовые порфириты имеют порфировую структуру, пилотакситовую, гиалопилитовую структуры основной массы. Вкрапленники представлены плагиоклазом, пироксенами и роговой обманкой. Плагиоклаз во вкрапленниках и основной массе часто пелитизирован, цеолитизирован, пироксен и роговая обманка обычно свечевые.

По данным химических анализов (табл.2), лавы южвинской свиты относятся к нормальному ряду с резким преобладанием натрия над калием.

Туфы характеризуются кристалло-литокластической и витро-кристаллокластической структурами. По составу преобладают туфы андезитов, реже встречаются туфы базальтов. В составе обломков диагностируются плагиоклаз, пироксены (ромбический и моноклинный), андезиты, базальты, спилиты, стекло. Цемент пепловый, хлоритизированный и пелитизированный, базального типа. Тубобрекчи отличаются от туфов несортированностью материала - размер обломков варьирует от долей до нескольких десятков сантиметров. В их составе преобладают эфузивы среднего и основного состава.

Яшмы - серые, черные, розовые, зеленые крепкие плотные породы с раковистым изломом. Они характеризуются криптокристаллической, криптокристаллической в сочетании с пелитовой, гелевой, микрозернистой структурами, псевдобрекчевой и слоистой текстурами. Породы состоят из микрозернистых индивидов кварца, халцедона с примесью глинистого и алевролитового материала, хлорита серпента.

Кремнистые алевролиты имеют темно-серый или зеленовато-серый цвет, сложены тонкодисперсным глинистым материалом и криптокристаллическим кварцем, в которых равномерно рассеяны обломки кварца, плагиоклаза, пироксена.

В породах свиты на рассматриваемой площади палеонтологических остатков не обнаружено. На смежной с запада территории в хр. Малиновского З.А. Абдрахимовым и С.А. Мельниковой в 1960 г. в породах свиты были собраны многочисленные пелагиподы из рода

Таблица 2

Химический состав лав южвинской свиты

Номер образца	Место взятия пробы	Породы	SiO_2	Al_2O_3	FeO	Al_2O_3	CaO	MgO	SO_3	P_2O_5	Na_2O	K_2O	мнн	Сумма		
2472	Верховья Ильинки	Андрезит-порфирит	61,82	1,05	3,14	2,63	15,85	1,26	2,72	0,09	-	0,30	4,35	4,57	2,20	99,98
2458	Правобережье Ильинки	То же	68,10	0,79	1,79	1,98	15,22	2,19	1,35	0,05	-	0,05	8,70	0,25	0,20	100,67
2447	Верховья р. Атак-Джаныча	" "	57,30	1,14	3,14	3,57	17,11	4,01	3,77	0,15	-	0,35	4,05	3,50	2,40	100,49
2388	р. Енгет	" "	56,68	1,24	3,79	4,29	16,28	2,96	4,39	0,14	0,08	0,35	4,82	3,28	2,20	100,50
2370	Правобережье Енгета	Диабаз	50,62	1,09	3,41	4,51	20,95	7,95	5,72	0,05	0,11	0,20	2,75	2,39	1,60	100,48

Числовые характеристики по А.И. Заваричному

Номер образца	a	c	b	v	s	a'	r'	r'	w'	c'	n	ψ	t	q	a:c
2472	15,9	1,5	12,3	70,3	16,5	46,7	36,8	-	59,0	21,4	1,25	10,3	10,6		
2458	18,3	0,4	7,5	73,8	-	43,1	29,3	27,6	98,2	19,0	0,69	3,1	45,7		
2447	14,4	4,6	13,2	67,8	-	48,1	49,1	2,8	64,0	4,0	1,5	2,2	3,1		
2388	15,4	3,3	15,3	66,0	-	49,1	48,6	2,3	69,0	26,0	1,6	-1,5	4,7		
2370	10,0	9,5	18,5	62,0	-	41,4	55,5	3,1	64,0	16,4	1,6	-5,5	1,0		

Variamussium (определение В.И.Богдановой) палеогенового (без уточнения) возраста. На основании переопределения фауны в 1972 г. Л.В.Криштобович установила, что все формы составляют древнюю группу (зона *Variamussium olutorskienensis*), возрастной диапазон которой ограничен палеоценом - началом среднего эоцена [6]. М.Я.Серовой в пробах, отобранных из пород воччинской свиты в районе оз.Потат-Гытхын, были обнаружены агглютинирующие форамииниферы, позволяющие (условно) отнести отложения к палеоцену [6].

Результаты определения абсолютного возраста пород свиты калий-argonовым методом показали цифры от 14 до 35 млн. лет (см. табл. I, пробы I3-I9).

Воччинская свита согласно перекрывается породами ильпинской серии и говенской свиты эоцен-нижнемиоценового возраста. На основании палеонтологической характеристики и стратиграфического положения возраст ее принимается палеоценовым (?).

ПАЛЕОГЕНОВАЯ-НЕОГЕНОВАЯ СИСТЕМЫ

Вулканогенно-осадочные образования палеоген-неогенового возраста широко распространены в Пылгинских горах, ограниченным распространением пользуются в горах Хахинан. В их составе выделены олигоцен-миоценовые терригенные породы в ильпинскую серию, вулканогенно-осадочные - в говенскую, средне-верхнемиоценовые терригенные - в пахачинскую свиту, отображающие единый непрерывный цикл седиментации. Ильпинская серия в горах Хахинан согласно налегает на верхнепалеоценовых отложениях иночиваильской свиты. В Пылгинских горах породы серии согласно перекрывают вулканогенные образования воччинской свиты палеоцена (?). Говенская свита распространена в Пылгинских горах, где согласно перекрывает образования воччинской свиты и фациально замещается породами ильпинской серии. Отложения пахачинской свиты развиты в Пылгинских горах, согласно налегают на породы ильпинской серии.

Ильпинская серия нерасчлененная (Р - №1)

В северной части территории листа ильпинская серия пользуется ограниченным распространением. Развита она в бассейне руч. Иночиваильма, где согласно залегает на иночиваильской свите, представлена в основном аргиллитами с редкими маломощными (до 5 м) прос-

ляями туфов и песчаников, многочисленными конкрециями мергеля. В основании залегает горизонт (до 60 м) флишоидного чередования мелкозернистых тuffopесчаников и алевролитов.

Наиболее полный разрез серии описан по правому притоку руч. Иночиваильма, где вскрывается (снизу вверх) в м:

1. Тuffopесчаники мелкозернистые зелено-вато-серые, переслаивающиеся (5-40 см) с алевролитами темно-серыми скоруповатыми (0,1-1,5 м); форамииниферы: *Silicosigmoilina elegantissima* Serova, *Bathysiphon eoceneus* Cushman et Hanna, *Cyclammina cf. pacifica* Beck, C.sp., *Rhabdammina cf. eocenea* Cushman et Hanna, *Ammodiscus* sp.indet и др.

30

2. Алевролиты темно-серые скоруповатые с редкими маломощными (до 1 м) прослоями туфов среднего состава, конкрециями мергелей. Пачка охарактеризована микрофауной: *Cyclammina intermedia* Mjatl., *Rhabdammina* sp.indet., *Ammodiscus* sp.indet., *Haplophragmoides* cf. *obliquicameratus* Marks, *Cyclammina pacifica* Beck, C.sp.indet., *Spiroplectammina cf. specabilis* (Grzybowski), *Cystammina elongata* Mjatliuk и др.

550

Более верхние горизонты изучались по левому притоку руч. Иночиваильма. Здесь вскрывается монотонные черные скоруповатые алевролиты с редкими пропластками (до 10 см) туфов среднего состава, конкрециями мергеля. Мощность 210 м. В нижней и средней частях пачки присутствуют *Bathysiphon eoceneus* Cushm. et G.D. Hanna, *Cyclammina ezoensis* Asano, C. aff. *placenta* Reuss, *Haplophragmoides flagrei trinitatis* Cushm. et Renz, *Silicosigmoilina postfutabaensis* Serova, *Gyroidina florealis* White и др.

Мощность серии 790 м.

М.Я.Серова, анализируя распределение микрофаунистических остатков по вышеуказанному и другим разрезам серии, пришла к выводу, что отложения содержат один обедненный комплекс форамиинифер - комплекс с *Bathysiphon eoceneus*- *Cyclammina ezoensis*. В породах горизонта флишоидного чередования тuffopесчаников и алевролитов, кроме характерных для комплекса видов, присутствуют *Rhabdammina* aff. *eocenea* Cushm. et G.D. Hanna, *Ammodiscus*

Cushm. et Jarv., *Haplophragmoides flagrei trinitatensis* *Cushm. et Renz.*, *Cyclammina intermedia Mjatl.*, *C. aff. placenta Reuss*, *Silicosigmoilina postfutabaensis Serova*, *Robulus cf. alato-limbatus* (Gümbel), *Globobulimina cf. pacifica oregonensis* *Cushm. et Stew.* По подошве этого горизонта ею условно проводится граница между палеоценом и эоценом.

Выше по разрезу наряду с определяющими комплекс видами встречаются *Cyclammina pacifica Beck*, *C. aff. placenta Reuss*, *Haplophragmoides flagrei trinitatensis* *Cushm. et Renz.*, *Silicosigmoilina Gyroidina florealis White*.

В горизонте флишоидного чередования туфопесчаников и алевролитов на правобережье верхнего течения руч. Иночвяяма собраны *Parvamussium sp. indet.*, *Acila? sp. indet.*, следы жизнедеятельности илоедов (определение В.И.Богдановой), ничего не давшие для определения возраста отложений. В породах этого же горизонта установлены споры семейств *Polypodiaceae*, *Schizaceae*, *Hystrichosphaeridium*, пыльца голосеменных семейства *Rinaceae* и пыльца покрытосеменных семейства *Betulaceae* (*Alnus*, *Betula*, *Corylus*, *Carya*). Характерно присутствие пыльцы формальных родов *Triatriopollenites confusus* Zakh., *T. sp.*, *Triporina globosa* Chl., *Pistillipollenites megregorii* Rouse. По данным В.П.Соломоновской, близкий по составу спорово-пыльцевой комплекс был встречен в породах геткининской свиты на северо-западе п-ова Камчатки, возраст которого определен эоценовым.

Ильинская серия согласно залегает на верхнепалеоценовых отложениях иночвяйской свиты. На смежной с севера территории она согласно перекрывается фаунистически охарактеризованными отложениями пахачинской свиты средне-верхнемиоценового возраста [17]. На основании этого возраста серия определяется в пределах зонена - нижнего мицена.

Ильинская серия имеет широкое распространение в Пылгинских горах. Её слагают в основном алевролиты с обильными конкрециями мергелей, менее - песчаники, конгломераты, туфы, туфобрекции. Разрезы серии изучались по ручьям Арковому, Белому, Хайнамату, рекам Тейнунгейвяяму, Имке, Емету, Пахаче.

В нижнем течении Тейнунгейвяяму нижнюю часть серии слагают (снизу вверх) в м:

I. Алевролиты темно-серые скоруповатые с конкрециями мергелей 100-120

2. Конгломераты мелкогалечные с редкими конкрециями известковистых песчаников, с остатками позвонков рыб	30
3. Переслаивание (1-5 м) аргиллитов скоруповатых, песчаников мелкозернистых и конгломератов мелкогалечных; в аргиллитах и конгломератах - конкреции мергелей с остатками неопределенных пелеципод.....	35
4. Алевролиты тёмно-серые скоруповатые с конкрециями мергелей, с <i>Acila sp. indet.</i> , <i>Nuculana sp. indet.</i> , <i>Variamussium sp. indet.</i> , <i>Mytilus sp. indet.</i> (напоминает <i>M. ex gr. schatunensis Laut.</i>), <i>Psephaea cf. gigantea Laut.</i> , <i>Dentalium sp.</i>	60-70
5. Алевролиты темно-серые слабо окремненные, часто обладающие полосчатым строением, с редкими конкрециями мергелей	250-280
6. Алевролиты темно-серые скоруповатые с редкими крупными конкрециями мергелей, единичными (до 3 м) проолоями туфов среднего состава в верхней части	100-II0
7. Алевролиты слабо окремненные зеленовато-серые полосчатые с конкрециями мергелей, остатками <i>Gastropoda gen. indet.</i>	90
8. Алевролиты темно-серые скоруповатые с редкими прослойями (до 3 м) песчаников мелкозернистых, многочисленными конкрециями мергелей с <i>Yoldia sp. indet.</i> , <i>Periploma sp. indet.</i> , <i>Mytilus vel Modiolus sp. indet.</i> , <i>Cardita sp. indet.</i> , <i>Neptunea sp.</i> (возможно <i>N. ex gr. ezoana Takeda</i>), <i>Dentalium sp. indet.</i> , остатками позвонков рыб	160-180
9. Песчаники мелкозернистые зеленовато-серые с конкрециями известковистых песчаников, остатками <i>Yoldia sp. indet.</i> , <i>Dentalium sp. indet.</i>	12
10. Алевролиты темно-серые скоруповатые с редкими прослойями (2-3 м) песчаников мелкозернистых, единичными линзами (до 10 м)	

туфобрекчий андезитов и базальтов, многочисленными конкрециями мергелей с *Macrocallista cf. furtiva* (Yok.) var. *nairoensis* L. Krisht., *Yoldia ex gr. nitida* Slod., Y. sp. indet., *Laternula* sp. indet., *Macoma cf. calcarea* Gmelin, *Cardita* sp. indet., *Dentalium* sp. indet. 280-320
Мощность по разрезу 1100-1250 м.

На многих участках (реки Емет, Имбука, Тейнунгдейвам и др.) нижняя часть серии обогащается вулканогенными породами - туфами, туфобрекчиями, спилитами, в бассейне Емата нередки пачки (10-100 м) флишеподобного чередования алевролитов, песчано-глинистых сланцев и туфитов.

Верхняя часть серии (1600-1800 м) сложена в основном алевролитами темно-серыми склеруповатыми с многочисленными конкрециями мергеля круглой и караваеобразной формы размером от нескольких сантиметров до 1 м в диаметре. Конкремции содержат остатки беспозвоночных, как правило, группируются в прослои, подчеркивающие слоистость пород. В пределах гряды Калиней (междууречье Имки - Пахачи) отмечаются туфы, туфобрекчии среднего состава. кремнистые алевролиты.

Мощность свиты 2700-3050 м.

Серия хорошо охарактеризована палеонтологически.

Для нижних горизонтов ее характерны *Acila* (*Acila*) ex gr. *gettysburgensis* (Reagan), *Malletia* ex gr. *inermis* Yok., *Nucula* (*Borissia*) aff. *alferovi* Slod., N. (*Sacella*) ex gr. *crassatelloides* Laut., *Psephaea olutorskiensis* L. Krisht., *Yoldia* ex gr. *nitida* Slod., Y. cf. *nairoensis* Evseev и др.

Выше по разрезу собраны *Acila sinuata* L. Krisht., A. (*Acila*) *praevigila* L. Krisht., *Cardita* ex gr. *kinkilana* Slod., C. aff. *tumiensis* (Khom.), *Clinocardium* aff. *kinsimarae* (Mak.), *Laternula* cf. *besshoensis* (Yok.), *Liocyma* aff. *furtiva* Yok., L. *furtiva* (Yok.) var. *nairoensis* L. Krisht., *Macoma* aff. *osensis* L. Krisht., *Macrocallista* *furtiva* (Yok.) var. *nairoensis* L. Krisht., *Neptunea* cf. *onnaica* (Yok.) *Nemocardium* *karatoense* L. Krisht., *Yoldia* ex gr. *cerussata* Slod., Y. ex gr. *caudata* (Khom.), Y. cf. *multidentata* Khom., Y. cf. *longissima* Slod. и др.

По заключению Л.В.Криштофович и В.И.Богдановой, этот комп-

лекс фауны указывает на переходный (позднеолигоценовый - раннемиоценовый) возраст включавших ее отложений.

В верхней части серии обнаружены *Acila* (*Acila*) cf. *gettysburgensis* (Reagan), *Cardita crebricostata* Krause, C. ex gr. *chibiuensis* Kanno, *Laternula besshoensis* Yok., *Macoma* ex gr. *calcarea* Gmel., M. cf. *simizuensis* L. Krisht., *Malletia longa* L. Krisht., M. cf. *poronaica* (Yok.), *Nucula* cf. *psjakauphensis* Khom., *Neptunea* ex gr. *onnaica* (Yok.), N. aff. *ezcana* Takeda, *Phacooides acutilineata* (Conrad), *Tellina* aff. *puchlensis* Slod., *Thyasira disjuncta* (Gabb.), T. ex gr. *amekhovi* Kogan, *Tracia condoni* Dall., *Turritella tokunagai* Yok., *Yoldia scapha* Yok., Y. ex gr. *cerussata* Slod., Y. cf. *caudata* Khom., Y. cf. *chojensis* Slod и др. По заключению Л.В.Криштофович и В.И.Богдановой, этот комплекс фауны определяет раннемиоценовый возраст отложений. Здесь впервые появляются *Laternula besshoensis* (Yok.), *Thyasira disjuncta* Gabb., *Yoldia* cf. *chojensis* Slod., характерные для среднего - верхнего миоцена.

Ильинская серия залегает согласно на образованиях вочвинской свиты палеоценового (?) возраста и согласно перекрываетяется фаунистически охарактеризованными отложениями пахачинской свиты средне - верхнемиоценового возраста. На основании фаунистической характеристики и стратиграфического положения возраст серии определяется воцен - нижнемиоценовым.

По мнению Г.К.Пичугиной [6], терригенные отложения, развитые вдоль побережья Ольгогорского залива и выделяемые ею в Пылгинскую свиту, залегают в основании разреза образований, слагающих Пылгинские горы. М.Я.Серовой в этих отложениях обнаружены фораминиферы, которые позволяют, хотя и условно, отнести формирование этой свиты к началу палеогенового - датскому времени. На рассматриваемой территории выделить аналогичные отложения пока не представляется возможным.

Говенская свита нерасчлененная (Р - Н gv)

Вулканогенно-осадочные образования говенской свиты развиты в Пылгинских горах и представлены в основном грубообломочными туфобрекчиями среднего и основного состава с редкими потоками (40-50 м) андезитовых порфиритов, спилитов, пачками (5-30 м) алевролитов, туфопесчаников, туфов.

Нормальные стратиграфические контакты говенской свиты с подстилающими образованиями вочвинской свиты наблюдались в верховьях Емета, Импуки, Майнхангвайма, междууречье Имки - Кривой Имки, где породы говенской свиты выполняют синклинальные структуры. Сильвинской серией говенская свита связана фациальными переходами. Непосредственные фациальные замещения вулканогенных пород осадочными установлены по руч. Ататхуканяу (левый приток Емета), в верховьях Емета, в междууречье Тейнунгейвайма - Имки.

В верховьях Импуки свита сложена туфобрекчиями андезитовых и базальтовых порфиритов, грубообломочных с редкими покровами спилитов (5 м) пачками полосчатых кремнистых алевролитов (10-12 м). В юго-западном направлении среди туфобрекций во все возрастающем количестве появляются пачки алевролитов, туфопесчаников и уже в нижнем течении руч. Ататхуканява туфобрекции полностью замещаются алевролитами. Так, на юго-восточном крыле Центральной синклиналии в верхнем течении руч. Ататхуканява непосредственно на спилитах вочвинской свиты залегают (снизу вверх) в м:

1. Алевролиты темно-серые с конкрециями мергелей	200
2. Туфопесчаники мелкозернистые с единичными пачками (3 м) аргиллитов	80
3. Алевролиты с редкими пластами туфоконгломератов мелкогалечных (3-6 м), конкрециями мергелей	60
4. Туфобрекции андезитов грубообломочные	440
Наблюдаемая мощность по приведенному разрезу 780 м.	

В 2 км юго-западнее по простиранию пород на этом же крыле синклиналии туфобрекции, залегающие в верхней части свиты, имеют мощность не более 250 м, а еще в 1,5-2 км юго-западнее полностью замещаются алевролитами.

Совершенно иной состав имеет свита на северо-западном крыле синклиналии. Здесь также непосредственно на спилиты вочвинской свиты налегают (снизу вверх) в м:

1. Туфобрекции андезитовых порфиритов грубообломочные	50
2. Кремнистые алевролиты полосчатые с прослоями (5-6 м) туфов среднего состава мелкообломочных в верхней части	65

3. Туфобрекции андезитовых и базальтовых порфиритов крупнообломочные с редкими прослоями туфов среднего состава мелкообломочных (2 м) и покровами бурых спилитов (3 м)

54

4. Алевролиты слабо окремненные, местами полосчатые, с единичными пластами (до 8 м) туфопесчаников

120

5. Туфобрекции андезитов грубообломочные с гнездами алевролитов и гравелитов, линзами полосчатых кремнистых алевролитов.

45

6. Алевролиты с линзами и гнездами туфобрекций грубообломочных, конкрециями мергелей

220

7. Туфобрекции андезитов грубообломочные

45

8. Алевролиты с единичными прослоями туфоконгломератов мелкогалечных (до 10 м), пакетами полосчатых кремнистых алевролитов (12 м), конкрециями мергелей с *Solemya* sp. indet., *Acila* sp. indet., *Nuculana* (*Borissia*?) sp. nov., *Yoldia* (*Yoldia*) cf. *caudata* Khol., *Y. (Portlandella)* cf. *watasei* Kanehara, *Y. (Portlandella)* *watasei* Kaneh. var. *semiovata* Uozumi, *Tellina* sp., *Ampullina* *asagaiensis* Mak., *Trominina* aff. *Japonica* (Takeda)

350

Мощность свиты по разрезу 950 м.

Наиболее полный разрез свиты описан в междууречье Утыханява - Импуки, где залегают (снизу вверх) в м:

1. Туфобрекции андезитовых и базальтовых порфиритов грубообломочные, местами замещающиеся туфоконгломератами

400

2. Туфы андезитовых порфиритов средне-крупнообломочные зеленовато-серые с редкими пластами (5-10 м) туфобрекций грубообломочных и потоками (3-20 м) андезитов

300-310

3. Туфобрекции андезитовых и базальтовых порфиритов грубообломочные, местами замещающиеся туфами андезитов

700-800

Мощность свиты 1400-1500 м.

В бассейне Имки в нижней части свиты появляются мелко-крупногалечные конгломераты, хорошо окатанные гальки которых представлены андезитами, базальтами, липаритами, диоритовыми порфиритами, диоритами, гранит-порфирами.

В центральной части рассматриваемой территории в составе свиты появляются пачки различной мощности кремнистых алевролитов, пласти туфопесчаников и туфов, лавовые потоки андезитовых порфиритов и спилитов. В обнажении по левобережью Импуки (высота 919,5 м) установлена последовательность залегания отдельных пачек пород (снизу вверх) в м:

1. Кремнистые алевролиты полосчатые темно-серые	20
2. Спилиты с подушечной текстурой, редкими пластами (5-17 м) туфобрекций грубообломочных и туфопесчаников среднезернистых зеленовато-серых слоистых	230
3. Переслаивание туфов андезитов порфиритов крупнообломочных (3-25 м), кремнистых алевролитов полосчатых (5-15 м) и туфобрекций андезитовых порфиритов мелкообломочных (3-10 м)	110
4. Спилиты, туфопесчаники грубозернистые и кремнистые алевролиты, чередующиеся (10-35 м) между собой	100
5. Спилиты с подушечной текстурой	400
6. Туфы андезитовых порфиритов грубообломочные с редкими пачками (4-5 м) кремнистых алевролитов	90-95
7. Спилиты с подушечной текстурой, с редкими пластами (10-20 м) туфов андезитов мелкообломочных	300
8. Кремнистые алевролиты с редкими пластами (5 м) туфов андезитов	50
9. Спилиты миндалекаменные	100
10. Туфобрекции андезитов грубообломочные	180-200
Мощность свиты	1600 м

В свите найдены остатки фауны: *Acila* (*Acila*) cf. *gettysburgensis* (Reagan), *A.* sp. indet., *Solemya dalli* Clark., *Yoldia* (*Cnesterium*) aff. *nairoensis* Evseev, *Y.* (*Portlandella*) aff. *watasei* Kanekara, *Psephaea olutorskiensis* L. Krisht., *Liocyma*

furtiva (Yok.) var. *nairoensis* L. Krisht., *Macoma calcarea* Gmel., *Nuculana* (*Borissia*) aff. *alferovi* Slod., *N.* (*Sacella*) ex gr. *crassatelloides* Laut., *Nuculana?* sp. indet., *Neptunea* ex gr. *on-naica* Yok., *Cardita* sp. indet., *Malletia* sp. indet., *Crassatella* sp. indet., *Solarialla* sp. indet., *Phacoides* sp. indet., *Turritella* sp. indet., *Modiolus* sp. indet. (возможно, *M. matschgai* L. Krisht.), *Dentalium* sp. indet., *Bivalvia* genus, *Mytilus* vel. *Modiolus* sp. indet., отпечатки позвонков крупных рыб. По мнению В.И.Богдановой, определяющей фауну, возраст включавших ее пород позднеолигоценовый - раннемиоценовый.

В верхних частях свиты встречена однообразная микрофауна, представленная песчаными формами *Cyclammina* (*C. cf. pacifica* Beck., *C. cf. incisa* Stache, *C. cf. japonica* Asako), *Haplophragmoides* (*H. cf. cenzi* Asako, *H. cf. laminatus* Voloshinova) и примитивными палочкообразными *Bathygiphon* и *Rhabdammina*. По заключению Л.А.Данилеско, эти виды широко распространены в олигоцене и миоцене Тихоокеанского побережья.

Говенская свита залегает согласно на палеоценовых (?) отложениях вочвинской свиты и фациально замещается породами ильинской серии эоцен-нижнемиоценового возраста. На основании этого возраст говенской свиты принимается эоцен-нижнемиоценовым.

НЕОГЕНОВАЯ СИСТЕМА

Средний - верхний миоцен

Пахачинская свита

Отложения свиты распространены в виде узкой полосы северо-восточного простирания в междуречье Пахачи и Имки и в бассейне нижнего течения Аичгинайвайма (среднее течение Пахачи). Они представлены мелко- и среднезернистыми полимиктовыми песчаниками, гравелитами, конгломератами, алевролитами, аргиллитами. С нижележащей ильинской серией пахачинская свита связана постепенными переходами; вулканогенные породы кордовской свиты перекрывают ее с резким угловым несогласием. Непосредственные взаимоотношения между ильинской серией и пахачинской свитой наблюдались по ручьям Бичигнайвайму, Белому.

Пахачинская свита делится на две подсвиты.

Нижняя подсвита ($N_1 ph_1$). Подсвита распространена на юго-востоке района, где прослеживается узкой полосой от р.Имки до восточной рамки его, и в бассейне Аичгинайвайма. В первом случае подсвита представлена монотонными алевролитами серыми и темно-серыми склеруповатыми, содержащими многочисленные конкреции мергеля. В основании подсвиты залегает горизонт (30 м) флишеподобного (0,3-1,2 м) чередования полимиктовых мелкозернистых песчаников и алевролитов.

Мощность подсвиты 1000-1100 м.

В породах найдены *Macoma cf. simizuensis* L. Krisht., *Laternula ex gr. besshoensis* (Yok.), *Yoldia ex gr. cerussata* Slod., *Y. ex gr. makarovi* Evseev, *Y. cf. diakovi* Slod., *Acila (Truncicilla) cf. exima* Yok., *A (Acila) gettysburgensis* (Reagan), *Buccinum cf. boraensis* Laut. var. *shatunensis* Laut., *Malletia cf. poronaica* (Yok.), *Taras gouldi* (Yok.) var. *sertunayensis* Kogan, *Tellina chibana* Yok., *Turcicula cf. kamschatatica* L. Krisht., *Polinices cf. galianoi* Dall. По мнению В.И.Богидаевой, этот комплекс фауны характерен скорее всего для среднего миоцена.

В Пылгинских горах (бассейн Аичгинайвайма) нижнепахачинская подсвита представлена мелкозернистыми полимиктовыми песчаниками с редкими маломощными (1-3 м) прослоями и линзами мелкогалечных конгломератов, многочисленными конкрециями известковистых песчаников видимой суммарной мощностью до 400-500 м.

В этих отложениях найдены: *Nuculana aff. vengerensis* Kogan, *Yoldia ex gr. caudata* Khom., *Y. multidentata* Khom., *Y. aff. chojensis* Sim., *Malletia inermis* (Yok.), *Macoma simizuensis* L. Krisht., *Clinocardium ex gr. esutorensis* (L.Krisht.), *Laevicardium cf. taracaicum* (Yok.), *Polinices cf. gallinai* Dall.

Данный комплекс фауны, по заключению В.И.Богидаевой, свидетельствует скорее всего о раннемиоценовом возрасте отложений; Л.В.Криштофович склоняется к мысли о среднемиоценовом их возрасте.

Верхняя подсвита ($N_1 ph_2$). Подсвита распространена на юго-востоке района, где она прослеживается узкой полосой от мыса Грозного до р.Пахачи. Подсвита сложена песчаниками, алевролитами, аргиллитами, гравелитами с многочисленными конкрециями мергелей и известковистых песчаников.

В морском береговом обрыве Олюторского залива у мыса Грозного наблюдается хороший разрез подсвиты (снизу вверх) в м:

I. Переслаивание аргиллитов (0,3-1,5 м),

мелкозернистых песчаников (0,2-0,4 м) и алевролитов (0,1-0,3 м) с конкрециями известковистых песчаников, с <i>Macoma optiva</i> (Yok.), <i>M. nasuta</i> Conrad, <i>M. cf. truncatoides</i> Khom.; <i>Laevicardium cf. taracaicum</i> (Yok.), <i>Polinices cf. galianoi</i> Dall	45
2. Переслаивание (0,1-0,4 м) алевролитов и аргиллитов с <i>Yoldia cf. tracieformis</i> (Storer)	4
3. Переслаивание песчаников мелкозернистых (0,2-0,4 м) и алевролитов (0,03-0,1 м)	10
4. Конгломерато-брекчи крупнообломочные с конкрециями известковистых песчаников	5
5. Песчаники мелкозернистые с прослойми (0,2-0,3 м) гравелитов, конкрециями известковистых песчаников, с <i>Acila sp.indet.</i> (возможно, <i>A.cf.gottschaei</i> Böhm.), <i>Nuculana tatarica</i> Kogan, <i>Liocyma sachalinensis</i> Laut	120-125
6. Брекчи крупнообломочные светло-серые с конкрециями известковистых песчаников, линзами и гнездами углисто-глинистых сланцев	45-50
7. Песчаники мелкозернистые пепельно-серые, на отдельных участках слоистые, местами склеруповатые, с линзами (до 1 м) алевролитов и гравелитов; конкреции с <i>Laevicardium taracaicum</i> (Yok.), <i>Taras cf. harperi</i> (Anderson), <i>Mactra cf. polynyma</i> Stimp., <i>Polinices cf. galianoi</i> Dall. и др.	100-105
8. Песчаники мелко- и крупнозернистые; конкреции с <i>Macoma ex gr. simizuensis</i> L.Krisht., <i>Mactra polynyma</i> Stimp., <i>Polinices cf. galianoi</i> Dall.	15
9. Аргиллиты, конкреции известковистых песчаников	20
10. Песчаники мелко- и крупнозернистые зеленовато-серые с прослойми (1-2 м) аргиллитов и конкрециями	12
II. Алевролиты серые; редкие конкреции с	

Macoma cf. simuzuensis L. Krisht., Mactra ex gr. polypuma Stimp., Clinocardium cf. makarovii (Evseev) и dr.....	50-60
I2. Гравелиты серо-зеленые рыхлые с конкрециями и обуглившейся древесиной ...	3
I3. Аргиллиты зеленовато-серые с прослойками (до 0,1 м) глинисто-углистых сланцев, прослоями (4-5 м) гравелитов и песчаников	35
Мощность подсвиты составляет 570-600 м.	

На отдельных участках (ручьи Бичигтайвайма, Белый, Павайм) к верхней части свиты приурочены пласти (0,4-2,5 м) бурого угля. Возраст подсвиты устанавливается по присутствию следующих остатков фауны: *Nuculana* (*Nuculana*) *majaugraphensis* Khol., *N. taratica* Kogan, *N. cf. alferovi* Slod., *Yoldia* cf. *tracieformis* (Storer), *Acila* (*Truncacilia*) *gottschaei* Böhm., *Cardium* (*Laevicardium*) *taracaicum* Yok., *Clinocardium* cf. *sachalinensis* Kramanova, *C. cf. makarovii* (Evseev), *Taras paralis* (Conrad), *T. gouldi* (Yok.) var. *sertunayensis* Kogan, *Licymna subfluctuosa* Khol., *L. sakhalinensis* Laut., *Tellina pulchra* Slod., *T. chibana* Yok., *Macoma calcarea* (Gmel.), *M. cf. optiva* (Yok.), *Mactra polypuma* Stimp., *Laternula besshoensis* (Yok.), *Mya arenaria* Linee, *M. ex gr. sertunayensis* Laut., *Serripes groenlandicus* (Bruguiera), *Neptunea aff. lirata* Martin, *Polinices* (*Euspira*) *galianoi* Dall. и др.

По мнению В.И.Богдановой, этот комплекс указывает на средне-позднемиоценовый возраст имеющихся его отложений.

На возможность расчленения пахачинской свиты на две подсвиты и выделения в ее составе средне- и верхнемиоценовых отложений имеются указания как в печатной, так и в фондовой литературе [3, 16, 31].

Верхний миоцен - плиоцен

Корфовская свита (Nkr)

Вулканогенные образования корфовской свиты распространены на южных склонах гор Хахинан, северных склонах Йылгинских гор и слагают гряду Туманную на крайнем юго-востоке рассматриваемой

территории. В северной части территории они залегают в виде покровов, слабо ($3-10^6$) наклоненных в сторону Пылговаямской впадины, с несогласием перекрывая все более древние отложения; на юге они несогласно залегают на породах пахачинской свиты и моноклинально наклонены на юг-юго-восток под углами 20-60° в сторону Олоторского залива.

Свита сложена в основном андезито-базальтами, менее - базальтами, андезитами и их пирокластами. Для магматических пород характерны свежий облик, порфировая структура; для широкластических - яркая (красная, желтая, черная) окраска, слабая цементация.

Наиболее полные разрезы свиты описаны в верховых руч. Иши-найвайма (горы Хахинан), на левобережье руч. Ялпылхавайма (Йылгинские горы), в районе г. Кутур (гряда Туманная). В районе г. Кутур свиту слагают следующие породы (снизу вверх) в м:

I. Андезиты темно-серые	20
2. Лавобрекции андезитов мелкообломочные желто-зеленые слоистые	70-80
3. Тубобрекции андезитов и андезито-базальтов грубообломочные, черные	20
4. Базальты темно-серые плитчатые	100
5. Чередование тубобрекций андезитов и андезито-базальтов грубообломочных кирлично-красных (6-10 м) и андезито-базальтов (4-40 м)	75
6. Базальты стально-серые	30
7. Тубобрекции андезитов грубообломочные кирлично-красные	20
8. Андезито-базальты; в средней части прослой (6 м) грубообломочных тубобрекций андезитов	75
9. Гиалоандезиты черные	25
10. Переслаивание андезито-базальтов темно-серых (5-7 м) и тубобрекций мелкообломочных бурых (1-3 м)	25
II. Базальты темно-бурые	7
12. Переслаивание андезито-базальтов стально-серых тонкоплитчатых (7-40 м) и тубобрекций среднего состава мелко- и крупнообломочных (1-30 м)	225
13. Андезиты серые тонкоплитчатые; в верхней части пласт (6 м) крупнообломочных тубобрекций андезитов	30

I4. Переслаивание андезито-базальтов (6-16 м) и туфобрекций крупнообломочных (3-6 м)	40
I5. Андезиты серые плитчатые	I2
I6. Туфобрекции андезитов и андезито- базальтов крупнообломочные, бурые и кирпично-красные, с покровами (4-10 м) андезито- базальтов в верхней части	70
Мощность свиты 850-860 м.	

В Пылгинских горах мощность свиты 400-450 м; на 75-90% она сложена андезитами, андезито-базальтами, базальтами. Туфы, туфобрекции среднего состава играют незначительную роль. В бассейне руч. Бол.Аталвайма, по данным Т.В.Тарасенко [29], в основании свиты залегают пепловые туфы и туфопесчаники мощностью 45 м с обуглившимися растительными остатками. Остальная часть свиты (250-300 м) представлена андезитами с редкими маломощными (2-3 м) пластами пепловых туфов. В горах Хахинан свита имеет мощность около 600 м и сложена почти исключительно магматическими породами. Туфобрекции слагают редкие маломощные (1-10 м) прослои.

Эффузивные породы свиты имеют свежий облик, обладают, как правило, порфировой структурой. Вкрапленники составляют 10-35% в базальтах и андезито-базальтах и 10-30% в андезитах. Минералами вкрапленников являются плагиоклаз от лабрадора № 50-60 в базальтах и андезито-базальтах до андезина № 35-45 в андезитах, ромбический и моноклинный пироксен, в андезитах - роговая обманка.

Базальты имеют интерсертальную и гиалопилитовую структуры основной массы. Порфировые выделения размером 0,4-2 мм представлены плагиоклазом № 50-60, авгитом, гиперстеном и оливином.

Андезито-базальты характеризуются интерсертальной, гиалопилитовой, пилотакситовой и гиалиновой основной массой, присутствием во вкрапленниках плагиоклаза № 45-60, авгита и пироксена.

Андезиты имеют гиалопилитовую, интерсертальную, гиалиновую, толеитовую структуры основной массы. По составу вкрапленников выделяются роговообманковые и пироксеновые андезиты, встречаются пироксен-роговообманковые разности. Химический состав пород(в %): SiO₂ - 58,52; TiO₂ - 0,98; Al₂O₃ - 17,93; Fe₂O₃ - 3,69; FeO - 3,07; MnO - 0,18; MgO - 3,13; CaO - 5,74; Na₂O - 4,30; K₂O - 0,72; +H₂O - 0,70; -H₂O - 1,16; P₂O₅ - 0,27; п.п.п. - 1,58; сумма - 100,39. Числовые характеристики по А.Н.Заварницкому: а - 10,8; с - 7,1; в - I2,I; с - 70,0; f' - 53,5; с' - 45,3; с' - I,2;

n - 90; ψ - 27,2; t - I,2; q - II,3; a:c = 1,5. Породы относятся к нормальному ряду, слабо пересыпаны кремнекислотой, очень бедны щелочами.

Постмагматические изменения эффузивов выражались в незначительной хлоритизации стекла основной массы.

Туфобрекции имеют литокластическую структуру. Обломки размером 1-30 см представлены базальтами, андезитами и их порфиритами. Цементирующая масса состоит из зеленовато-бурового, черного пеплового материала, нередко хлоритизированного и окжелезненного, с мелкими обломками плагиоклаза, андезитов и базальтов.

Пепловые туфы обнаруживают лито-кристаллокластическую псамитовую структуру. Обломки размером 0,2-0,6 мм принадлежат плагиоклазу, пироксену, роговой обманке, андезитам, базальтам. Цемент представлен пепловым материалом, иногда хлоритизированным.

В рыхлых туфопесчаниках основания свиты обнаружены: *Tellina cf. pulchra* Slod., *Modiolus* sp. (*cf. wajampolkensis* Slod.), *Liosuma* *cf. fluctuosa* (Gould.), *Pododesmus macroschisma* (Desh.), *Volutopsis? kamtschatica* Ilyina, *Buccinum aff. boraensis* Laut., *Chrysodonmus?* *packardi* Nemland, *Subemarginula* sp. напоминает *Subemarginula cicatrosa* (A. Adams.), *Macoma calcarata* (Gmel.), *M. cf. echabiensis* Slod., *M. aff. nasuta* (Conrad), *M. aff. dissimilis* (Martens), *M. astori* Dall., *Mya arenaria* af. var. *truncata* linne, *M. (Mya) karaginskensis* Khar., *Clinocardium* *cf. dicornutum* Grew.

По заключению А.Л.Девятиловой, данная фауна дает основание, хотя весьма условно, предполагать плиоценовый возраст вмещающих ее пород. Форма *Volutopsis? kamtschatica* Ilyina типична для этолонской свиты.

В слоистых пепловых туфах с остатками обуглившейся древесины (сборы Тарасенко, 1963 г.), залегающих в основании свиты в бассейне руч.Аталвайма, С.Л.Хайкиной установлен богатый спорово-пыльцевой спектр. Основная роль в нем (до 74%) принадлежит пыльце покрытосеменных растений при меньшем (до 40%) участии голосеменных и малом (до 9%) - спор. Среди покрытосеменных преобладают семейства Betulaceae (Betula и Alnus), в небольших количествах присутствуют Salix, Juglandaceae, Corylus, Carpinus Ulmaceae, Tilia, Gramineae, Ulex, Leguminosae, Rosaceae. В составе голосеменных много пыльцы Pinus, Tsuga, меньше Pinus, единично Abies, Taxodiaceae, Cupressaceae. Данный спектр характерен, по заключению С.Л.Хайкиной, для плиоценовых отложений.

Абсолютный возраст пробы андезитов из верхней части свиты, отобранный на левобережье Пахачи, выражается цифрами 7-16 млн. лет, что свидетельствует о миоцен-плиоценовом возрасте пород свиты (см. табл. I, проба II). И. А. Загрузина, производившая определения, отмечает, что точность результатов менее обычной (± 5 млн. лет) вследствие малого содержания в них K_2O (менее 1%).

Аналогичные вулканогенные образования широко распространены в Олюторском прогибе. По данным А. И. Поздеева [27], абсолютный возраст пяти проб, отобранных в бассейне Унгвайама из разных частей корфовской свиты, варьирует в пределах 14-27 млн. лет. Возраст пород корфовской свиты, развитых в бассейне Энгвайама, по данным В. Г. Терешкова [30], выражается цифрами 9-17 млн. лет (четыре пробы). Возраст андезитов свиты из бассейна Анаапки [13] по результатам анализа двух проб определяется цифрами 12-19 млн. лет.

Породы свиты с несогласием залегают на всех нижележащих отложениях, в Пылговайской впадине перекрываются рыхлыми образованиями нижнечетвертичного возраста.

Таким образом, на основании палеонтологической и флористической характеристики, данных абсолютного возраста и стратиграфического положения возраст вулканогенных образований корфовской свиты принимается в пределах верхнего миоцена и плиоцена.

ЧЕТВЕРТИЧНАЯ СИСТЕМА

Рыхлые четвертичные отложения пользуются широким распространением и представлены нижнечетвертичными озерными, верхнечетвертичными морскими и ледниковыми образованиями, современными аллювиальными, морскими и дельвиально-аллювиально-проливиальными отложениями.

Нижнечетвертичные отложения

Озерные отложения (Q_1) известны в Пылговайской впадине. Они представлены галечниками, глинами, торфами. В левом борту долины Пылговайама в 100 м ниже устья руч. Мал. Иявайама эти отложения представлены (снизу вверх) в м:

I. Глина желтовато-серая с редкими (до 10%) гальками различного состава размером 1-5 см и линзами (0,1-0,3 м) бурого торфа. Споры и пыльца: *Sphagnum*, *Lycopodium* sp.,

Selaginella sibirica, *Salix*, *Alnaster* и др.; диатомы: *Melosira praesislandica* f. *curvata* (O. Müll.), *M. scabrosa* Ostr., *Thalassiosira zabelina* Jouse, *Pinnularia borealis* var. *brevicostata* Cl. и др.

2. Песок мелкозернистый серый

3. Глина желтовато-серая с беспорядочно рассеянными гальками размером 3-15 см (до 20%) и с прослоями (2-3 см) серого мелкозернистого песка. Споры и пыльца: *Bryales*, *Sphagnum*, *Pinus* n/p *Haploxyylon* и др....

4. Песок мелкозернистый желтовато-

серый параллельнослоистый с линзами (до 0,5 см) иловатой глины. Споры и пыльца: *Bryales*, *Sphagnum*, *Picea* sp., *Pinus* n/p *Haploxyylon*, *Juglandaceae* и др.; диатомы: *Melosira praesislandica* (O. Müll.) Jouse

5. Глина иловатая серая с редкими (до 5%) спорадически рассеянными гальками и единичными валунами, в нижней и средней частях пласти ленточная (мощности прослоев 0,5-2 см), в верхней - массивная комковатая. Споры и пыльца: *Bryales*, *Sphagnum*, *Gleicheniaceae*, *Osmundaceae*, *Cinguloceae*, *Tsuga*, *Picea* sp., *Picea* sect. *Omorica*, *Pinus* n/p *Diploxyylon*, *P.* n/p *Haploxyylon*, *Taxodiaceae*, *Ericales* и др.; диатомы: *Melosira antiqua* Moisseeva, *M. praesislandica* (O. Müll.) Jouse, *M. praesislandica* f. *curvata* (O. Müll.) Jouse, *Stephanodiscus dubius* var. *arcticus* Seczkina, *Pinnularia borealis* Ehr. и др.

6. Глина песчанистая светло-серая ленточного строения с прослоями (1-20 см) параллельнослоистого тонкозернистого песка. Споры и пыльца: *Gleicheniaceae*, *Tsuga*, *Picea* sect. *Omorica*, *Pinus* n/p *Diploxyylon*, *P.* n/p *Haploxyylon*, *Taxodiaceae* и др.; диатомовые водоросли: *Melosira islandica* subsp. *helvetica* O. Müll. *M. praesislandica* (O. Müll.)

Jouse, M. praeislandica f. curvata (O. Müll.) Jouse и др..... 6,5

7. Глина иловатая серая с беспорядочно рассеянными гальками (20-40%), редкими валунами. Споры и пыльца: *Pinus* n/p *Haploxyylon*, *Alnus*, *Alnaster*, *Betula*, *Gramineae* и др.; диатомей: *Melosira islandica* (O. Müll.) Jouse, *Stephanodiscus dubius* var. *arcticus* Seczkina, *Eumotia robusta* Raefs и др. ...

8. Глина песчанистая светло-серая ленточного строения (1-3 см). Споры и пыльца: *Tsuga*, *Picea* sp., *Pinus* n/p *Haploxyylon*, *Alnus*, *Alnaster*, *Betula* и др.; диатомей: *Melosira praeislandica* (O. Müll.) Jouse, *M. praeislandica* f. *curvata* (O. Müll.) Jouse, *Pinnularia viridis* var. *fallax* Cl., спикулы губок и др. 2,5

9. Глина иловатая темно-серая с беспорядочно рассеянными гальками (30% объема) и валунами. Споры и пыльца: *Sphagnum*, *Polypodiaceae*, *Tsuga*, *Pinus* n/p *Haploxyylon*, *Taxodiaceae*, *Alnus*, *Alnaster* и др.; диатомей: *Stephanodiscus astraea* (Ehr.) Grum.

10. Галечник сортированный (размер гальек 3-5, редко 10-15 см) горизонтальносложистый с крупнозернистым песком и линзами (3-10 см) крупнозернистого песка и иловатой глины. На отдельных участках пласт венчается горизонтом (0,7 м) валунов до 0,4 м в диаметре. Споры и пыльца: *Tsuga*, *Pinus* n/p *Diploxyylon*, *P.* n/p *Haploxyylon*, *Salix*, *Alnus*, *Alnaster*, *Betula*; диатомовые водоросли: *Melosira antiqua* Moisseeva, *M. praeislandica* f. *curvata* (O. Müll.) Jouse, *Stephanodiscus dubius* var. *arcticus* Seczkina, *Eumotia praerupta* Ehr., *Pinnularia borealis* Ehr. и др.

Мощность толщи 50 м.

46

7-8

Строение и состав нижнечетвертичных отложений, развитых в Пылговайской впадине, в целом остаются более или менее выдержаными. На отдельных участках залегающие в верхней части пески обладают косой слоистостью, мощность торфа иногда достигает 2 м. По левобережью руч. Бол. Алтаязма, в низовых Тавызяма разрез отложений венчается несортированным валунно-галечником, представляющим собой, очевидно, слабо перемытые древние морены. Изредка среди глин встречаются глыбы погребенного льда.

Палинологический анализ проб, отобранных выше отложениях и в других частях впадины - по рекам Пылговайму, Пахаче, Тавызяму, Лыгунчайпивалму и др., по заключению Г.П.Казаковой, Р.А.Баскович, показывает, что спорово-пыльцевые спектры характеризуют хвойно-листственные леса с большим участием ольхи и березы. По мнению Г.П.Казаковой, такие леса произрастали в раннечетвертичное время, по данным Р.А.Баскович, - в неогене и, по-видимому, не в самом его конце, так как в спектрах слишком невелик удельный вес сосновых, а в конце неогена роль последних в значительной степени возросла. Распределение пыльцы по разрезу свидетельствует об изменении климатических условий в сторону незначительного похолодания к моменту завершения накопления отложений.

По мнению Е.М.Вышинской и Р.К.Джиноридзе (ЛГУ, Ленинград), диатомей *Melosira praeislandica* f. *curvata* (O. Müll.) Jouse, *M. antiqua* Moisseeva, *Tetracyclus ellipticus* (Ehr.) Grun. *Stephanodiscus dubius* var. *arcticus* Seczkina характерны для замкнутых пресноводных бассейнов озерного типа позднетретичного-раннечетвертичного времени. Присутствие в верхних горизонтах значительного количества видов *Eumotia*, *Navicula*, *Cymbella* позволяет датировать период формирования осадков раннечетвертичным временем.

И.Ф.Морозом [25] по р.Пылговайму в 1,5 км ниже устья руч. Мал. Иявалма в осипи был найден бивень и зуб, принадлежащие, по мнению А.П.Васильковского, *Elephas* sp. (cf. *E. primigenius* Blum.).

На основании вышеизложенного возраст отложений принимается нижнечетвертичным.

Верхнечетвертичные отложения (Q^1_{III})

Морские отложения (Q^1_{III}) распространены вдоль берега Ольторского залива. Они слагают аккумулятивную и смешанную террасы

высотой 5-40 м, прослеживающиеся от западной рамки листа до мыса Грозного, и представлены галечниками с песком, глиной. В верхней части галечники обладают хорошо выраженной косой слоистостью в нижней - содержат прослой (0,3-0,4 м) песчанистой глины. Мощность вскрывавшихся образований 42 м. По мере удаления от современного берега моря отложения меняют свой состав, уменьшается их мощность. В левом борту долины Имки у устья руч. Хальва описан следующий разрез (сверху вниз) в м:

1. Галечник несортированный с песком	4
2. Глина иловатая со спорадически расщепленными гальками плохой окатанности (до 40% объема)	3,5
3. Песок крупнозернистый параллельно-слоистый	0,5
4. Галечник несортированный с крупнозернистым песком и глиной	2,5
5. Галечник сортированный параллельно-слоистый с крупнозернистым песком	5
Мощность 15,5 м.	

Возраст отложений установлен на основании данных спорово-пыльцевого анализа проб из разреза, расположенного восточнее Намятгитгин. Здесь вскрываются галечники мощностью 40 м с песком и единичным пластом (0,6 м) глины. Пыльца древесно-кустарниковой группы представлена единичными зернами ольховника и ивы, недревесных - злаковыми, польни, вересковидными кустарниками, крестоцветными, маревые и прочим разнотравьем. В составе спор господствуют плаунок сибирский, папоротниковые, плауновые, меньше - сфагновые и зеленые мхи. А.Н. Бычкова (СВТУ, г. Магадан) заключает, что подобные спектры свидетельствуют о суровых засушливых условиях осадконакопления изучаемых отложений эпохи позднечетвертичного оледенения или очень близкого к нему времени.

В пробах, отобранных из толщи у устья Имки, сложенной галечником с песком, установлено присутствие пресноводных диатом. w. Sm., P. borealis Ehr., Eunotia exigua var. compacta Hust. и одной из морских диатомовых Thalassiosira gravida Cl.

Ледниковые отложения (Q_2^I) слагают морены в долинах современных водотоков западной части гор Пылгинских и Хахинан. Они представлены несортированным валунным и галечным материалом

с примесью глины, песка, суглинка. Наибольшая мощность отложений 50-60 м.

Спорово-пыльцевой спектр отложений очень беден. В пробах, отобранных в верховьях Янылхаваяма, содержится: пыльца древесно-кустарниковых и недревесных - по три зерна, спор - четыре зерна. Состав пыльцы: древесно-кустарниковых - *Pinus* n/p *Haploxyylon*, *Alnaster*, недревесных - *Cruciferae*, *Varia*, споры - *Bryales*, *Selaginellaceae*, *Polypodiaceae*.

Современные отложения (Q_4^I)

Современные отложения представлены аллювием пойм и надпойменных террас высотой 4-6 м, морскими пляжевыми образованиями и делювиально-проловиальными, делювиально-солифлюкционными и коллювиальными отложениями.

Аллювиальные отложения распространены в долинах всех относительно крупных водотоков района. Для большинства долин характерно двухъярусное строение аллювия. Нижний ярус (русловой аллювий) представлен хорошо окатанным параллельно-слоистым галечником с примесью песка. Верхний ярус (пойменный аллювий) сложен песком, глиной, реже - переслаиванием прослойков (3-5 см) песка и глины.

В правом борту долины Пахачи вблизи устья Пылговаяма аллювиальные отложения слагают террасу высотой 6 м и имеют следующее строение (сверху вниз) в м:

1. Глина желто-бурая с примесью песка и галек	2
2. Галечник несортированный с песком и глиной, с валунами в основании	2
3. Галечник горизонтально-слоистый с песком и линзовидными прослойками (3-15 см) гравия крупнозернистого песка	1,5

Спорово-пыльцевой спектр проб, отобранных в среднем течении Тейнунгейвайма, характеризует суровые климатические условия и напоминает спектр современного флористического комплекса района. Главная роль в спектрах принадлежит пыльце сережкоцветных - кустарниковым разностям бересклета и ольхи (29-64%). В значительных количествах присутствует пыльца кедрового стланика (28-52%),

единично - ивы. В примерно равных соотношениях обнаружена пыльца недревесной группы и спор. Пыльца травянистой растительности представлена злаковыми, бобовыми, осоковыми, крестоцветными, полынью, вересковидными. В группе спор доминируют сфагновые мхи и папоротниковые, менее - плаунковые, плаунковые и мхи.

Морские пляжевые отложения прослеживаются полосой шириной 5-200 м вдоль берега Ольгогорского залива. Они представлены хорошо окатанным галечником, мелкозернистым песком. Мощность их 4-5 м.

Отложения конусов выносов наблюдаются в долинах Емета, Импуки, Пахачи, где они представлены щебенкой, галечником, редкими валунами с примесью песка и глины. Мощность этих отложений 5-6 м. Дельтическо-солифлюкционные и коллювиальные отложения представлены щебнем, глыбами горных пород с примесью суглинка, супеси.

Мощность их достигает 3-4 м.

ИНТРУЗИВНЫЕ ОБРАЗОВАНИЯ

Интрузивные породы на рассматриваемой территории слагают штоки, пластовые залежи, субвулканические тела и дайки, принадлежащие трем интрузивным комплексам: палеогеновому, миоценовому и плиоценовому.

ПАЛЕОГЕННЫЕ ИНТРУЗИИ

Интрузивными породами палеогенового возраста сложены небольшой штокообразный массив, пластовые залежи и дайки. Они расположены в пределах северной части Пылгинского антиклинария, пространственно тяготея к полям разрезания пород ивтыгинской и иночвиямской свит и представлены габбро, диорит-порфиритами и андезитами.

Габбро (JF_3) слагают изометричный штокообразный массив площадью около 4 км² на левобережье среднего течения Лыгунинай-Пиваяма. Породы имеют темно-серый цвет, габровую структуру и сложены моноклинным пироксеном, плагиоклазом № 55-60 и роговой обманкой. В небольшом количестве присутствуют апатит, рудный минерал, из вторичных - кальцит, хлорит. По химическому составу породы (табл.3) близки к среднему типу габбро, по Дэли, отличаясь несколько повышенным содержанием магния и железа и пониженным содержанием кремнезема и глиноzemа. Контактовый метаморфизм выразился в слабом ороговиковании вмещающих пород ивтыгинской свиты.

Диорит-порфириты (JF_3) слагают небольшие (до 1 км²) пластовые залежи мощностью 70-100 м в верхнем течении Лыгунинай-Пиваяма и Иночвиямса, андезиты (αP_3) - дайки вблизи них. Мощность даек 3-5 м, протяженность 200-500 м.

Диорит-порфириты имеют темно-серый цвет, порфировидную структуру. Вкрапленники представлены плагиоклазом № 55, роговой обманкой, реже моноклинным пироксеном. Основная масса обладает гипсиоморфозернистой структурой и состоит из андезина и роговой обманки. Аксессорные минералы - апатит, рудный, вторичные - кальцит, серцит.

Результаты химического анализа показывают (см.табл.3), что эти породы близки к среднему типу диоритов, по Дэли, отличаясь от них несколько пониженным содержанием кремнезема и более резким преобладанием натрия над калием.

Контактовые воздействия выражаются в окварцевании и хортизации туфов, окварцевании и осветлении алевролитов. На вершине высоты с отм.967 м сохранился остаток кровли (0,2 км²), представленный уплотненными осветленными алевролитами.

Андезиты - темно-серые породы с вкрапленниками (15-20%) андезина № 40-45, роговой обманки, реже - моноклинного пироксена. Основная масса имеет микролитовую структуру и состоит из микролитов плагиоклаза, зерен моноклинного пироксена и вулканического стекла. Аксессорные - рудный минерал, вторичные - цеолит.

Олигоценовый возраст описываемых интрузий определяется тем, что они прорывают и метаморфизуют породы ивтыгинской и иночвиямской свит палеоценового возраста, а перекрываются корровской свитой миоцен-плиоценового возраста.

Таблица 3

Химический состав интрузивных пород

Номер образца	Место взятия пробы, массив	Породы	Индекс на карте	SiO_2	TiO_2	Al_2O_3	Fe_2O_3
862-а ^{x)}	Среднее течение Лыгуннайпиваяма	Габбро	V_{P_3}	42,03	1,5	I2,65	5,95
2105	Верхнее течение Лыгуннайпиваяма	Диорит-порфирит	C_{P_3}	52,68	0,56	I8,67	3,76
2119-г	То же	То же	D_{P_3}	54,36	0,58	I9,21	3,44
2179	Верхнее течение Иночиваляма	" "	D_{P_3}	51,22	0,78	I8,92	4,60
253	Тейнунгейвяямский	Габбро	$\text{Y}_{\delta-\text{N}_1}$	49,12	0,80	I8,27	4,59
I45	Майнханвяямский	" "	$\text{Y}_{\delta-\text{N}_1}$	50,33	0,98	I7,92	4,82
248-а	Тейнунгейвяямский	Габбро-диорит	$\text{Y}_{\delta-\text{N}_1}$	51,09	0,62	I8,67	4,54
3180	р.Имка	Габбро	Y_{N_1}	49,55	0,92	I5,07	6,02
320	Аталвяямский	Диорит	$\text{C}-\delta_{\text{q}} \text{N}_1$	59,03	0,78	I7,81	3,07
364	" "	" "	$\text{C}-\delta_{\text{q}} \text{N}_1$	55,80	0,62	I7,25	3,01
366-а	" "	" "	$\text{C}-\delta_{\text{q}} \text{N}_1$	54,20	0,56	I7,39	2,99
249	Тейнунгейвяямский	Гранодиорит	$\text{Y}_{\delta-\text{N}_1}$	65,67	0,40	I6,41	2,52
I003	Майнханвяямский	Кварцевый монцогранит	$\text{Y}_{\delta-\text{N}_1}$	58,63	0,60	I8,30	3,35
2128	" "	" "	$\text{Y}_{\delta-\text{N}_1}$	65,66	0,31	I6,16	2,75
239	Тейнунгейвяямский	Тоналит	$\text{Y}_{\delta-\text{N}_1}$	58,83	0,60	I8,17	3,49
I815	г. Отдельный Конус	Гранодиорит	$\text{Y}_{\delta-\text{N}_1}$	65,00	0,41	I5,26	1,32
691-а	Руч. Белый	Дайкит	Y_{N_1}	74,68	0,23	I2,82	2,48
772	То же	" "	Y_{N_1}	63,27	0,51	I6,50	4,40
646-а ^{x)}	" "	" "	Y_{N_1}	65,66	0,41	I5,69	1,64
551 ^{x)}	Тейнунгейвяямский	Гранодиорит	$\text{Y}_{\delta-\text{N}_1}$	59,12	0,74	I4,46	4,24
I026 ^{x)}	Аталвяямский	Диорит	$\text{C}-\delta_{\text{q}} \text{N}_1$	53,44	0,86	I6,27	2,77
555 ^{x)}	Тейнунгейвяямский	Габбро	$\text{Y}_{\delta-\text{N}_1}$	47,80	0,97	I7,07	7,42

FeO	MnO	MgO	CaO	K ₂ O	Na ₂ O	P ₂ O ₅	H ₂ O	H ₂ O	CO ₂	Сумма	п.п.п.
6,27	0,17	13,06	13,87	0,44	2,09	0,03	0,85	0,15	0,61	99,67	2,15
3,24	0,15	4,22	7,65	1,42	3,12	0,17	2,54	1,24	0,5	99,92	3,60
3,75	0,18	4,32	8,34	0,74	2,48	0,05	1,84	0,94	0,2	100,43	2,68
3,24	0,15	5,06	8,86	1,36	3,02	0,15	1,22	1,86	-	100,44	2,82
5,21	0,20	6,27	10,35	3,24	0,63	0,82	0,08	0,08	-	99,66	0,60
4,77	0,16	5,42	9,51	2,66	1,66	1,51	0,25	0,11	-	100,1	1,28
5,03	0,20	5,58	9,11	2,22	1,12	1,20	0,20	0,05	-	99,63	1,04
1,01	0,17	8,14	10,44	3,17	2,80	1,87	0,95	0,19	-	100,3	2,44
4,42	0,19	2,13	4,19	3,98	2,42	1,44	0,02	0,13	-	99,61	1,03
4,06	0,10	4,40	5,09	4,08	1,56	2,46	0,34	0,05	1,02	99,84	3,34
5,92	0,20	4,22	7,15	3,52	1,78	2,04	0,22	0,06	-	100,25	1,78
1,94	0,08	2,20	3,40	3,24	3,12	1,10	0,20	0,05	-	100,3	1,10
3,30	0,17	2,58	5,61	3,80	3,46	0,53	0,07	0,04	-	100,44	0,36
1,85	0,15	1,34	3,79	3,88	2,94	0,79	0,03	0,07	-	99,72	0,73
3,30	0,15	3,14	6,48	2,66	1,82	1,02	0,08	0,14	-	99,88	1,04
2,25	0,14	1,27	5,00	3,70	1,92	1,46	1,67	0,19	0,90	100,49	3,83
0,44	0,01	-	0,12	5,48	3,13	0,36	0,50	0,04	-	100,29	0,73
0,72	0,07	1,77	4,37	3,70	1,87	1,02	1,28	0,10	0,48	100,06	2,73
1,34	0,01	3,02	2,08	5,92	2,91	0,62	0,20	0,16	0,19	99,88	0,78
4,29	0,13	3,93	5,08	4,72	2,44	0,87	0,22	0,17	0,21	100,32	1,20
5,91	0,15	4,98	7,96	3,23	1,28	1,46	0,17	0,20	1,21	99,89	2,00
3,94	0,18	6,81	10,41	2,22	0,86	1,05	0,17	0,58	0,24	99,72	1,09

Числовые характеристики по А.Н.Заваринскому

Продолжение табл.3

Номер образца	а	с	б	б'	в	в'	г	г'	д	д'	е	е'	ф	ф'	и	и'	п	п'	ψ	т	q	a/c	0,89 0,90 0,91 0,92 0,93 0,94 0,95 0,96 0,97 0,98 0,99 1,0 1,1 1,2 1,3 1,4	
862-8	5,6	42,5	46,9	-	-	-	-	-	-	-	-	-	-	-	-	-	-	-	-	-	-	-	-	-
2105	16,0	65,8	65,8	65,8	65,8	65,8	65,8	65,8	65,8	65,8	65,8	65,8	65,8	65,8	65,8	65,8	65,8	65,8	65,8	65,8	65,8	65,8	65,8	65,8
2179	15,2	62,4	62,4	62,4	62,4	62,4	62,4	62,4	62,4	62,4	62,4	62,4	62,4	62,4	62,4	62,4	62,4	62,4	62,4	62,4	62,4	62,4	62,4	62,4
2153	14,5	60,9	60,9	60,9	60,9	60,9	60,9	60,9	60,9	60,9	60,9	60,9	60,9	60,9	60,9	60,9	60,9	60,9	60,9	60,9	60,9	60,9	60,9	60,9
245-a	14,5	60,9	60,9	60,9	60,9	60,9	60,9	60,9	60,9	60,9	60,9	60,9	60,9	60,9	60,9	60,9	60,9	60,9	60,9	60,9	60,9	60,9	60,9	60,9
248-a	14,5	60,9	60,9	60,9	60,9	60,9	60,9	60,9	60,9	60,9	60,9	60,9	60,9	60,9	60,9	60,9	60,9	60,9	60,9	60,9	60,9	60,9	60,9	60,9
245180	14,5	60,9	60,9	60,9	60,9	60,9	60,9	60,9	60,9	60,9	60,9	60,9	60,9	60,9	60,9	60,9	60,9	60,9	60,9	60,9	60,9	60,9	60,9	60,9
320	14,5	60,9	60,9	60,9	60,9	60,9	60,9	60,9	60,9	60,9	60,9	60,9	60,9	60,9	60,9	60,9	60,9	60,9	60,9	60,9	60,9	60,9	60,9	60,9
364-a	14,5	60,9	60,9	60,9	60,9	60,9	60,9	60,9	60,9	60,9	60,9	60,9	60,9	60,9	60,9	60,9	60,9	60,9	60,9	60,9	60,9	60,9	60,9	60,9
366-a	14,5	60,9	60,9	60,9	60,9	60,9	60,9	60,9	60,9	60,9	60,9	60,9	60,9	60,9	60,9	60,9	60,9	60,9	60,9	60,9	60,9	60,9	60,9	60,9
249	14,5	60,9	60,9	60,9	60,9	60,9	60,9	60,9	60,9	60,9	60,9	60,9	60,9	60,9	60,9	60,9	60,9	60,9	60,9	60,9	60,9	60,9	60,9	60,9
2128	14,5	60,9	60,9	60,9	60,9	60,9	60,9	60,9	60,9	60,9	60,9	60,9	60,9	60,9	60,9	60,9	60,9	60,9	60,9	60,9	60,9	60,9	60,9	60,9
691-a	14,5	60,9	60,9	60,9	60,9	60,9	60,9	60,9	60,9	60,9	60,9	60,9	60,9	60,9	60,9	60,9	60,9	60,9	60,9	60,9	60,9	60,9	60,9	60,9
772-X	14,5	60,9	60,9	60,9	60,9	60,9	60,9	60,9	60,9	60,9	60,9	60,9	60,9	60,9	60,9	60,9	60,9	60,9	60,9	60,9	60,9	60,9	60,9	60,9
646-a	14,5	60,9	60,9	60,9	60,9	60,9	60,9	60,9	60,9	60,9	60,9	60,9	60,9	60,9	60,9	60,9	60,9	60,9	60,9	60,9	60,9	60,9	60,9	60,9
10261	14,5	60,9	60,9	60,9	60,9	60,9	60,9	60,9	60,9	60,9	60,9	60,9	60,9	60,9	60,9	60,9	60,9	60,9	60,9	60,9	60,9	60,9	60,9	60,9
551-X	14,5	60,9	60,9	60,9	60,9	60,9	60,9	60,9	60,9	60,9	60,9	60,9	60,9	60,9	60,9	60,9	60,9	60,9	60,9	60,9	60,9	60,9	60,9	60,9
5551	14,5	60,9	60,9	60,9	60,9	60,9	60,9	60,9	60,9	60,9	60,9	60,9	60,9	60,9	60,9	60,9	60,9	60,9	60,9	60,9	60,9	60,9	60,9	60,9

X) Анализ заимствован из отчета Нахачинской партии [25].

Абсолютный возраст габбро (проба 3) определяется в 28,5-34,5 млн. лет, диорит-порфиры (пробы 4,5,8,9) - 20-36 млн. лет (табл.4).

Таблица 4

Номер пробы на карте	Место взятия пробы	Породы	Абсолютный возраст, млн. лет		A_{U}^{40} , 10^{-9} г/г	A_{R}^{40} , $\frac{\text{K}_{40}}{\text{K}_{40}}$
			4	5		
9	Руч.Лыгуны-найтильям	диорит-порфирит	29-36	1,195	2,035	0,00170
8	То же	То же	27-29,5	2,44	2,53	0,00212
4	" "	" "	35-39	1,85	3,95	0,00162
3	Руч.Лыгуны-найтильям	Габбро	34,5-	1,70	3,83	0,00207
5	" "	Диорит-порфирит	28,5	2,46	4,26	0,001745
II	р.Бол. Ильяям	андезит	20	2,46	3,21	0,00107
			7-16	2,66	0,95	0,000357
					2,47	0,00093

Миоценовые интрузии

Интрузивными породами миоценового возраста сложены штоки, лакколиты, пластовые залежи, дайки и субвуликанические тела. Среди них выделены габбро, габбро-диориты, диориты, кварцевые диориты, тоналиты, гранодиориты, кварцевые монцониты, диорит-порфириты, диабазы, кварцевые диаспоры, долериты, дациты.

На рассматриваемой плошади установлены три штоки - Атальяйский, Тейнунгейвайямский и Майнханвайямский (см.рис.2). Они расположены в верховых одиночных рек и тяготят к ядерной части Шылгинского антиклинария. Площадь штоков 20-50 кв.км, форма близка к изометрической. Штоки прорывают и метаморфизуют породы воччинской и говенской свит, перекрываются горизонтально залегающими эродированными коркорфской свиты. Плоскости контактов направлены в сторону от интрузий под углами 60-80°, на отдельных участках 5-10°. Вмещающие породы интенсивно амфиболизированы в зоне 50-200 м. В эндоконтактах часто наблюдаются ксенолиты вмещающих пород. Нередко контакты осложнены тектоническими нарушениями. В пределах Майнханвайямского и Тейнунгейвайямского штоков сохранились остатки кровли, представленные амфиболизированными спилитами, туфами, туфобрекчиями.

Майнханвайямский шток ($\gamma^{\text{e}} N_i$) сложен габбро, габбро-диоритами, диоритами и кварцевыми диоритами, тоналитами, гранодиоритами и кварцевыми монцонитами. В строении Тейнунгейвайямского штока ($\gamma^{\delta}-\gamma^{\text{e}} N_i$) принимают участие габбро-гасбро-диориты, диориты и кварцевые диориты, гранодиориты. Основные члены этой серии слагают центральные части массивов, сменяясь в направлении контактов более кислыми разностями. Атальяйский шток ($\delta-\delta q N_i$) сложен диоритами и кварцевыми диоритами, последние тяготят к внутренним частям массива. Все эти породы связаны между собой настолько тесными взаимопереходами, что расчленить интрузии не представляется возможным.

Габбро принимают участие в строении сложных штоков, а также слагают интрузивные залежи (γN_1) на левобережье Имки и в верховых руч. Чинчинвама. Протяженность залежей 0,5-2 км, мощность 200-400 м. Простирации и углы падения контактов их определяются залеганием вмещающих пород. Габбро - серо-зеленые крупно-, среднезернистые породы габбровой структуры, состоящие из лабрадора № 60-65, моноклинного пироксена и биотита. Аксессорные минералы - апатит, рудный, вторичные - хлорит.

По химическому составу (см. табл.3) габбро отличаются от среднего состава габбро, по Дэли, несколько повышенным содержанием кремнезема и калия.

Габбро-диориты макроскопически неотличимы от габбро. Породы имеют гипидиоморфнозернистую структуру и состоят из плагиоклаза № 50-52, моноклинного пироксена, роговой обманки и биотита, акцессорные - апатит, рудный минерал.

По данным химического анализа (см.табл.3) породы насыщены кремнеземом, очень бедны щелочами.

Диориты и кварцевые диориты представляют собой зеленовато-серые и средне- и мелкозернистые породы гипидиоморфнозернистой структуры; состоят из плагиоклаза № 37-50 (50-80%), роговой обманки (10-25%), моноклинного пироксена (10%), кварца (10-20%), кальшата (до 5%), биотита (5-10%), рудного минерала и апатита. Вторичные минералы представлены сросткитом, карбонатом, хлоритом, эпидотом.

Результаты химических анализов диоритов (см. табл.3) показывают, что эти породы близки к среднему типу диоритов, по Дэли, отличаясь несколько большим содержанием глинозема и более резким преобладанием натрия над калием.

Гранодиориты принимают участие в строении сложных штоков и слагают лакколит ($\gamma \delta N_1$) г. Отдельный Конус. Площадь лакколита 1 км², форма эллипсоидальная, длина оси его ориентирована по простиранию вмещающих пород. Контакты с породами говенской свиты и Ильинской серии пологие (35-40°), направлены в сторону интрузива. Алевролиты на контакте в полосе шириной 1-30 м превращены в плотные с раковистым изломом роговники; туфы приобретают пятнистую структуру, обусловленную новообразованиями эпидота и хлорита.

Гранодиориты - зеленовато-серые средне-мелкозернистые породы гипидиоморфнозернистой структуры; состоят из олигоклаза (40%),

калинатрового полевого шпата (24%), кварца (20%), роговой обманки (10%), биотита (3%), рудного минерала, апатита, сфена, циркона. Вторичные минералы - серпилит, пренит, хлорит, эпидот.

Химический состав (см.табл.3) показывает, что породы близки к среднему типу гранодиоритов, по Дэли, или представляют собой переходные разности от кварцевых диоритов к гранодиоритам - тоналиты (обр.239). Последние состоят из плагиоклаза (35%), роговой обманки (24%), биотита (15%), кварца (13%), ортоклаза (7%), апатита, циркона.

Кварцевые монцониты представляют собой средне-мелкозернистые породы розово-серого цвета монцонитовой структуры. Минералогический состав: андезин (30%), калинатровый полевой шпат (33%), авгит (19%), кварц (12%), биотит (4%), рудный минерал (2%), акцессорные - апатит.

По результатам химического анализа (см.табл.3) породы близки к среднему типу кварцевых монцонитов, по Дэли, отличаясь несколько пониженным содержанием кремнезема, преобладанием калия над натрием.

Миоценовый возраст описанных интрузий основывается на том, что они прорывают и метаморфизуют породы вочвинской и говенской свит палеоценового и эоцен-нижнемиоценового возраста. Позднемиоцен-плиоценовые аффузии кордовской свиты перекрывают их несогласно.

Диорит-порфиры ($\delta \gamma N_1$) слагают дайки, сопровождающие лакколит гранодиоритов г. Отдельный Конус. Мощность даек 0,3-2 м, протяженность 20-400 м, углы падения 70-90°. Они представляют собой темно-серые плотные порфировидные породы. Вкрашены андезином, роговой обманкой, редко пироксеном. Основная масса имеет микродиоритовую структуру и состоит из андезина, роговой обманки, пироксена, биотита. Аксессорные минералы - апатит, рудные; вторичные - карбонат, хлорит.

Диабазы (βN_1), диабазовые порфириты ($\beta \gamma N_1$), кварцевые диабазы ($\beta q N_1$), долериты (βN_1) залегают в виде интрузивных залежей, реже даек в терригенных отложениях Ильинской серии в юго-восточной части территории листа. Протяженность залежей от нескольких десятков метров до 10-12 км, мощность от нескольких сантиметров до 50 м. Форма залежей обычно простая, в редких случаях сложная, контакты с вмещающими породами ровные, четкие. Простирания и углы падения контактов интрузивных тел отвечают элементам залегания вмещающих пород.

Диабазы - зеленовато-серые среднезернистые породы офитовой структуры. Минералогический состав: лабрадор, обычно альбитизированный, авгит, рудный минерал, апатит. Вторичные минералы - хлорит, карбонат.

Диабазовые порфиры отличаются от диабазов порфировой структурой. Вкрапленники представлены альбитом и пироксеном. Кварцевые диабазы характеризуются присутствием кварца в количестве 5-6%. Задокументированы разности с примесью анальцима (до 10%).

Долериты макроскопически неотличимы от диабазов. Структура пород долеритовая; они состоят из лабрадора, авгита, кварца и калинатрового полевого шата, находящихся в микролегматитовом срастании, магнетита и апатита. В незначительном количестве присутствуют вторичные минералы - хлорит, пеллит.

В контактах с интрузивными залежами и дайками алевролиты превращены на ширину 0,1-3 м в плотные слегка осветленные роговики.

Дашиты (ζN_1) слагают субвуликанические тела в юго-восточной части изученной территории, прорывающие и метаморфизующие породы нижнепахчинской подсвиты. Форма тел в плане овальная или удлиненная. Контакты их с вмещающими породами рвущие или согласные; в последнем случае тела приобретают форму пластовых залежей.

Дашиты представляют собой светло-серые, пепельно-серые порфирные породы. Вкрапленники: андезин, пироксен, редко - роговая обманка, кварц. Основная масса имеет микролегматитовую, участками микропойкилитовую, редко микрофельзитовую, структуру и состоит из плагиоклаза, кварца, калинатрового полевого шата. Аксессорные минералы - апатит, циркон, рудный; вторичные - хлорит, амидот.

По химическому анализу (см.табл.3) обр.646-а стоит ближе всего к трахиципаритам, обр.691-а - к щелочным гранитам с преобладанием натрия над калием, обр.772 соответствует гранодиориту.

ПЛИОЦЕННЫЕ ИНТРУЗИИ

Интрузии этой группы слагают пластовые залежи и крутопадающие дайки мощностью 1-5 м, протяженностью от 200 м до 1,5 км и представлены кринанитами андезитами и базальтами.

Кринаниты (ϵN_2) слагают пластовую залежь мощностью 300 м, протяженностью 1,6 км среди эфузивов корфовской свиты в районе г.Кутую. Они представляют собой темно-серые с зеленоватым оттенком породы офитовой, участками пойкилоофитовой структуры. Мине-

рологический состав: лабрадор (45-50%), титанистый авгит (15-20%), оливин (10-15%), анальцим (10%), цеолит, эгирин-авгит, рудный; вторичные - илдингсит.

Андезиты (αN_2), базальты (βN_2) слагают дайки, прорывающие все дочернетвертичные образования, в том числе эфузивы корфовской свиты; часть даек представляет собой подводящие каналы к покровам эфузивов. По составу и структуре они идентичны покровам корфовской свиты.

По данным химического анализа (см.табл.3) породы близки к среднему типу соответствующих пород, по Дэли, отличаясь меньшим содержанием кремнезема и повышенным содержанием кальция.

Контактовое воздействие даек улавливается с трудом и выражается в слабом ороговиковании пород.

Плиоценовый возраст даек устанавливается на основании того, что они прорывают эфузивы корфовской свиты. Абсолютный возраст, определенный по одной пробе андезита, выражается цифрами 7-16 млн. лет (см.табл.4, проба II).

Гидротермальные жилы и гидротермально измененные породы

Наиболее широким развитием среди продуктов гидротермальной деятельности пользуются окварцованные и пиритизированные породы. Они образуют зоны мощностью от первых десятков сантиметров до 150-200 м, протяженностью от 5-10 до 300-400 м в эфузивах вочвинской и говенской свит и терригенных породах ильинской серии. Особенно многочисленны такие зоны на контактах Майнханвайямского, Тейнунгейвайямского и Атальвайямского штоков сложного состава с вмещающими породами.

Кварцевые, кварцево-баритовые и баритовые жилы известны в центральной части района. Они связаны с гидротермальной деятельностью миоценовых интрузий. Мощность жил 0,1-15 м, протяженность от 50 до 1,5 км. С ними связано полиметаллическое оруденение, золото, магнетитовые руды.

Карбонатные жилы развиты незначительно в юго-западной части района, имеют мощность 0,1-0,3 м, протяженность до 70 м и сопровождаются ртутным оруденением.



Рис.2. Тектоническая схема.

Нижний структурный ярус ($K_2 - N_1$): I - первый подъярус, кремнисто-вулканогенная формация; 2 - второй подъярус: а - терригенная формация, б - вулканогенно-терригенная формация; верхний структурный ярус ($N_1 - Q_1$): 3 - первый подъярус, вулканогенная формация; 4 - второй подъярус, рыхлые четвертичные отложения; интрузивные образо-

ТЕКТОНИКА

Территория листа Р-59-ХХУ, ХХI входит в состав Олюторского прогиба Корякско-Камчатской складчатой области.

Развитие в районе верхнемеловые, палеогеновые и неогеновые вулканогенно-кремнистые, вулканогенные и терригенные отложения накапливались в условиях интенсивного проявления подводного вулканализма и составляют нижний структурный ярус. Вулканогенные породы позднемиоценового возраста, перекрывающие их с резким угловым несогласием, и рыхлые четвертичные образования объединены в верхний структурный ярус (рис.2).

В пределах нижнего яруса выделяются два подъяруса, характеризующие различные этапы становления геосинклинального прогиба. Первый подъярус образован кремнисто-вулканогенными породами именитавийской, ивтыгинской и воччинской свит верхнемелового-палеоценового возраста, второй - вулканогенно-терригенными образованиями иночевильской, говенской свит, ильпинской серии и пахачинской свит верхнепалеоценового-верхнемиоценового возраста. В целом для яруса характерны сложные, иногда брахиформные складки, довольно интенсивное проявление разрывных нарушений.

Верхний структурный ярус подразделяется на два подъяруса. Первый подъярус сформирован вулканогенными породами корфовской свиты верхнемиоценового-пиоценового возраста, второй - рыхлыми четвертичными отложениями. Образования яруса характеризуются слабой дислокированностью, не затронуты разрывными нарушениями.

Символы в скобках на схеме: 5 - олигоценовые; 6 - миоценовые; оси: 7 - антиклиналий (уголение линии означает воздымание шарнира); 8 - синклиналий (уголение линии означает погружение шарнира); 9 - взбросо-нальвиги с указанием падения плоскости сместителя; 10 - разрывные нарушения; тектонические нарушения, предполагаемые по геофизическим данным: II - по гравитационным ступеням; 12 - по деформациям изолиний силы тяжести; границы: 13 - структурных ярусов; 14 - структурных подъярусов; 15 - формаций; тектонические элементы: антиклиниории - Шылгинский (II); синклиниории - Тылговаяйский (I), Пахачинский (III); впадины - Пылговаяйская (IV), Имкинская (V), Усть-Пахачинская (VI); Алуко-кское вулканическое плато (AII); взбросо-нальвиги: Навайенский (H), Имлукский (I); интрузивные массивы: Иайнханваильский (A), Тейнунгейваильский (B), Атальваильский (B). Цифры в кружках на схеме показывают номера складок, описываемых в объяснительной записке

Нижний структурный ярус

Отложениями яруса сформированы Пылгинский антиклинарий, Тылговаймский и Пахачинский синклинарии.

Пылгинский антиклинарий – наиболее крупный тектонический элемент Олоторского прогиба. Общая его протяженность более 200 км, ширина 60–70 км. С севера он ограничен Тылговаймским, с юга – Пахачинским синклинариями. В пределах рассматриваемой территории антиклинарий Тылговаймской межгорной впадины разделяется на две части – северную и южную. Южная часть пространственно приурочена к Пылгинским горам, северная – к горам Хакинан.

Антиклинарий сложен в основном вулканогенно-кремнистыми и вулканогенными образованиями верхнемелового-палеоценового возраста, прорванными интрузиями гранитоидов; характеризуется развитием сложных складок и разрывных нарушений. Наиболее крупными структурными элементами антиклинария являются антиклинали Ключевая, Увтучунская, Северная, Еилагелинская, синклиналь Центральная.

Ключевая антиклиналь (4) прослеживается в северо-восточном направлении ($20\text{--}25^\circ$) от верховьев Емета к верхнему течению Майнханваяма и сложена образованиями воччинской свиты. В верховых Импуки шириной складки испытывает резкое погружение, вследствие чего антиклиналь расчленяется на две части. Южная часть имеет форму почти правильного купола с очень крутым ($60\text{--}80^\circ$), нередко опрокинутым залеганием слоев. Северная часть представляет собой линейную асимметричную складку с опрокинутым северо-западным и сравнительно пологим ($30\text{--}40^\circ$) юго-восточным крылом.

Увтучунская антиклиналь (6) имеет в плане серпообразную форму, прослеживаясь от левобережья среднего течения Емета до среднего течения Майнханваяма. Она сломана также образованиями воччинской свиты. Ширина складки 5–6 км, длина 25–30 км. Углы падения пород на северо-западном крыле $50\text{--}60^\circ$, юго-восточное крыло на всем протяжении сорвано Импукским взбросо-надвигом, опрокинуто под углами $60\text{--}70^\circ$, иногда лежачее. В районе высоты с отметкой 801,8 м (левобережье Емета) устанавливается юго-западное периклинальное замыкание складки, где углы падения пород составляют $45\text{--}60^\circ$. На северо-востоке антиклиналь обрывается Тылговаймской впадиной.

Ключевая и Увтучунская антиклинали сочленяются между собой Центральной синклиналью (5). Она представляет собой линейную

асимметричную складку северо-восточного простирания шириной 2–4 км, длиной 15 км. Углы падения пород на юго-восточном крыле $50\text{--}60^\circ$. Строение северо-западного крыла сложное. В междуречье Импуки – Майнханваяма углы падения пород $10\text{--}20^\circ$, в междуречье Импуки – Емета нередко опрокиннутое залегание пород к северо-западу под углами $60\text{--}80^\circ$.

Северная антиклиналь (9) прослеживается в северо-восточном направлении от нижнего течения руч. Кривой Имки до верховьев руч. Большого Атала. Ядерная часть ее сложена образованиями воччинской свиты, крылья – породами говенской свиты и ильпинской серии. Ширина складки 3–5 км, протяженность 17–18 км. Углы падения пород на крыльях и в ядерной части $30\text{--}80^\circ$. Южное периклинальное замыкание антиклинали, осложненное мелкими тектоническими нарушениями, устанавливается вблизи устья руч. Кривой Имки; северное окончание складки перекрыто образованиями верхнего яруса.

Еилагелинская антиклиналь (13) прослеживается в междуречье Имки – Пахачи. Она представляет собой асимметричную коробчатую складку длиной 20 км, шириной 4–5 км, сложенную образованиями воччинской, говенской свиты и ильпинской серии. Юго-восточное крыло пологое ($10\text{--}20^\circ$), северо-западное более крутое ($30\text{--}60^\circ$) и осложнено серией разрывов. Еилагелинская и Северная антиклинали разделяются неглубокой асимметричной синклиналью (12), к ядерной части которой приурочена долина Имки на участке от устья руч. Кривой Имки до устья руч. Ожидание. Она сложена отложениями ильпинской серии и говенской свиты.

В северо-западной части территории (горы Хакинан) выделяются Иштыгинская и Лыгунская антиклинали. Они, как показывают геофизические данные, составляют северную ветвь Пылгинского антиклинария.

Иштыгинская антиклиналь (2) пространственно приурочена к бассейну верхнего течения Тавыаяма. Ядро антиклинали сложено образованиями верхнего мела, крылья – породами палеогена. Ширина складки 9–12 км, ось ее ориентирована в северо-восточном направлении $40\text{--}45^\circ$. Углы падения пород на северо-западном крыле $25\text{--}40^\circ$, на юго-восточном – $15\text{--}20^\circ$, к ядру залегание пород выполняется до горизонтального. На периклинальном замыкании антиклинали, на правобережье верхнего течения руч. Лыгуны наныпываяма, наклон слоев измеряется $10\text{--}20^\circ$.

Лыгунская антиклиналь (3) охватывает правобережье верхнего течения руч. Лыгуны наныпываяма. Она представляет собой линейную асимметричную складку северо-восточного простирания, сложенную

отложениями ивтыгинской свиты. Северо-западное крыло крутые – углы падения пород 30–75°. В ядре складки породы залегают горизонтально, на юго-восточном крыле они наклонены под углами 16–30°. В северо-восточном и юго-западном направлениях шарнир складки полого погружается с выполаживанием залегания пород на периклинальных замыканиях складки до 15–20°.

В бассейне верхнего течения ручьев Бол. и Мал. Ияваяма отложены, слагающие антиклиниорий, несогласно перекрыты эффузивами корфовской свиты. Вследствие этого тектоническое строение антиклиниория здесь не расшифровано. Можно лишь отметить увеличение степени дислокированности пород – углы падения достигают 50–65°.

По геофизическим данным рассмотренные структуры Пылгинского антиклиниория расположены в пределах Карагинско-Пахачинской аномальной магнитной зоны [12], представляющей собой полосу интенсивных положительных магнитных аномалий. Одна из аномалий интенсивностью 1–2 мЭ совпадает с ядерными частями Ивтыгинской и Лыгунской антиклиналей (рис.3). Смежная к юго-востоку положительная аномалия интенсивностью 1–4 мЭ приурочена к сочленению гор Хахинан с Пылговаямской впадиной и контакту эффузивов корфовской свиты с нижележащими образованиями. Две аномалии интенсивностью 2–4 мЭ отмечаются по границе Пылгинского антиклиниория и Пахачинского синклиниория. Две другие аномалии северо-западной ориентировки (от верховьев руч. Аичгина/явайма к верховым Майнханяма и от верховьев Ймки к г. Увтучун) имеют, очевидно, двойственную природу – вызваны вулканогенными породами вочвинской и говенской свит и покровными эффузивами корфовской свиты, частично перекрытыми четвертичными рыхлыми отложениями.

По данным гравиметрической съемки [14] Пылгинский антиклиниорий располагается в пределах Пылгинской аномальной гравиметрической зоны, разделяющейся в районе оз. Потат-Гытхан (юго-западнее исследованной территории) на аномалию Пылгинских гор и аномалию гор Хахинан. Аномалии силы тяжести вытянуты в северо-восточном направлении и подчеркивают основные структурные элементы антиклиниория.

Пылговаямский синклиниорий протягивается в северо-восточном направлении от п-ова Ильпинекого до верхнего течения Пахачи. На рассматриваемой территории расположена небольшая часть юго-восточного крыла синклиниория, сложенная терригенными породами ильпинской серии. Здесь прослеживается синклинальная складка (I) северо-восточного простирания с размахом крыльев 4–5 км. Углы

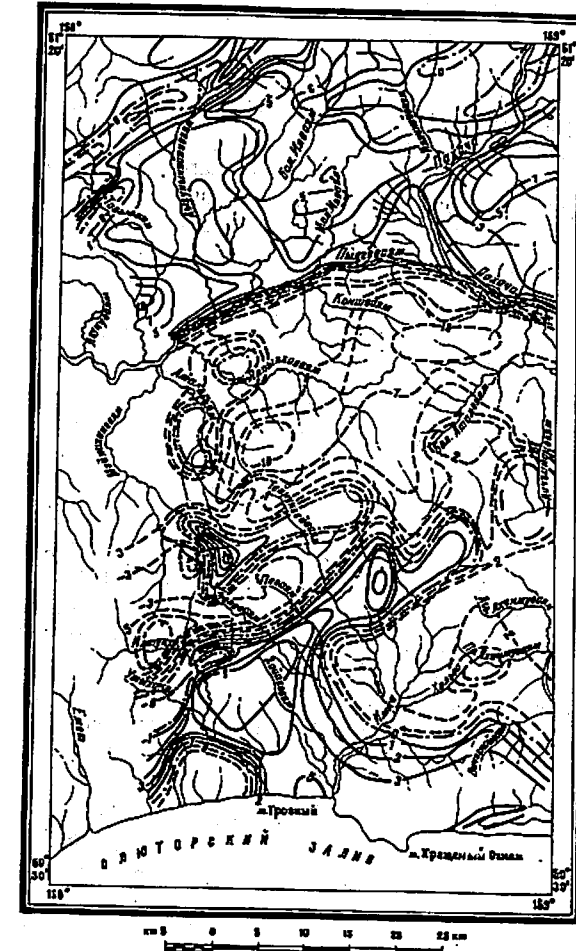


Рис.3. Карта магнитного поля

Изолинии (ΔT) в мЭ: 1 – положительные;
2 – отрицательные; 3 – нулевые

падения пород на северо-западном крыле складки $30-35^{\circ}$, на юго-восточном – $30-60^{\circ}$, на отдельных участках породы залегают горизонтально.

Пахачинский синклиниорий протягивается вдоль побережья Олюторского залива, охватывая юго-восточные склоны Пылгинских гор. В его строении принимают участие преимущественно терригенные образования ильинской серии и пахачинской свиты. Основными структурами синклиниория в пределах описываемой территории являются Паваямская антиклиналь, Имшукская и Аичгинайская синклинали.

Имшукская синклиналь (7) прослеживается вдоль юго-восточных склонов Пылгинских гор в северо-восточном направлении от р. Емета до руч. Утепаваяма. С северо-запада она ограничена Имшукским взбросо-надвигом, на юго-востоке перекрыта рыхлыми образованиями. Синклиналь выполнена породами ильинской серии и говенской свиты, имеет размах крыльев 4-5 км, протяженность $10-12$ км. Углы падения пород на крыльях и в ядерной части $60-90^{\circ}$; юго-восточное крыло на всем протяжении опрокинуто к северо-западу. Синклиналь осложнена мелкими изоклинальными складками с размахом крыльев в десятки и сотни метров.

Паваямская антиклиналь (8) прослеживается на протяжении 15-18 км в северо-восточном направлении от руч. Хайпаваяма до р. Тейнунгейвайма. Ширина складки 3-4 км, углы падения пород на северо-западном крыле $30-50^{\circ}$, на юго-восточном $10-30^{\circ}$. Оба крыла осложнены мелкой складчатостью и различно ориентированными мелкими разрывными нарушениями. В междуречье Тейнунгейвайма – Имки устанавливается северо-восточное периклинальное замыкание антиклинали, где породы наклонены под углами $10-20^{\circ}$. Юго-западное окончание складки перекрыто рыхлыми верхнечетвертичными образованиями.

В северо-восточном направлении Паваямская антиклиналь ограничивается синклинальной складкой (II), отделяющей ее от описанной в пределах Пылгинского антиклиниория Северной антиклинали. Синклиналь выполнена отложениями ильинской серии; углы падения на крыльях $15-50^{\circ}$.

Аичгинайская синклиналь (10) охватывает бассейн руч. Аичгинайвайма. Ядерная часть ее сложена образованиями пахачинской свиты, крылья – породами ильинской серии. На площасти листа устанавливаются только западное центроклинальное замыкание складки и часть ядра. Углы падения пород в ядерной части близки к горизонтальным, на крыльях измеряются в $40-70^{\circ}$.

В междуречье Имки-Пахачи от руч. Лев. Жихимуваяма до северных склонов гряды Туманной породы моноклинально наклонены на юг-юго-восток под углами $6-60^{\circ}$. Отмечается общее увеличение степени дислокированности пород в юго-восточном направлении снизу вверх по разрезу.

Пахачинский синклиниорий в целом характеризуется отрицательным магнитным полем интенсивностью $I-2$ мЭ.

Небольшая положительная аномалия интенсивностью I мЭ прослеживающаяся в северо-восточном направлении от устья Тейнунгейвайма к устью руч. Лев. Жихимуваяма, связана с тубами основного состава, имеющими здесь большое развитие в составе ильинской серии. Аналогичная аномалия приурочена к гряде Калинай, сложенной мощной линзой вулканогенных пород.

Гравитационное поле синклиниория в целом несколько ниже тектового Пылгинского антиклиниория [14]. Выделяющаяся здесь Имкинская положительная аномалия, проходящая через ядерную часть Билателинской антиклинали и далее на юго-запад к нижнему течению Имки, связана с образованиями ильинской серии и говенской свиты, имеющими по отношению к отложениям пахачинской свиты избыточную плотность ($0,15-0,2$ г/см 3).

Верхний структурный ярус

Основными структурными элементами яруса являются Апукское вулканическое плато, Пылговаямская, Имкинская и Усть-Пахачинская впадины.

Апукское вулканическое плато образовано эфузивами основного и среднего состава корфовской свиты. Породы свиты, развитые на северных склонах Пылгинских гор и в горах Хахинан, дислокациями не затронуты. Залегают они в виде субгоризонтальных покровов. Общий их слабый наклон ($5-10^{\circ}$) в сторону Пылговаямской впадины определяется наклоном поверхности, на которую они изливались.

На юго-востоке района, в пределах гряды Туманной, корфовская свита моноклинально наклонена на юго-восток ($160-180^{\circ}$) под углами $15-60^{\circ}$, слагая узкую (до 5 км) полосу длиной 25 км и прослеживающуюся далее на северо-восток за пределы района.

Эфузивы корфовской свиты характеризуются узкими положительными и отрицательными магнитными аномалиями интенсивностью до ± 1500 гамм [12]. Смешанный состав вулканогенной толщи и

залегание ее в виде субгоризонтальных покровов, рассеченные глубокими речными долинами, определяют сложный изометрический характер магнитного поля. По данным гравиметрической съемки [14] плато расположено в пределах Олоторской аномальной положительной зоны силы тяжести.

Пылгоямская впадина шириной 15–30 км прослеживается в субширотном направлении вдоль долины Пылгояма. Она выполнена горизонтально залегающими рыхлыми древне-верхнечетвертичными и современными отложениями различного генезиса. Впадина расположена в пределах Карагинско-Пахачинской аномальной магнитной зоны [12]. Здесь установлена группа широких несколько вытянутых в длину магнитных аномалий интенсивностью 800–1000 гамм [23]. Они лишь отчасти захватывают участки, где на поверхности залегают вулканогенные образования корфовской свиты и поэтому не могут быть связаны с последними. Природа аномалий не ясна, возмущающие объекты скрыты под покровом рыхлых и вулканогенных пород.

По данным гравиметрической съемки [14] в долине Пылгояма располагается Пылгоямский минимум силы тяжести, обусловленный погружением толщи палеогена и неогена на значительную глубину. По мнению исследователей, глубина их залегания около 1200 м.

Имкинская и Усть-Пахачинская впадины расположены вдоль побережья Олоторского залива. Выполнены они современными и верхнечетвертичными рыхлыми отложениями, залегающими горизонтально.

По геофизическим данным [12] в акватории Олоторского залива выделяется полоса магнитных аномалий широтного простирания, связанная с Усть-Апукским разломом, характеризующимся широкой зоной магматической деятельности.

Разрывные нарушения

Разрывные нарушения на исследованной территории пользуются довольно широким развитием. По отношению к складчатым структурам они могут быть разделены на продольные и секущие. Продольные нарушения почти согласны с простиранием складчатых структур. Среди них встречаются сбросы и взбросо-надвиги. Эти разрывные нарушения соприкашены с формированием структур района и по отношению к другим разрывам являются более древними. Наиболее крупные из них Навайенский и Импукский взбросо-надвиги.

Навайенский взбросо-надвиг установлен З.А.Абдрахимовым и С.Л.Мельниковой [10] на смежной территории. На площади листа

устанавливается его северо-восточное окончание. Он приурочен к контакту кремнисто-вулканогенных пород вочвинской свиты с терригенными отложениями ильинской серии и может быть отнесен к категориям межформационных срывов. Падение плоскости взбросо-надвига западное под углами 60–80°. Вдоль нарушения породы раздроблены, рассланцованны, участками лимонитизированы, окваркованы. По данным З.А.Абдрахимова и С.Л.Мельниковой, амплитуда взбросо-надвига достигает 500–700 м.

Импукский взбросо-надвиг приурочен к контакту кремнисто-вулканогенных пород вочвинской свиты с пирокластическими образованиями говенской свиты и терригенными отложениями ильинской серии и также относится к категории межформационных срывов. В плане он имеет дугообразную форму, прослеживаясь в северо-восточном направлении от западной рамки листа к высоте с отметкой 919,5 м и далее на северо-запад параллельно р.Майнханвайму. На северо-западе взбросо-надвиг скрыт рыхлыми древнечетвертичными образованиями, на юго-западе прослеживается на территорию смежного листа до бухты Сомнения [10].

Падение плоскости взброса направлено, как правило, в сторону падения пород ильинской серии и говенской свиты под углами 30–70°, в верховых Утепавайма и Навайма – вертикальное. Вдоль нарушения породы интенсивно дислоцированы, раздроблены, участками окваркованы, преинитизированы, карбонатизированы. В междууречье Хайнамята – Импуки вулканогенные образования вочвинской свиты приведены в соприкосновение с различными горизонтами пачки аргиллитов, залегающей в средней части говенской свиты. Мощность пачки аргиллитов в верховых руч.Хайнамята более 300 м. В северо-восточном направлении видимая мощность пачки аргиллитов постепенно уменьшается, и на восточном склоне г.Скалистой (междууречье Утыханява – Импуки) вочвинская свита залегает уже на пачке туфобрекций, залегающей ниже по разрезу говенской свиты. Вдоль взбросо-надвига спилиты интенсивно раздроблены, местами превращены в катаклазиты, несут следу многочисленных скольжений. Залегающие среди них маломощные пачки кремнистых алевролитов смыты в сложные дисгармоничные складки, осложненные мелкими разрывами. Пачка аргиллитов вдоль контакта интенсивно деформирована, породы перетерты до состояния мелкой крошки, местами сильно преинитизированы на мощность 40–60 м. Общая ширина интенсивно нарушенных пород достигает 1–1,5 км.

На левом склоне долины руч.Утыханява на северо-западном

крыле Увтучунской антиклинали наблюдался разрез вочвинской свиты мощностью 1300-1400 м. Юго-восточное крыло антиклинали опрокинуто к северо-западу под углом 55-60°, наблюдаемая мощность свиты здесь 200-250 м. Остальная часть свиты разрезана взбросо-надвигом.

На левобережье Емета на юго-западном склоне высоты с отметкой 807 м на протяжении более 1 км наблюдается срезание голов пластов взбросо-надвигом.

На правобережье Емета, сложенном монотонными алевролитами ильинской серии, взбросо-надвиг фиксируется менее отчетливо. На местности он выражен глубокими сквозными долинами, интенсивным окислением и окварцеванием пород. Амплитуда взбросо-надвига, судя по выпадению почти полного разреза вочвинской свиты, составляет не менее 1500 м.

Кроме вышеописанных, отмечен ряд более мелких продольных разрывных нарушений, к одному из которых, прослеживающемуся вдоль юго-восточных склонов Пылгинских гор от руч. Хайпаваяма до р. Тейнунгейвайма, приурочена интрузия диорит-порфиритов г. Отдельный Конус. С разломом в верховых руч. Хайнамята связано ртутное оруденение. Падение нарушений, как правило, круглое (80-90°), гипротермальная деятельность вдоль них проявлена слабо.

Секущие разрывные нарушения, по времени формирования более поздние, чем вышеописанные, развиты незначительно и представляют собой вертикальные сбросо-сдвиги, иногда со значительной (до 1 км) амплитудой горизонтального смещения. Особенно многочислены мелкие разрывные нарушения у контактов интрузивов гранитоидов с вмещающими породами. Все они сопровождаются интенсивной сульфидацией, к ним приурочено полиметаллическое оруденение.

По данным аэромагнитной съемки [12], Карагинско-Пахачинская зона интенсивных магнитных аномалий вызвана активной деятельностью крупных разломов северо-восточного простирания: Карагинско-Пахачинского и Пылгинского, которые представляют собой отдельные элементы Карагинско-Пахачинского глубинного разлома. Карагинско-Пахачинский разлом совпадает с положительными аномалиями силы тяжести.

История геологического развития района может быть представлена в следующем виде.

В позднемеловую эпоху и палеогеновый период район представлял собой морской бассейн геосинклинального типа. Характер от-

ложений позволяет отнести его к геосинклиналям первого типа [9] или к эвгесинклиналям по М.Кю [5]. Интенсивное проявление подводного вулканизма связано с активной деятельностью глубинных разломов. В горах Халинах в маастрихт-латское время происходило накопление отложений вулканогенно-кремнистой формации, в нижнепалеоценовое время сменившееся постепенно отложением пород вулканогенно-обломочной формации. Со второй половины позднепалеоценовой эпохи в спокойной тектонической обстановке здесь началось накопление тонкообломочных пород иночвиаваймской свиты и ильинской серии.

История развития Пылгинских гор может быть восстановлена только с палеоценового времени, когда, очевидно, вдоль Карагинско-Пахачинского разлома происходило интенсивное подводное излияние лав вочвинской свиты (накопление отложений кремнисто-вулканогенной формации), постепенно сменившееся формированием отложений вулканогенно-обломочной формации. На удалении от разлома накапливались тонкообломочные терригенные породы. Прекращение подводного вулканизма приходится на нижний миоцен, хотя отдельные его вспышки фиксируются в среднем миоцене.

В результате инверсии к середине миоцена отмечается значительное обмеление морского бассейна, в среднем и позднем миоцене идет накопление молассовых отложений пахачинской свиты. К этому времени следует отнести окончательное превращение геосинклинальной области в складчатую. К концу доинверсионного периода приурочено внедрение интрузивов основного и среднего состава.

Присутствие на склонах Пылговаймской впадины осадочных с морской фауной плиоценового возраста отложений свидетельствует о том, что на отдельных участках района морской режим сохранился до позднего плиоцена, хотя к этому времени территория в целом вступает в горообразовательную стадию орогенного развития. В начальные ее этапы (этапы глыбового поднятия) были сформированы горные цепи - горы Пылгинские и Халинах, расчлененные Пылговаймской впадиной. Последняя представляла собой, очевидно, полузамкнутый морской бассейн, узким проливом по долине Пахачи соединяющийся с морем.

Возникновение впадин, ограниченной крупными разрывами, сопровождалось сильной вспышкой вулканической деятельности с излиянием покровных аффузивов корфовской свиты. По всей вероятности, окончательное формирование впадины относится к концу

плиоцена, после излияния эфузивов корфовской свиты. По всей вероятности, окончательное формированием впадины относится к концу плиоцена, после излияния эфузивов корфовской свиты. Об этом свидетельствует факт их нахождения: в глубоких эрозионных окнах в центральной части впадины. К началу четвертичного периода последняя представляла собой обширный замкнутый бассейн озерного типа с низким температурным режимом. К концу накопления озерных осадков проявился первый этап ледниковой деятельности, носивший, очевидно, покровный или полупокровный характер.

Достоверных данных о палеогеографических условиях района в среднечетвертичное время нет. По всей вероятности, в это время существовал стабильный режим эрозии и денудации.

В позднечетвертичное время имела место значительная регрессия моря, сопровождавшаяся похолоданием климата, что привело к проявлению второго этапа ледниковой деятельности, носившей горнодолинный характер, возникновению морских террас. С этих пор происходят лишь незначительные колебания базиса эрозии, приведшие к образованию невысоких речных террас.

Сведений о сейсмичности района не имеется.

ГЕОМОРОФОЛОГИЯ

Рельеф исследованной территории определяется особенностями ее геотектонического строения и проявлением денудационных процессов, из которых значительную роль играла эрозионная деятельность.

На территории выделяются четыре генетических типа рельефа: эрозионно-денудационный, эрозионно-аккумулятивный, абразионно-аккумулятивный, ледниковый (рис.4).

Рельеф эрозионно-денудационного происхождения, характеризующий горные возвышенности, имеет преобладающее развитие в районе. По морфологическим особенностям он подразделяется на среднегорье глубоко расчлененное с альпинотипными формами, среднегорье глубоко расчлененное с узкими и широкими водоразделами, вулканогенное плато со ступенчатыми склонами, низкогорье с широкими водоразделами и плоскими вершинами.

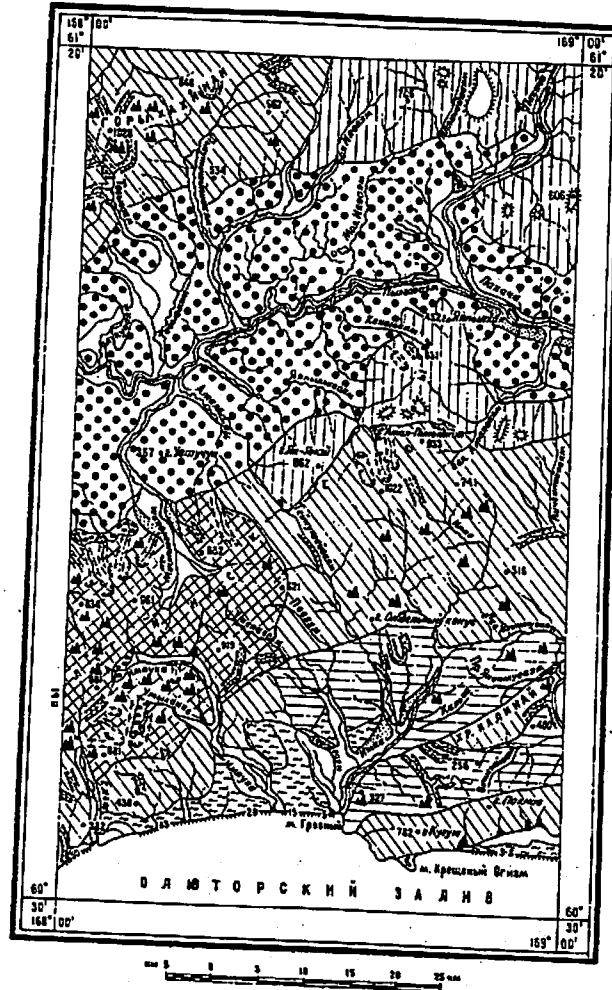
Среднегорье глубоко расчлененное с альпинотипными формами характеризует западную часть Пылгинских гор, где наибольшее развитие имеют палеоценовые (?) кремнисто-вулканогенные образования воччинской свиты. Для данного типа рельефа характерны остроскаль-

ные гребни водоразделов, крутые ($30-50^{\circ}$) склоны, испытавшие ледниковую обработку. Долины водотоков каньонообразные и троговые, в их верховьях располагаются цирки, часто сближенные, достигающие в поперечнике 2 км. Скалистые стены высотой 200-400 м окружают широкие вогнутые днища цирков; по днищам цирков расположаются скопления фирна, снежники, озера. Абсолютные и относительные отметки почти не отличаются друг от друга и составляют 400-900 м.

Среднегорье глубоко расчлененное с узкими и широкими водоразделами развито в центральной и восточной частях Пылгинских гор и западной части гор Хахинан. Оно приурочено в основном к площадям развития вулканогенных образований говенской свиты и туфогенно-осадочным отложениям ивтыгинской свиты. На этих участках района преобладают широкие водоразделы с крутыми ($20-40^{\circ}$) выпуклыми склонами, в нижней части повсеместно покрыты делювиальными осипами. Устойчивые к выветриванию потоки лав, пачки кремнистых пород выражены в рельефе в виде грибов и останцов. Долины водотоков ящикообразные, реже V-образные. Абсолютные отметки вершин составляют 400-1000 м.

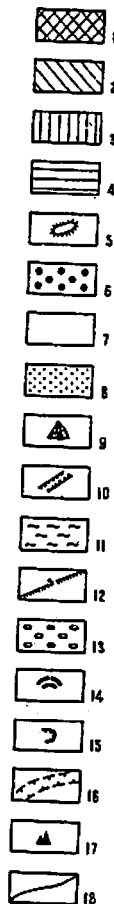
Несколько отличный облик имеет гряда Туманная, расположенная в юго-восточной части района. Сложенена она неравномерно чередующимися эфузивами среднего состава и туфами и туфобрекциями корфовской свиты, моноклинально наклоненными на юг-юго-восток под углами $20-50^{\circ}$. Северный склон гряды, обнажающий головы пластов, крутой ($40-60^{\circ}$), иногда обрывистый; поперечный профиль его ступенчатый, обусловленный чередованием пластов различной денудационной устойчивости. Южный склон более пологий ($20-30^{\circ}$), частично бронирован одним пластом.

Вулканогенное плато со ступенчатыми склонами развито в северо-восточных частях гор Пылгинских и Хахинан на эфузивах корфовской свиты. Характерными чертами данного рельефа являются ступенчатый профиль склонов и плоские, нередко платообразные, водоразделы. Протяженность водоразделов 5-12 км, ширина 0,5-2 км (левобережье руч. Илпинайская). Нередко на поверхности плоских водоразделов выделяются конусовидные вершины высотой 20-30 м (горы Яяпильхан, Илпинай, Ин-янай и др.). В верхних частях склонов часто наблюдаются уступы высотой от 5 до 30 м, фиксирующие краевые части отдельных лавовых потоков. Долины водотоков корытообразные. Абсолютные отметки составляют 400-850 м при относительных превышениях над днищами долин 150-600 м.



4. Геоморфологическая схема

Эрозионно-денудационный рельеф: I - среднегорье глубоко расчлененное с альпинотипными формами; 2 - среднегорье глубоко расчлененное с узкими и широкими водоразделами; 3 - вулканогенное плато со ступенчатыми склонами; 4 - низкогорье с широкими водоразделами и плоскими вершинами; Формы рельефа: 5 - столовые возвышенности;



Низкогорье с широкими водоразделами и плоскими вершинами развито вдоль южных склонов Пылгинских гор и приурочено к участкам развития терригенных пород ильпинской серии. Абсолютные отметки его не превышают 400 м, относительные превышения - 50-300 м. Данный рельеф представляет собой мелкосопочник, интенсивно расчлененный эрозионной деятельностью водотоков. Долины симметричные узкие (100-400 м) ящкообразные.

Эрозионно-аккумулятивный рельеф развит в Пылговаямской впадине и приурочен к площади развития озерных отложений. Абсолютные отметки впадины 150-300 м, относительные превышения 20-100 м. Она представляет собой всхолмленную заболоченную равнину, слабо изрезанную водотоками, с большим количеством озер. Долины мелких водотоков V-образные симметричные. Крупные водотоки (реки Пылговаям, Тавывайм, Бол. Иявайм и др.) имеют ящкообразные долины шириной от 200 м до 2 км с крутыми (нередко обрывистыми) склонами. В строении долин принимают участие террасы трех уровней: первого - 0,5-1 м (пойма), второго - 2-3 м и третьего - 5-6 м. Ширина поймы 200-800 м, в редких случаях достигает 2 км (реки Пахача, Тавывайм). Надпойменные террасы, обычно аккумулятивные, сохранились участками протяженностью от 50-100 м до 5-10 км (реки Пахача, Пылговаям) при ширине от 10 м до 1,5 км (р.Пахача). Поверхности террас обычно ровные, плавно повышаются к коренному склону.

Абрационно-аккумулятивный рельеф характеризует южную прибрежную часть района. Протяженность береговой линии в пределах территории листа составляет 60 км, направление ее почти совпадает с простиранием основных тектонических структур. Выделяются два типа берега - абрационный и аккумулятивный. Берег первого типа представлен обрывами склонов водоразделов высотой от 10 до 400 м и древней морской террасой. Она прослеживается от устья руч. Аркового до устья Имжи. В западной части высота террасы 50 м, к востоку постепенно снижается до 5 м. На участке между руч. Ар-

эрозионно-аккумулятивный рельеф: 6 - слабо расчлененная равнина; Формы рельефа: 7 - поймы; 8 - надпойменные террасы; 9 - конусы выноса; 10 - каньоны, абрационно-аккумулятивный рельеф: 11 - прибрежно-морская равнина; формы рельефа: 12 - бровки морских террас и их высота в метрах; ледниковый рельеф: 13 - холмисто-моренный рельеф; формы рельефа: 14 - конечные морены; 15 - цирки; 16 - троговые долины; прочие условные обозначения: 17 - останцы; 18 - геоморфологические границы

ковым и р.Еметом терраса цокольная, на остальном протяжении аккумулятивная. Ширина ее колеблется от 200-300 м вблизи устья руч.Аркового до 10 км в нижнем течении Имки. Поверхность террасы ровная плоская, на отдельных участках слабо всхолмленная. Сочленение ее с коренным склоном обычно плавное, иногда терраса прикрепляется к низкогорью через уступ, являющийся, очевидно, реликом древнего клифа.

К аккумулятивному типу берега относятся морские косы, береговые валы. Морская коса прослеживается от устья Емета до мыса Грозного и в приустьевой части Пахачи. Ширина ее колеблется от 5 до 20 м, высота не превышает 3-4 м. Поверхность ее ровная, слабо ($1-2^{\circ}$) наклонена в сторону моря. Береговые валы отмечаются у устья Емета и Импуки. Высота их 5-6 м, поверхность слабохолмистая, наклоненная в сторону гор.

Аккумулятивные формы ледникового рельефа наблюдаются в большинстве водотоков глубоко расчлененного среднегорья с альпино-типовыми формами. В пределах холмисто-моренного ландшафта холмы расположены беспорядочно, достигая высоты 20 м. Между холмами располагаются небольшие озера. Выпахивающая деятельность ледников обусловила наличие троговых долин, которые имеют типичный корытообразный профиль, иногда с хорошо выраженными плечами. К трогам сбоку прикрепляются небольшие ледниковые висячие долины, заканчивающиеся в верховых цирками.

На территории листа сохранились следы двух оледенений. Полупокровное оледенение раннечетвертичного возраста проявлено эрратическими валунами, слабо перемытыми моренами по долинам крупных водотоков (реки Пылговам, Пахача, Майниханвам и др.). Эрратические валуны представлены кремнистыми породами, гранитами.

Со вторым верхнечетвертичным оледенением связывается возникновение троговых долин, цирков и моренных образований в долинах. В Пылговамской впадине устанавливается залегание моренных образований на древнечетвертичных озерных отложениях. Современный рельеф в основных чертах был сформирован до первого оледенения, испытав в дальнейшем лишь небольшую переработку.

ПОЛЕЗНЫЕ ИСКОПАЕМЫЕ

На территории листа установлена повышенная рассеянная битуминозность пород, выявлены рудопроявления железа, меди, свинца, цинка, золота, серебра, залежи угля, шлиховые ореолы рассеянного золота и киновари. Магматические породы и четвертичные отложения могут считаться потенциальными месторождениями строительных материалов.

ГОРЮЧИЕ ИСКОПАЕМЫЕ

Нефть

Исследованную территорию можно считать потенциально нефтесной, так как по всему разрезу вулканогенно-осадочных отложений установлена повышенная битуминозность. В северной части района из меловых и палеоген-неогеновых отложений, суммарная мощность которых достигает 2800-3000 м, было исследовано 406 образцов горных пород. Во всех образцах люминесцентно-битуминологическим анализом установлено присутствие битумов нефтяного ряда, из них в 120 содержится легкий битум группы А, в 139 - маслянистый, в 72 - средний, в 72 - средний и маслянистый битумы совместно. Общей закономерностью является увеличение содержания битумов вверх по разрезу. Снизу вверх по разрезу происходит и изменение качественного состава битумов в сторону увеличения содержания в них легких маслянистых компонентов. При этом наибольшие содержания битумов отмечаются в обломочных породах - туфопесчаниках, туфах, наименьшие - в кремнистых породах (табл.5). Повышенной битуминозностью обладают породы иночихвасовской свиты и ильпинской серии, где максимальное содержание битумов достигает 0,156%, среднее - 0,04-0,08%. Закономерностей распределения содержания битумов в зависимости от структурной обстановки не отмечается.

Повышенная битуминозность горных пород установлена также в южной части района по всему разрезу осадочных отложений Пахачинского синклиниория мощность которых достигает 4500 м (рис.5).

В западной части района в бассейне Емета было исследовано 102 образца алевролитов из отложений ильпинской серии. Среднее содержание битумов по данным люминесцентно-битуминологического анализа составляет 0,01%, максимальное - 0,1%. Битумы нефтяного ряда, преимущественно осмоленные, реже смешанные (табл.6).

Таблица 5

Породы	Коли- чество анализов	Содержание битумов, %		
		мини- мальное	макси- мальное	преобла- дющее
Инетваймская свита				
Глинисто-кремнистые породы	II	0,000156	0,0025	0,000626
Кварциты	4	0,000156	0,000313	0,000313
Туфокремнистые породы	23	0,000156	0,00125	0,000626
Турфиты	2	0,000156	0,00125	0,000313
Туфы	II	0,000156	0,00125	0,000626
Туфобрекции	8	0,000156	0,00125	0,000256
Спилиты	I	0,000156	-	-
Итыгинская свита				
Глинисто-кремнистые породы	5	0,000313	0,00250	0,00125
Кварциты	6	0,000156	0,000626	0,000313
Туфокремнистые породы	18	0,000156	0,005	0,00125
Турфиты	12	0,000156	0,005	0,00125
Туфы	66	0,000156	0,01	0,000626
Туфобрекции	51	0,000156	0,005	0,000626
Лавобрекции	26	0,000156	0,000626	0,000156
Кремнистые аргиллиты	II	0,000156	0,02	0,00125
Туфопесчаники	I	0,000156	-	-
Иночиваимская свита				
Туфы	8	0,000156	0,005	0,0025
Кремнистые аргиллиты	24	0,000313	0,02	0,0025
Аргиллиты	46	0,000626	0,08	0,04
Туфопесчаники	2	0,01	0,04	0,02
Ильинская серия (Тыловаямский синклиниорий)				
Аргиллиты	60	0,02	0,156	0,08
Песчаники	7	0,000626	0,08	0,04
Туфопесчаники	3	0,04	0,156	0,04
Ильинская серия (Пахачинский синклиниорий)				
Аргиллиты	24	0,0025	0,156	0,02
Песчаники	18	0,0025	2,5	0,02
Кремнистые аргиллиты	2	0,04	0,156	0,08
Пахачинская свита				
Аргиллиты	8	0,005	0,08	0,08
Песчаники	5	0,0025	0,04	0,01



Рис.5. Битуминологическая схема

Содержание битума А (в %): I - до 0,000313%;
 2 - 0,000625-0,00125%; 3 - 0,0025-0,005%; 4 - 0,01-0,02%;
 5 - 0,04-0,08%; 6 - 0,156-0,3%; 7 - > 0,3%. Битумы:
 Л - легкий, М - маслянистый, О - осмоленный

В восточной части Пахачинского синклиниория (междуречье Имки-Пахачи) отобрано 58 проб из верхней части ильинской серии и нижней части пахачинской свиты (см.табл.5). Во всех образцах люминесцентно-битуминологическим анализом установлены битумы нефтяного ряда, из них в 28 содержится легкий битум типа А, в 16 - маслянистый, в 13 - осмоленный, в одном образце присутствует средний битум.

Таблица 6

Номер образца	Породы	Место взятия	Содержание битума, %	Компонентный состав, %		
				Масла	Смолы	Асфальтены
58I/4I	Алевролиты	р.Емет	0,08	45	46	9
58I/42	"	То же	0,08	22	58	20
58I/56	"	" "	0,08-0,1	36	55	9
58I/62	"	" "	0,08-0,1	36	50	14
58I/88	"	" "	0,09	26	40	24
I854-a	"	р.Тейнунгайвам	0,08	33,89	59,52	6,59
1927	Песчаник	р.Пахача	0,156	24,75	70,33	5,02

Общей закономерностью является уменьшение содержания битумов вверх по разрезу. По мнению В.Н.Флоровской (1957 г.), широкое распространение легкого битума типа А и высокие его содержания в соответствующих геологических условиях (сингенетичность битумов и отложений, преимущественно восстановительные условия битумонакопления, благоприятная тектоническая обстановка и др.) являются прямым поисковым признаком скопления нефти на глубине.

Коллекторские свойства пород не изучены. По данным Д.С.Несвита [4], породы олигоцена - нижнего миоценена по-ва Ильинского обладают незначительной пористостью (в среднем 8,6%), проницаемость колеблется от 0,001 до 0,8 мД.

Изученная территория охватывает лишь часть Олюторского прогиба. Однако наличие в разрезе миоценовых отложений коллекторов и экранов (мощность пахачинской свиты в Олюторском прогибе оценивается в 2200-3000 м), спокойная тектоническая обстановка, характер формаций, аналогичный таковым нефтеносных областей тихоокеанского побережья Америки, высокая рассеянная битуминозность пород свидетельствуют о нефтеперспективности исследованной площади.

Бурый уголь

Проявления бурого угля приурочены к верхней части пахачинской свиты. Угленосные отложения мощностью 100-150 м обнажаются в виде полосы шириной 100-300 м, протягивающейся в северо-восточном направлении от мыса Грозного до восточной рамки листа на протяжении 20-25 км. Совоукпность проявлений угля, приуроченных к этой полосе, известна под названием Вичигнайского месторождения. Общая площадь угленосных отложений составляет 6-7 км². В ее пределах выявлены три проявления бурого угля. В верховых руч. Вичигнайвама (У-4-4) в пачке (50 м) чередующихся (1-3 м) песчаников, гравелитов и аргиллитов (аз.пад. 160-170° /30-45°) заключены четыре пласта бурого угля мощностью 0,3; 1,5; 2,0; 1,5 м. В верховых правого притока этого ручья (У-4-3) в аналогичных отложениях залегает шесть пластов угля мощностью 0,3-2,5 м; проявление (У-4-5) представлено четырьмя пластами угля мощностью 0,1-0,6 м.

Уголь крепкий блестящий, при высыхании растрескивается и расслаивается. Как видно из данных табл.7, угли месторождения малозольные малосернистые с довольно низким выходом летучих.

Таблица 7

Номер проявления	Мощность пласта, м	W _a , %	A ^c , %	V, %	S	ккал/кг
У-4-4	1,2	11,89	12,63	47,80	0,44	6523
У-4-4	0,4	12,72	9,59	47,58	0,46	6516
У-4-4	2,5	13,90	8,53	47,35	0,19	6511

Ориентировочно запасы угля оцениваются в 6-8 млн.т. Выходы углей расположены вблизи (6-15 км) берега моря и населенных пунктов (поселки Средняя Пахача, Усть-Пахача, Алуха), что благоприятствует эксплуатации месторождения. Отрицательный фактор - невозможность добычи угля открытым способом, так как пласти угля круто падающие.

Пропластки угля мощностью 0,1-0,2 м отмечены в основании корфовской свиты по руч. Бол.Атальваму (II-4-I).

МЕТАЛЛИЧЕСКИЕ ИСКОПАЕМЫЕ

Железо

Проявления железа представлены одиночными кварц-магнетитовыми жилами (Ш-1-1, Ш-1-3), приуроченными к экзоконтактам интрузии гранодиоритов с кремнисто-нуканогенными породами в очищенной свиты, или развалами жил (Ш-2-2) среди грубообломочных туфов говенской свиты. Мощность жил 0,15-3 м, протяженность 30-40 м, содержание магнетита 30-50%, титана 0,35-0,7%. В качестве железорудного сырья проявления практического интереса не имеют.

Медь

Медь сопутствует проявлениям свинца и цинка. Содержания ее колеблются от следов до сотых долей процента. По данным химического анализа бороздовой пробы из баритовой жильи с оруденением свинца и цинка Тейнунгейваймского проявления (Ш-2-3) медь содержится в количестве 0,13%; в штучной пробе из проявления (Ш-3-6) - 0,56%.

Свинец и цинк

Рудопроявления свинца и цинка среди проявлений других иско-
паемых района пользуются наибольшим распространением. Они при-
урочены к Пылгинскому антиклиниорию и генетически, вероятно, свя-
заны с миоценовым интрузивным комплексом. Морфологически рудные
тела представлены одиночными жилами, редко - серней сближенных
параллельных жил. Мощность их колеблется от 0,1 до 15 м, протя-
женность - от 20 м до 1 км. По составу жилы преимущественно квар-
цевые, редко встречаются баритовые и кварцево-баритовые. В не-
больших количествах всегда присутствуют кальцит, хлорит, серцицит.
Главными рудными минералами являются галенит, сфалерит, второс-
тепенными - пирит, магнетит, в единичных случаях - халькопирит.
Они встречаются в жильном материале в виде неравномерных вкрап-
лений отдельных зерен размерами 1-3 мм, редко - гнезд до 3-5 см
(сфалерит и галенит) в поперечнике.

Наиболее перспективны проявления Тейнунгейваймское (Ш-2-3)
и Атальваймское (Ш-3-5).

Тейнунгейваймское проявление (Ш-2-3) представлено тремя са-

ртовыми жилами мощностью от 0,05 до 0,4 м в туфах говенской свиты. Протяженность их не выяснена. Химическим анализом двух бороздовых проб определены содержания: цинка 0,2-1,65%, свинца 0,023-0,61%, меди (в одной пробе) 0,13%, золота 0,9-8,4 г/т, серебра 14,4-22,9 г/т, следы никеля.

Атальваймское проявление (Ш-3-5) представлено кварцевой жилой мощностью 1-15 м, протяженностью 1 км с галенитом и сфалери-
том. В штучной пробе установлено содержание свинца 1,04%, цинка 2,89%, меди 0,074%, золота 1 г/т, серебра 11,6 г/т.

Химическими анализами штучных проб, отобранных из всех дру-
гих проявлений, определены содержания следующих элементов: свин-
ца 0,04-2,01%, цинка 0,14-1,0%; меди 0,016-0,13%, золота от
следов до 1,2 г/т, серебра от следов до 0,006%, кобальта от сле-
дов до 0,001%.

Незначительные содержания свинца и цинка отмечаются во всех
зонах пиритизации и окварцевания (табл.8).

Вольфрам

Единичные залежи шеелита обнаружены в аллювиальных отлож-
ениях Тейнунгейвайма и Яшылхавайма, ручьев Кривой Имки и Утеп-
вайма. Размеры зерен не превышают 1 мм. Коренные источники ше-
елита не выявлены.

Ртуть

Впервые присутствие киновари в шлаковых пробах на терри-
тории листа (в бассейнах Емета, Имки, Пылговайма) отмечено В.А.Яр-
моликом в 1952 г. [33]. В 1958 г. И.Ф.Морозом [25] было оснару-
жено повышенное содержание киновари в аллювиальных отложениях
Яшылхавайма и левых притоков руч.Бол.Атальвайма. В.М.Чередничен-
ко в 1959 г. [32] установлено повышенное содержание киновари в
аллювиальных отложениях Емета и руч.Хайнамята.

В пределах территории листа выявлены три проявления ртути в
коренном залегании и ряд шлаковых ореолов рассеяния киновари.

Проявление в верховых Яшылхавайма (Ш-3-2) представляет
собой зону брекчирования и пиритизации диабазов говенской свиты
мощностью 4,5 м. Протяженность зоны не установлена. Содержание
ртути 0,03%.

Таблица 8

Тип гидротермально измененных пород	ртуть	свинец	цинк	меди	мышьяка	никеля	Содержание, %		Содержание, г/т
							цинка	мышьяка	
Зоны кварцевания	Следы-0,01	Следы-0,037	Следы-0,05	0,01-0,02	-	Следы-0,001	0,004-0,007	0,008 (проба)	Следы-1,0
Зоны пиритизации	Следы	Следы	Следы-0,034	0,01-0,02	0,01-0,05	Следы-0,003	0,004	0,004 (проба)	Следы-1,0

84

Аталвайское проявление (Ш-3-3) расположено в верховых левого притока руч. Бол. Аталвайма. Оно представлено межпластовой зоной дробления, осцепментированной кварц-каолинитовым материалом, в пачке полосчатых яшм и мелкообломочных тuffобреекий говенской свиты. Породы падают на юго-восток (150°) под углами $25-30^{\circ}$ и несогласно перекрыты горизонтально залегающими эфузивами корровской свиты. Мощность зоны дробления около 3 м, прослеженная длина по падению 100-120 м. По данным химического анализа трех точечных проб содержание ртути колеблется в пределах 0,01-0,02%, сурьмы - 0,07-0,09%. Колупным опробованием выявлен ореол повышенных содержаний киновари в аллювиально-делювиальных отложениях, весовые содержания киновари почти совпадают с проекцией выхода зоны дробления на дневную поверхность. Предполагаемая протяженность рудного тела 600 м.

Рудопроявление ртути в верховых руч. Нетахавкинвайма (У-1-1) представлено карбонатной жилой мощностью 1,5 м, протяженностью 50 м и зоной дробления имеющейся пород (алевролитов и туфов кильчинской серии) мощность 0,4 м, протяженность 10 м. Содержание ртути по данным химического анализа шести бороздовых проб 0,01-0,02%, сурьмы 0,02-0,05%.

В приустевой части руч. Утепавайма (У-2-5) в аллювии цокольной террасы была обнаружена галька, представляющая собой текстоническую брекчию алевролитов на карбонатном цементе. Содержание ртути 0,06%, сурьмы 0,03%. Коренной источник не выявлен.

Установленные в районе шахковые ореолы рассеяния в большинстве случаев (Ш-2-1; Ш-3-8; У-2-1, У-2-3; У-1-5) характеризуются содержанием киновари в количестве единичных знаков. Вероятными источниками ее являются зоны окварцевания, содержащие по данным химического анализа ртуть в пределах сладов - 0,01% (см.табл.10).

В контуре ореола, охватывающего верхнее течение Яныхавайма и руч. Бол. Аталвайма (Ш-3-1), расположены выявленные коренные рудопроявления ртути (Ш-3-2; Ш-3-3). Повышенные содержания киновари в верховых руч. Бол. Аталвайма позволяют предполагать о еще не обнаруженных рудных телах.

Ореол, включавший бассейн Емета, ручьев Хайнамита, Нетахавкинвайма, Виткукинвайма и Утыхайла (У-1-5), характеризуется крайне неравномерным содержанием киновари в рыхлых отложениях от единичных знаков до весовых концентраций. Повышенные содержания киновари установлены в верховых ряда левых притоков Емета, в верховых руч. Нетахавкинвайма.

Сурьма

Сурьма парагенетически связана с ртутью. Содержание ее в рудопроявлениях колеблется от 0,04 до 0,09%. Кроме того, в зоне широкораспространенных алевролитов ильинской серии в верховых Емета химическим анализом штрафной пробы установлено присутствие сурьмы в количестве 0,05%.

Золото и серебро

Золото и серебро устанавливаются во всех проявлениях свинца и цинка, где они присутствуют в количестве от следов до 8,4 и 22,9 г/т (соответственно).

Наиболее перспективно Тейнунгейзаямское рудопроявление (II-2-3). Оно представлено тремя баритовыми жилами мощностью 0,05-0,4 м со свинцом и цинком. В двух бороздовых пробах содержится золота от следов до 8,4 г/т, серебра - от следов до 22,9 г/т.

На территории листа шлиховым опробованием выявлено несколько ореолов рассеяния золота.

По правому притоку руч. Ильинайзаяма (ореол I-3-I) во всех шлиховых пробах содержатся единичные знаки, а у северной рамки листа - знаки золота (до 20-25 зерен). В источках ручья, за пределами изученной площади, в 5-6 км севернее, в аллювиальных усташновлены весовые содержания золота (до 1 г/т), в одной пробе обнаружен самородок весом 7,3 г [Г7], горными выработками вскрыт ряд зон окварцевания с содержанием золота до 2,6 г/т и кварцевая жила с содержанием золота 1 г/т, серебра 910,9 г/т [28].

Ореолы, охватывающие бассейн верхнего течения Тейнунгейзаяма (III-2-2), верхнее течение Ильки и руч. Кривой Ильки (III-3-8), верхнее течение Илькуки (IV-1-2), характеризуются наличием единичных золотин в шлиховых пробах. Отчетливо устанавливается их приуроченность к проявлениям свинца и цинка и зонам гидротермально измененных пород (см.табл.8).

Шлиховые ореолы, включающие бассейны ручьев Аичкинайзаяма и Лгунакангу (III-4-3), нижнее течение Тейнунгейзаяма (IV-3-2) и среднее течение руч. Пр. Яхинмузаяма (IV-4-1), содержат пробы с единичными, редко - знаками (до 20-25 зерен) золота.

Кроме охарактеризованных ореолов рассеяния, золото зафиксировано в виде единичных знаков в ряде водотоков, размывающих главным образом площади развития нижнечетвертичных озерных отложений.

Золото во всех шлиховых пробах мелкое (до 1 мм), часто пылевидное, окатанное.

Платина

Платина в количестве единичных знаков установлена в аллювии среднего течения Ильки. Зерна мелкие (1-2 мм) хорошо окатанные. Коренные источники ее не выявлены.

НЕМЕТАЛЛИЧЕСКИЕ ИСКОПАЕМЫЕ

Барит

Выявленные на территории листа проявления барита относятся к гидротермальным жильным образованиям. Среди них различаются собственно баритовые (мономинеральные) и кварцево-баритовые жилы. Мощность баритовых и баритоносных жил колеблется от 0,05 до 0,4 м, протяженность до 70 м. Барит в жилах обычно крупнокристаллический белый или розоватый.

Результаты химического анализа баритовой жильи, выявленной на левобережье руч. Утыханява среди туфов говенской свиты [З1], приведены в табл.9 (в %).

Таблица 9

BaSO ₄	BaO	SiO ₂	CaO	MgO	R ₂ O ₃	п.п.п.
82,6	54,26	11,25	2	0,17	2,56	I,12

СТРОИТЕЛЬНЫЕ МАТЕРИАЛЫ

В строительных целях могут быть использованы песок, гравий, галечник и глина. Потенциальными месторождениями строительного камня являются эфузивы кордовской свиты и гранитоиды, которые могут быть использованы в качестве бутового камня, заполнителя бетона.

Пляжевые пески, тонкозернистые прекрасно сортированные, прослеживаются почти вдоль всего берега Олюторского залива полу-

сой шириной 20-150 м и мощностью 3-5 м. Галечниками сложена морская терраса высотой 10-50 м вдоль побережья залива, речные террасы Пахачи, Имки, Тейнунгейвайма, Имцуки, Пылговайма. Пахачинским рыбокомбинатом на морской косе у Пахачинского лимана добываются галечники и пляжевые пески в качестве наполнителей бетона.

Глиной выполнена Пылговаймская впадина. Мощность пластов глин варьирует в пределах 8-25 м, площадь их распространения составляет 100-130 км². Ориентировочно запасы глин оцениваются в 1-1,5 млрд.т. Глины вязкие кирпичные и могут быть использованы для производства кирпича, однако специальные лабораторные исследования не проводились.

ПОДЗЕМНЫЕ ВОДЫ

Гидрогеологические условия территории определяются наличием многолетней мерзлоты. По данным бурения в центральной части Корякского нагорья [26], мощность мерзлотного слоя достигает 200 м, снижаясь в долинах до 100 м и менее; минимальная температура -2 - 3°. Зона сплошного распространения многолетнемерзлых пород устанавливается для гор Хаккана и Пылговаймской впадины. Вдоль морского побережья наблюдается таликовая зона шириной 10-15 км. Ее наличие подтверждается бурением на Олоторском месторождении ртути [10], расположенным в 20 км западнее южной рамки листа. Несомненно присутствие таликовых зон и желобов по долинам водотоков, где их ширина ограничивается поймами.

На основании геоструктурного принципа на территории листа выделяются бассейны и потоки поровых и порово-пластовых грунтовых вод, субархеанские бассейны и бассейны наложенных вулканических полей.

Бассейны и потоки поровых и порово-пластовых грунтовых вод объединяют рыхлые четвертичные образования. В рассматриваемых бассейнах выделяются водоносные горизонты деятельного слоя, сквозных таликов и таликовых желобов, прибрежной таликовой зоны.

Водоносный горизонт деятельного слоя развит повсеместно.

Мощность его непостоянна и зависит от экспозиции склона, состава отложений и обычно не превышает 3 м. В пределах Пылговаймской впадины она равна 30-40 см. Водообильность горизонта изменчива, в общем слабая, действие сезонное (с июня по декабрь), минерализация слабая (пробы 4, 6, табл.10). Воды гидрокарбонатно-сульфатно-кальциево-натриевые. Питание горизонта происходит за счет атмосферных осадков, разгрузка - в таликовые зоны и желоба, в поверхностные водотоки. В Пылговаймской впадине разгрузка вод горизонта осуществляется в основном за счет поверхностного испарения, интенсивность которого определяется климатическими особенностями. Во впадине широко развиты подзериные талики, однако сведений об их мощности, режиме не имеется.

Водоносный горизонт сквозных таликов и таликовых желобов объединяет воды аллювиальных отложений водотоков, мощность аллювия которых превышает глубину сезонного промерзания. Он приурочен к пойменным частям долин и имеет мощность 10-15 м. В пределах Пылговаймской впадины таликовые желоба по долинам водотоков или отсутствуют совсем, или их мощность измеряется в пределах 0,5-4 м. Водообильность хорошая, минерализация слабая (пробы I, 4). Воды бесцветны, без вкуса и запаха, по степени жесткости относятся к мягким и очень мягким (по О.А.Алекину). Питание горизонта осуществляется за счет вод деятельного слоя и частично атмосферных осадков. Возможно питание и за счет подмерзлотных вод по таликам на участках низких гипсометрических отметок аллювиальных отложений. Разгрузка горизонта происходит в поверхностные водотоки и подмерзлотные водоносные горизонты.

Водоносный горизонт прибрежной таликовой зоны приурочен к морским верхнечетвертичным отложениям. Мощность горизонта 10-60 м, водообильность значительная. Наличие водоупоров - пластов глини обусловило появление источников с дебитом 5-6 л/с. Минерализация воды достигает 215,6 мг/л (проба 3, табл.10), вода без запаха и вкуса, бесцветна, умеренно-жесткая гидрокарбонатно-сульфатно-магниево-кальциево-натриевая. Источник у оз. Намтгитги использовался для удовлетворения хозяйственных и производственных нужд функционировавшего до начала пятидесятых годов рыбозавода. Питание горизонта осуществляется за счет деятельного слоя, атмосферных осадков и поверхностных водотоков, разгрузка вод происходит в подмерзлотные водоносные горизонты субархеанских бассейнов.

Таблица 10

Номер пред- при- од	Сумма осадков мм/л	К а т и о н				Са**				Мg**				Fe***			
		К ⁺ + На ⁺	НН ⁻⁴	Мг ²⁺	ЭКВ.	К ⁺ + На ⁺	НН ⁻⁴	Мг ²⁺	ЭКВ.	К ⁺ + На ⁺	НН ⁻⁴	Мг ²⁺	ЭКВ.	К ⁺ + На ⁺	НН ⁻⁴	Мг ²⁺	ЭКВ.
1	2	3	4	5	6	7	8	9	10	II	12	13	I4	I5	I6	I7	
1	216,00	216,00	0,74	19,00	3,00	0,20	6,00	46,70	2,33	62,00	5,90	0,49	13,00	-	-	-	
2	199,00	199,00	1,72	53,00	-	-	-	18,50	0,92	28,00	7,80	0,64	19,00	-	-	-	
3	251,00	32,00	1,29	30,00	-	-	-	22,10	1,10	25,00	23,30	1,92	45,00	-	-	-	
4	98,00	24,50	0,98	56,00	-	-	-	8,40	0,42	24,00	4,40	0,36	20,00	-	-	-	
5	509,00	49,00	1,96	24,00	0,40	0,02	-	94,39	4,71	58,00	17,02	1,40	17,00	0,5	0,03	-	
6	134,00	15,50	0,62	36,00	0,90	0,05	3,00	16,23	0,81	46,00	3,16	0,25	15,00	сле- дущий	-	-	

Продолжение табл. 10

Анионы	СО ²⁻				HCO ⁻³				Част- кость, Мг/экв				РН	Окис- льность, Мг О ₂ /л	SiO ₂ Мг/л	Мине- рализация, Мг/л
	Cl ⁻	SO ₄ ²⁻	% экв.	Мг ²⁺	Мг ²⁺	ЭКВ.	% экв.	Мг ²⁺	Мг ²⁺	ЭКВ.	% экв.	Мг ²⁺				
18	19	20	2I	22	23	24	25	26	27	28	29	30	3I			
3,20	0,09	3,00	123,00	2,57	72,00	55,00	0,90	25,00	2,82	6,5	2,2	12,8	227,8			
15,00	0,42	13,00	30,00	0,62	19,00	136,50	2,24	68,00	1,56	6,7	1,9	15,4	182,5			
5,00	0,14	3,00	16,00	0,33	8,00	234,00	3,84	89,00	3,02	7,5	1,6	12,0	215,6			
35,50	1,00	57,00	5,00	0,10	6,00	40,50	0,66	37,00	0,78	6,5	4,6	12,0	97,6			
12,77	0,36	4,00	284,76	5,93	73,00	III,02	1,82	22,00	6,II	7,5	1,92	17,7	5I4,34			
9,14,54	0,41	23,00	23,00	23,00	28,00	5I,85	0,85	49,00	I,07	6,4	30,72	17,7	92,55			

Формула солевого состава

Номера проб:	1 - M _{0,2} HCO ₃ 25 Cl ₃	2 - M _{0,2} (K+Na)19 Mg13 NH ₄ 6	HCO ₃ 68 SO ₄ 19 Cl13
3 - M _{0,2} Mg15 (K+Na)30 Ca25	4 - M _{0,1} (K+Na)56 Ca24 Mg20	5 - M _{0,5} Ca58 (K+Na)24 Mg17	HCO ₃ 22 Cl4
6 - M _{0,1} Ca46 (K+Na)36 Mg15 NH ₄ 3		6 - M _{0,1} Ca46 (K+Na)36 Mg15 NH ₄ 3	HCO ₃ 22 Cl3

Субартезианские бассейны

Субартезианские бассейны объединяют участки развития верхнемеловых, палеогеновых и неогеновых образований. Обводнение их связано с регионально развитой трещиноватостью пород, частично - с зонами тектонических нарушений и может быть отнесено к трещинно-пластовому типу. Питание водоносных горизонтов происходит за счет вод деятельного слоя, таликовых зон и желобов, разгрузка - в таликовые зоны, поверхностные водотоки и непосредственно в море. Разнообразие литологического состава пород, наличие проницаемых и непроницаемых пластов, сложность тектонических условий предопределяют наличие ряда водоносных горизонтов и местных артезианских бассейнов. Существование последних подтверждается бурными работами на Олюторском ртутном месторождении, где в отложениях ильинской серии были вскрыты напорные слабо минерализованные воды с дебитом до 2 л/с и напором около 80 м на кровле водоносного горизонта.

На площади листа в отложениях ильинской серии и говенской свиты установлено пять минеральных источников с дебитом до 0,5 л/с. Отмечена зависимость дебита некоторых из них от количества атмосферных осадков. По химическому типу воды (просы 2, 5, табл.10) гидрокарбонатно-сульфатные, сульфатно-гидрокарбонатные. В бассейне руч. Хайнамита отмечено несколько неминерализованных источников с дебитом до 0,5 л/с. Вода прозрачная, без запаха, цвета, вкуса. Вышеизложенные факты свидетельствуют о небольшой водообильности артезианских бассейнов. Спектральным анализом сухих остатков вод устанавливаются следы Li, Al, Ti, Mn, Ni, Sr, Cu, Zn.

Бассейны наложенных вулканогенных полей объединяют гидрогеологическую формацию верхнемиоценовых - плиоценовых эфузивов корфовской свиты. Последние не подвержены ни складчатым, ни разрывным дислокациям. Отсутствие трещиноватых зон, водонепроницаемость пород предопределили очень слабую, преимущественно поверхностную обводненность формации. Питание ее происходит за счет вод деятельного слоя и атмосферных осадков.

В целом изученная территория не испытывает недостатка в воде, потребности в которой могут быть обеспечены поверхностными водами. Подземные воды с точки зрения их химизма и динамики должны изучаться с целью выявления полезных ископаемых.

ОЦЕНКА ПЕРСПЕКТИВ РАЙОНА

Рассматриваемая территория в геологическом отношении изучена слабо - большая ее часть покрыта геологической съемкой м-ба I:200 000 и только в юго-западной части проведены поисковые работы м-ба I:25 000. В экономическом отношении положение района сравнительно благоприятное - южная его часть омывается водами Берингова моря, что значительно облегчает его промышленное освоение.

Из полезных ископаемых, выявленных на территории листа, особое внимание заслуживает нефть. Присутствие нефтяных битумопроявлений в палеоген-неогеновых отложениях, расположение района на непосредственном северо-восточном продолжении нефтеносных структур Восточной Камчатки свидетельствуют о возможной перспективности территории на нефть и газ. С этой точки зрения наиболее благоприятны Тылговамский и Пахачинский синклиниории (южные склоны Пылгинских гор), характеризующиеся спокойной тектонической обстановкой, наличием в разрезе ильинской серии и пахачинской свиты мощных пачек песчаников и туфов, могущих служить коллекторами нефти и газа (рис.6).

Крутое залегание пластов бурого угля ($30-60^{\circ}$), их линзовидный характер предопределяют невозможность добывчи угля открытым способом и, следовательно, исключают использование угля для местных нужд.

Выявленные довольно многочисленные проявления ртути, меди, свинца, цинка, золота, по имеющимся данным, из-за малых параметров рудных тел и низких содержаний полезных компонентов в них не имеют практического значения. Однако присутствие коренных проявлений ртути и шлиховые ореолы рассеянния киновари позволяют в целом положительно оценивать регион в отношении возможного обнаружения новых рудных тел. Определенный интерес представляют и рудопроявления меди (несмотря на их незначительные размеры) в связи с интрузиями кислого состава, свидетельствующие о возможности обнаружения на рассматриваемой территории проявлений медно-порфирового оруденения. Потребности в строительных материалах (бутовом камне, глине, песке, гравии) могут быть удовлетворены за счет местных ресурсов.

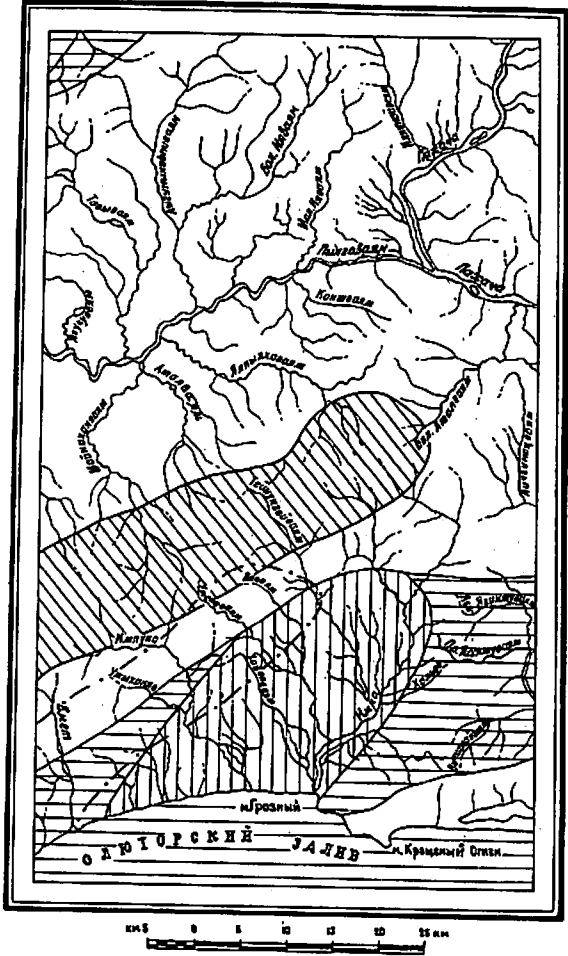


Рис.6. Оценочно-перспективная карта

1 - площади, перспективные на нефть и газ; 2 - участки, перспективные на нефть и газ, рекомендуемые для постановки сейсморазведочных работ; 3 - площади, перспективные на золото-полиметаллическое и медно-порфировое оруднение; 4 - площади, перспективные на ртутное оруднение

ЛИТЕРАТУРА

Опубликованная

1. БЕЛОВА М.Б., ВАСИЛЬЕВ В.Г. и др. Геологическое строение и перспективы нефтегазоносности Камчатки. Гостоптехиздат, 1961.
2. ВЕРЕЩАГИН В.Н., НЕВСКИЙ Г.К. Перспективы нефтегазоносности Корякско-Анадырского района Охотской нефтегазоносной области. Тр. ВНИИ-1. Магадан, 1959, 37 с.
3. ЕГИАЗАРОВ Б.Х., КРИШТОФОВИЧ Л.В., ПИЧУТИНА Г.К. Палеогеновые и неогеновые отложения восточной части Олюторского прогиба. Геология Корякского нагорья. М., Госгортехиздат, 1963, с.109-121.
4. ЕГИАЗАРОВ Б.Х. Кайнозойские отложения. Геология и полезные ископаемые Корякского нагорья. НИИГА, т.148, 1965.
5. КЭЙ М. Геосинклинали Северной Америки. М., ИЛ, 1955.
6. ПИЧУТИНА Г.К., ЕРМАКОВ Б.В., БАМЕНОВА О.К. Новые данные по стратиграфии нижней части Корякского нагорья. Стратиграфия и литология меловых, палеогеновых и неогеновых отложений Корякско-Анадырской области. Ленинград (НИИГА), 1974, с.48-52.
7. СЕРОВА М.Я. Новые данные о возрасте вулканогенно-осадочных толщ юго-западной части Корякского нагорья (п-ов Говена). "Докл.АН СССР", т.185, № 2, 1969.
8. ТАРАСЕНКО Т.В., МЕЛЬНИКОВА С.А., СЕРОВА М.Я. Расчленение и обоснование возраста верхнемеловых и нижнепалеогеновых отложений хребта Майки Камчына (Корякское нагорье). "Изв. АН СССР. Сер. геол.", № II, 1970.
9. ФОТИАДИ Э.Э., МОИСЕЕНКО Ф.С. Основные черты тектонической структуры Сибири и Дальнего Востока в свете геологических и геофизических данных. "Геология и геофизика", № 12, 1964.

Фондовая^{x)}

10. АБДРАХИМОВ З.А., МЕЛЬНИКОВА С.А. Геологическая карта СССР м-ба 1:200 000, серия Корякская, лист Р-58-ХХХI (объяснительная записка), 1966, № 1567.

^{x)} Работы находятся в фондах Камчатского территориального геологического управления.

- II. БАСИЛДЗЕ Г.С., КОМАРОВ Г.И., ЛИПАТОВ В.Н. Отчет о работе Пылгинской геологопоисковой экспедиции (м-б I:100 000) за 1954 г. 1955, № 1432.
12. БЕЛИЕВ И.В. и др. Отчет о работе Олюторской аэромагнитной партии за 1963 г. 1964, № II95.
13. ГОЛЯКОВ В.И. и др. Геологическое строение и полезные ископаемые южной части листа Р-58-ХХIII. Отчет о работе Валовамской ГСП (м-б I:200 000) за 1965 г. 1966, № 02022.
14. ДЕКИН Г.П. и др. Отчет о работе Каменской гравиметрической партии за 1964 г. 1965, № 01969.
15. Дьяков Б.Ф. Геологические исследования на побережье Олюторского и Корфовского заливов в 1939 г. 1940, № 67.
16. ЕГИАЗАРОВ Б.Х., ЛИ В.П. К стратиграфии и тектонике района правобережья низовьев р.Пахачи. Информационный отчет отряда № 3 партии Т-300в по теме "Тектоника и магматизм южной части Корякского нагорья (Олюторский прогиб и его обрамление)". 1964, № 1625.
17. ЗЛОТИК-ХОТИКЕВИЧ А.Г. и др. Отчет о работе Воччинской геологосъемочной партии за 1961 г. 1962, № 1396.
18. КОЛЫДА А.А., РУДАШЕВСКИЙ Л.С., СИНДЕЕВ А.С. Промежуточный отчет о работе Импукской геологосъемочной партии (м-б I:200000) за 1961 г. 1962, № II20.
19. КОЛЫДА А.А., РУДАШЕВСКИЙ Л.С. Промежуточный отчет о работе Импукской геологосъемочной партии (м-б I:200 000) за 1962г. 1963, № III15.
20. КОЛЫДА А.А. Геологическое строение территории листа Р-59-ХХV, ХХXI. Сводный отчет о результатах геологических исследований Импукской геологосъемочной партии (м-б I:200 000) в 1961-1964 гг. 1965, № 01693.
21. КОЛЫДА А.А. Геологическое строение гор Хахинан. Отчет о стратиграфических работах партии по подготовке к изданию листа Р-59-ХХV, ХХXI Государственной геологической карты СССР м-ба I:200 000 за 1973 г. 1975, № 3714.
22. КРИШТОФОВИЧ Л.В. Предварительное определение третичной фауны. Отчет по теме № 237 "Геология и полезные ископаемые восточной части Корякского нагорья", 1962.
23. МАЙКОВ Л.А. и др. Отчет о работе Северо-Корякской аэромагнитной партии за 1959 г. 1960, № 01534.
24. МЕЛЬНИКОВА С.А., ОГОРОДОВ В.А. Стратиграфия меловых и палеогеновых отложений хребта Ивтыган и юго-западной части гор Хахинан. Промежуточный отчет о результатах работ стратиграфического отряда по подтеме "Геологическое строение северной части Олюторского прогиба" темы "Тектоника и металлогения северной части Корякско-Камчатской складчатой области" за 1964 г. 1966, № 1699.
25. МОРОЗ И.Ф., МОРОЗ Т.Ф. Отчет о работе Пахачинской геологосъемочной партии (м-б I:500 000) за 1958 г. 1959, № 0864.
26. МОТОРИН В.В. Отчет о работе Горной гидрогеологической партии (м-б I:200 000) за 1959 г. 1960, № 962.
27. ПОЗДЕЕВ А.И. Геологическое строение и полезные ископаемые юго-восточной части листа Р-58-ХХVII. Отчет о работе Уйивамской партии (м-б I:200 000) за 1965 г. 1966, № 1984.
28. РУФАНОВ М.Н. Отчет о работе Второго Белогорского поисково-разведочного отряда за 1963 г. 1964, № 01202.
29. ТАРАСЕНКО Т.В., МЕЛЬНИКОВА С.А. Стратиграфия меловых и палеогеновых отложений хребта Майни Каакына (Хаккин). Промежуточный отчет по подтеме "Геологическое строение северной части Олюторского прогиба" темы "Тектоника и металлогения северной части Корякско-Камчатской складчатой области" за 1963 г. 1965, № 1587.
30. ТЕРЕШКОВ В.Г., СЕМЕНОВ Я.А. Геологическое строение и перспективы проявления серебра междууречья Уннейвайям - Чаваяям. Отчет Утвялямской ГПП (м-б I:50 000) за 1964 г. 1965, № 01720.
31. УСТИНОВ Н.В. Геологическая карта СССР м-ба I:200 000, серия Корякская, лист Р-59-ХХVI (объяснительная записка). 1965, № 01927.
32. ЧЕРЕДНИЧЕНКО В.М., КОЛТОВСКОЙ Е.М. Отчет о работе Еметской детальной геологосъемочной партии (м-б I:25 000) за 1959 г. 1960, № 1030.
33. ЯРМОЛИК В.А. и др. Геологические исследования в Олюторском районе Камчатской области в 1952 г. Отчет объединенной группы геологосъемочных партий № 20, 21 и 22 экспедиции № 3 ТГУ. 1953, № 3.

Приложение

**Список
проявлений полезных ископаемых, показанных на листе
P-59-ХХI карты полезных ископаемых м-ба I:200 000**

Индекс клетки на карте	№ на карте	Вид полезного иско- паемого и название (местонахождение) проявления	Ссылка на литературу (номера по списку ли- тературы)	Примечание
I	2	3	4	5
		Горючие ископаемые Бурый уголь		
III-4	I	руч. Бол. Атальвайм	I8	В коренном залегании
У-3	I	мис. Грозный	I8, 24	То же
У-4	3	г. Янканьи	I8, 24	" "
У-4	4	руч. Вичигнайвайм	I8, 24	" "
У-4	5	руч. Белый	I8	" "
		Металлические ископаемые Железо		
III-I	I	р. Майнханвайм	I7, I9	" "
IV-I	3	руч. Утыкасигманвайм	I7, I9	" "
IV-2	2	руч. Утепавайм	I7, I9	В деловии
		Медь		
III-2	3	р. Тейнунгейвайм	I7, I9	В коренном залегании
III-3	6	р. Яышлхавайм	I7, I9	То же
		Свинец и цинк		
III-1	2	р. Майнханвайм	I7, I9	" "
III-2	3	р. Тейнунгейвайм	I7, I9	" "
III-3	4	р. Яышлхавайм	I7, I9	В деловии
III-3	5	руч. Атальвайм	I7, I9	В коренном залегании
III-3	6	р. Яышлхавайм	I7, I9	То же
III-3	7	руч. Кривая Имка	I7, I9	В деловии

I	2	3	4	5
III-3	9	руч. Кривая Имка	I7, I9	В деловии
III-3	I0	То же	I7, I9	То же
III-4	2	руч. Бол. Атальвайм	I7, I9	В коренном залегании
III-4	4	руч. Ожидание	I8, I9	То же
IV-I	4	руч. Касигманвайм	I7, I9	" "
		Ртуть		
III-2	I	р. Тейнунгейвайм	I9	Шлиховой ореол
III-3	I	р. Яышлхавайм и руч. Атальвайм	I9	То же
III-3	2	р. Яышлхавайм	I7, I9	В коренном залегании
III-3	3	руч. Бол. Атальвайм	I7, I9	То же
III-3	8	р. Имка и руч. Кривая Имка	I9	Шлиховой ореол
IV-I	5	р. Имет и руч. Утиханив	I9, 31	То же
IV-2	I	руч. Утепавайм и Утепавайм	I9	" "
IV-2	3	р. Имбука	I9	" "
IV-2	5	руч. Утепавайм	I7, I9	В аллювии
IV-4	2	руч. Вичигнайвайм	I9	Шлиховой ореол
У-I	I	руч. Нетахавкинвайм	I7, I9	В коренном залегании
		Золото		
I-3	I	руч. Илшигайвайм	I9	Шлиховой ореол
III-2	2	р. Тейнунгейвайм	I9	То же
III-2	3	То же	I7, I9	В коренном залегании
III-3	8	р. Имка	I9	Шлиховой ореол
III-4	3	руч. Йгунаканяу и Акчигайвайм	I9	То же
IV-I	2	р. Имбука	I9	" "
IV-3	2	реки Тейнунгейвайм и Имка	I9	" "
IV-4	I	руч. Пр. Яхинмувайм	I9	" "

I	2	3.	4	5
		Серебро		
III-2	3	р. Тейнунгейвайм	I7, I9	В коренном залегании
		Неметаллические ископаемые		
		Барит		
III-2	3	р. Тейнунгейвайм	I7, I9	То же
IV-I	I	руч. Чинчинвайм	I9	" "
IV-2	6	г. Скалистая	I9	В деловии
		Источники минеральных вод		
IV-2	4	р. Имлука	I9	
IV-3	I	р. Тейнунгейвайм	I9	
У-I	2	руч. Нетахавкинвайм	I9	
У-4	I	руч. Вичигнайвайм	I9	
У-4	2	руч. Белый	I9	

Редактор Г. Д. Никулина
 Технический редактор Н. В. Павловская
 Корректор Р. Я. Синева

Сдано в печать 31/XI-1980 г.
 Тираж 149. Формат 60x90/16 Уч.-изд. л. 6,3 Подписано к печати 24/XI-1980г.
 Заказ С103.

Ленинградская картфабрика
 объединения "Аэрогеология"